

Universidade Federal de Minas Gerais
Instituto de Ciências Exatas
Departamento de Estatística

Paula de Campos Oliveira

FUNÇÃO ESTOCÁSTICA DE TEMPO DE PERCURSO

Belo Horizonte

2010

Paula de Campos Oliveira

Função Estocástica de Tempo de Percurso

Texto para Defesa de Tese apresentado ao Programa de Pós-Graduação do Departamento de Estatística do Instituto de Ciências Exatas da Universidade Federal de Minas Gerais, como requisito parcial para a obtenção do título de Doutor em Estatística.

Área de Concentração: Estatística e Probabilidade

Orientador: Prof. Frederico R. B. Cruz

Co-orientador: Prof. Luiz H. Duczmal

Belo Horizonte
2010



Universidade Federal de Minas Gerais
Instituto de Ciências Exatas
Departamento de Estatística
Programa de Pós-Graduação
Caixa Postal 702
31270-901 Belo Horizonte- MG – Brasil

Telefone (31) 3409-5923
Fax (31) 3409-5924
E-mail: pgest@ufmg.br
WEB: <http://www.est.ufmg.br/posgrad/>

FOLHA DE APROVAÇÃO

FUNÇÃO ESTOCÁSTICA DE TEMPO DE PERCURSO

Paula de Campos Oliveira

Tese defendida e aprovada pela banca examinadora constituída pelos Professores:

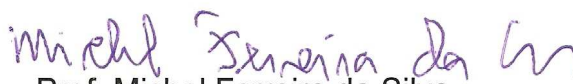

.Prof. Frederico R. B. Cruz
(Orientador/EST/UFMG);


.Prof. Luiz Henrique Duczmal
(Co-Orientador/EST/UFMG);


.Prof. Roberto da Costa Quinino
(EST/UFMG);


.Prof. Oriane Magela Neto
(DEE /UFMG);


.Prof. Anderson Ribeiro Duarte
(DEMAT/UFOP);


.Prof. Michel Ferreira da Silva
(EST/UnB).

Belo Horizonte, 27 de agosto de 2010.

AGRADECIMENTOS

Chegar neste momento não foi fácil e muito menos simples. Para chegar até aqui necessitei de apoio e auxílio de muitas pessoas, e por isso é que preciso agradecer. Segundo os dicionários da língua portuguesa, agradecer é reconhecer apoio, demonstrar o seu apreço por este e, especialmente quando as pessoas não têm obrigação alguma de lhe ajudarem, deixar claro que você sabe dar valor e considerar o que representa a pessoa ou pessoas que fazem isso por você. É muito difícil escolher as palavras certas para agradecer, mas de toda forma vou tentar demonstrar minha gratidão.

Agradeço a Deus pela oportunidade de mais uma conquista, por sempre estar presente abençoando e me guiando nesta difícil jornada.

É muito pouco somente agradecer ao meu orientador, Frederico. Serei eternamente grata por tudo o que ele é e representa para mim, afinal, além de ser um exemplo de profissionalismo e sabedoria, sempre se mostrar paciente, compreensível e disponível para me ajudar, foi meu anjo da guarda que sempre me impulsionou não me deixando desistir. Sou grata também ao Prof. Luiz H. Duczmal, por ter aceitado o desafio de co-orientar e me auxiliar com seus conhecimentos.

À Coordenadora, Glaura, e ao ex-Coordenador, Enrico, obrigada por terem me ajudado e orientado nos momentos de maiores indecisões nesses anos de curso. Gostaria de lembrar aqui e demonstrar minha gratidão, à minha companheira fiel nos estudos de Probabilidade e Inferência Avançada e amiga nos momentos difíceis, Thais, e também ao Max pela ajuda nos dando aulinhas extras de Probabilidade Avançada.

Não poderia esquecer de agradecer, aos colegas e superiores da FACISABH, pelo apoio e incentivo durante a realização deste trabalho.

Aos meus pais, obrigada por existirem, pela minha vida, pelo exemplo de dedicação e perseverança, pela compreensão, carinho, amor e pelo incentivo para concluir mais uma etapa. À minha irmã, Valéria, sou grata por sempre me incentivar a seguir em frente.

Ao meu namorado e amigo Anderson, desejo agradecer pelo apoio, companheirismo e, sobretudo, pelo amor incondicional que me reconforta e me dá forças para superar obstáculos.

Enfim, agradeço a todos que de alguma forma me apoiaram, incentivaram e ajudaram na conclusão deste trabalho.

RESUMO

Aplicamos redes de filas finitas dependentes do estado para modelar o tempo de percurso em sistemas de comunicação móvel. Embora tenham sido utilizadas com sucesso no passado na modelagem de tráfego de veículos, não conhecemos aplicação dos modelos dependentes do estado aos sistemas de comunicação móveis. A novidade dos modelos de redes de filas finitas dependentes do estado é que o fenômeno do congestionamento é explicitamente considerado, ou seja, a velocidade de percurso do usuário decai quando o número de usuários do sistema aumenta. Apresentamos uma descrição detalhada do modelo de simulação para estimar as medidas de desempenho de redes de filas dependente do estado e mostramos resultados computacionais para um vasto conjunto de instâncias. Como mostramos, os modelos dependentes do estado levam a novas e interessantes conclusões como, por exemplo, que em alguns casos uma mistura de distribuições irá descrever melhor o tempo de residência em células do que as distribuições de probabilidades clássicas comumente utilizadas.

Palavras Chaves - Simulação; performance; dependente do estado; redes de filas.

ABSTRACT

We apply finite state-dependent queueing networks to model travel time in mobile communication systems. Although they have been successfully used in the past to model vehicular traffic, state-dependent models have not been applied to mobile communication systems, to the best of our knowledge. The novelty of state-dependent stochastic mobility models is that the congestion phenomenon is explicitly considered, that is, the user speeds fall when the number of users in the system increases. We present a detailed description of the simulation model used to estimate the performance measures of the queueing networks and show computational results for a comprehensive set of instances. As we show, finite state-dependent stochastic models bring interesting new insights, for instance, that in some cases mixed bimodal distributions will better describe the cell residence time of a call than the classical probability distributions used in the past.

Keywords - Simulation; performance; state dependent; queueing networks.

LISTA DE FIGURAS

1.1	Evolução da população brasileira (IBGE, 2007)	11
1.2	Frota circulante brasileira (Sindipeças, 2009)	12
1.3	Distribuições empíricas para tráfego de veículos (Drake et al., 1967 ; Edie, 1961 ; Greenshields, 1935 ; Transportation Research Board, 2000 ; Underwood, 1961) e modelos dependentes do estado (Jain & Smith, 1997) .	13
1.4	Fluxo de veículo por trecho de 1 milha	15
1.5	Tempo de percurso via modelo $M/G/c/c$ dependente do estado	16
1.6	Quantidade e densidade de celulares (Anatel, 2009)	18
1.7	Modelos de mobilidade	19
2.1	Diagramas de mobilidade temporal (Zonoozi & Dassanayake, 1997)	22
2.2	Objetos <code>MgccSimul</code>	27
2.3	Algoritmo de simulação	29
3.1	Três células em topologia série	32
3.2	Tempo entre partidas na topologia série para $\lambda = 1.000$	35
3.3	Tempo entre partidas na topologia série para $\lambda = 4.000$	35
3.4	Tempos de serviço na topologia série para $\lambda = 1.000$	36
3.5	Tempos de serviço na topologia série para $\lambda = 4.000$	36
3.6	Três células em topologia divisão	37
3.7	Tempo entre partidas na topologia divisão para $\lambda = 1.000$	39
3.8	Tempo entre partidas na topologia divisão para $\lambda = 4.000$	39
3.9	Tempos de serviço na topologia divisão para $\lambda = 1.000$	40
3.10	Tempos de serviço na topologia divisão para $\lambda = 4.000$	40
3.11	Três células em topologia fusão	41
3.12	Tempo entre partidas na topologia fusão para $\lambda = 1.000$	42
3.13	Tempo entre partidas na topologia fusão para $\lambda = 4.000$	42
3.14	Tempos de serviço na topologia fusão para $\lambda = 1.000$	43
3.15	Tempos de serviço na topologia fusão para $\lambda = 4.000$	43
3.16	Duas células em topologia mista: topologia mista I	45

3.17	Tempo entre partidas na topologia mista I para $\lambda = 1.000$	46
3.18	Tempo entre partidas na topologia mista I para $\lambda = 4.000$	46
3.19	Tempos de serviço na topologia mista I para $\lambda = 1.000$	48
3.20	Tempos de serviço na topologia mista I para $\lambda = 4.000$	48
3.21	Mais configurações em topologia mista com duas células	49
(a)	Topologia mista II	49
(b)	Topologia mista III	49
(c)	Topologia mista IV	49
3.22	Tempo entre partidas na topologia mista II para $\lambda = 1.000$	50
3.23	Tempo entre partidas na topologia mista II para $\lambda = 4.000$	50
3.24	Tempos de serviço na topologia mista II para $\lambda = 1.000$	51
3.25	Tempos de serviço na topologia mista II para $\lambda = 4.000$	51
3.26	Tempo entre partidas na topologia mista III para $\lambda = 1.000$	54
3.27	Tempo entre partidas na topologia mista III para $\lambda = 4.000$	54
3.28	Tempos de serviço na topologia mista III para $\lambda = 1.000$	55
3.29	Tempos de serviço na topologia mista III para $\lambda = 4.000$	55
3.30	Tempo entre partidas na topologia mista IV para $\lambda = 1.000$	57
3.31	Tempo entre partidas na topologia mista IV para $\lambda = 4.000$	57
3.32	Tempos de serviço na topologia mista IV para $\lambda = 1.000$	58
3.33	Tempos de serviço na topologia mista IV para $\lambda = 4.000$	58
D.1	Comparação do número de pistas para topologia série - $\lambda = 1000$	98
D.2	Comparação do número de pistas para topologia série - $\lambda = 4000$	99
D.3	Comparação do número de pistas para topologia divisão - $\lambda = 1000$	100
D.4	Comparação do número de pistas para topologia divisão - $\lambda = 4000$	100
D.5	Comparação do número de pistas para topologia fusão - $\lambda = 1000$	101
D.6	Comparação do número de pistas para topologia fusão - $\lambda = 4000$	101
D.7	Comparação do número de pistas para topologia mista I - $\lambda = 1000$	102
D.8	Comparação do número de pistas para topologia mista I - $\lambda = 4000$	102

LISTA DE TABELAS

3.1	Descritivas da média do tempo entre partidas para a topologia série	33
3.2	Descritivas da média do tempo entre partidas para a topologia divisão . . .	38
3.3	Descritivas da média do tempo entre partidas para a topologia fusão	44
3.4	Descritivas da média do tempo entre partidas para a topologia mista I . . .	47
3.5	Descritivas da média do tempo entre partidas para a topologia mista II . .	52
3.6	Descritivas da média do tempo entre partidas para a topologia mista III . .	53
3.7	Descritivas da média do tempo entre partidas para a topologia mista IV . .	56
C.1	Valores-p para topologia série	91
C.2	Comparação com nível de significância de 1% para topologia série	91
C.3	Valores-p para topologia divisão	92
C.4	Comparação com nível de significância de 1% para topologia divisão	92
C.5	Valores-p para topologia fusão	93
C.6	Comparação com nível de significância de 1% para topologia fusão	93
C.7	Valores-p para topologia mista I	94
C.8	Comparação com nível de significância de 1% para topologia mista I	94
C.9	Valores-p para topologia mista II	95
C.10	Comparação com nível de significância de 1% para topologia mista II	95
C.11	Valores-p para topologia mista III	96
C.12	Comparação com nível de significância de 1% para topologia mista III	96
C.13	Valores-p para topologia mista IV	97
C.14	Comparação com nível de significância de 1% para topologia mista IV	97

SUMÁRIO

1	Introdução	10
1.1	Preliminares	10
1.2	Funções de tempo de percurso	11
1.3	Motivação	17
1.4	Organização do texto	20
2	Um Modelo de Mobilidade Dependente do Estado	21
2.1	Introdução	21
2.2	Parâmetros de mobilidade	21
2.3	Modelos de congestionamento	22
2.4	Modelo de simulação a eventos discretos	26
2.5	Observações finais	30
3	Experimentos Computacionais	31
3.1	Introdução	31
3.2	Topologia série	32
3.3	Topologia divisão	37
3.4	Topologia fusão	41
3.5	Topologia mista	45
4	Conclusões e Observações Finais	59
4.1	Tópicos para trabalhos futuros	60
	Referências Bibliográficas	61
	Apêndice A Códigos em C++	66
	Apêndice B Arquivo de Entrada	89
	Apêndice C Testes de Kolmogorov-Smirnov	90
C.1	Topologia Série	91
C.2	Topologia Divisão	92

C.3	Topologia Fusão	93
C.4	Topologia Mista I	94
C.5	Topologia Mista II	95
C.6	Topologia Mista III	96
C.7	Topologia Mista IV	97
Apêndice D Comparação do Número de Pistas		98
D.1	Topologia Série	98
D.2	Topologia Divisão	100
D.3	Topologia Fusão	101
D.4	Topologia Mista I	102

CAPÍTULO 1

INTRODUÇÃO

1.1 Preliminares

Com o aumento da população, por exemplo a população brasileira (Figura 1.1), é muito comum, hoje em dia, nos depararmos com longos tempos de espera em filas, sejam elas em bancos, em supermercados, na cantina da faculdade, em engarrafamentos e em muitos outros lugares. O tempo é um bem precioso e não gostamos de desperdiçá-lo esperando em filas. Às vezes, indignados, ficamos nos perguntando o porquê de existir filas e sempre culpamos alguém por isso. Na verdade, o que acontece é que, com o aumento da população, aumenta a demanda por serviços, como bancos, supermercados e, conseqüentemente, aumenta o número de veículos utilizados por esta população, como podemos observar na Figura 1.2, que nos mostra a evolução da frota circulante brasileira. Porém, na maioria das vezes, os sistemas não estão preparados para esse aumento. Assim, a demanda por serviços é maior do que a oferta de servidores, ocasionando as tão desagradáveis filas e os longos tempos de espera. Vem então a pergunta: se aumentou a demanda, por que não se aumenta também o número os servidores, para que não ocorram essas filas? Nem sempre é tão simples aumentar o número de servidores, seja pelo alto custo para alocar mais servidores ou até mesmo por impossibilidade física. Imagine um supermercado no qual existam 10 caixas (que seriam os servidores). Quando foram colocados esses 10 caixas, não havia fila. Porém hoje, com o aumento de clientes, começaram a surgir as filas, os clientes começam a ficar irritados com elas, mas não há outra opção a não ser esperar, uma vez que percebem que naquele supermercado não haveria espaço para colocar mais caixas. Um outro exemplo: quando saímos pela manhã para irmos trabalhar ou à tarde quando voltamos do trabalho, enfrentamos a *hora do rush*, e temos de enfrentar um grande engarrafamento. O que acontece é que as ruas de nossa cidade não foram projetadas para ter o fluxo de veículos que tem hoje e por isso acontecem os engarrafamentos. Então culpamos o governo por não alargar as avenidas, mas se formos analisar com frieza, não

é nada fácil alargar avenidas, pois além do inconveniente de obras, na maioria das vezes há casas em ambos os lados da avenida, precisando então que, para o alargamento, sejam desapropriadas. Isso acaba gerando um alto custo. Muitas vezes, pensamos que ao aumentar o número de caixas de um supermercado ou alargar uma avenida, seria o suficiente para não ocorrer filas, mas será que isso realmente iria resolver o problema? Para tentar responder esse tipo de pergunta, surgem novas aplicações da *teoria das filas*, em que se tenta modelar várias situações reais, com a finalidade de otimizar seu funcionamento.

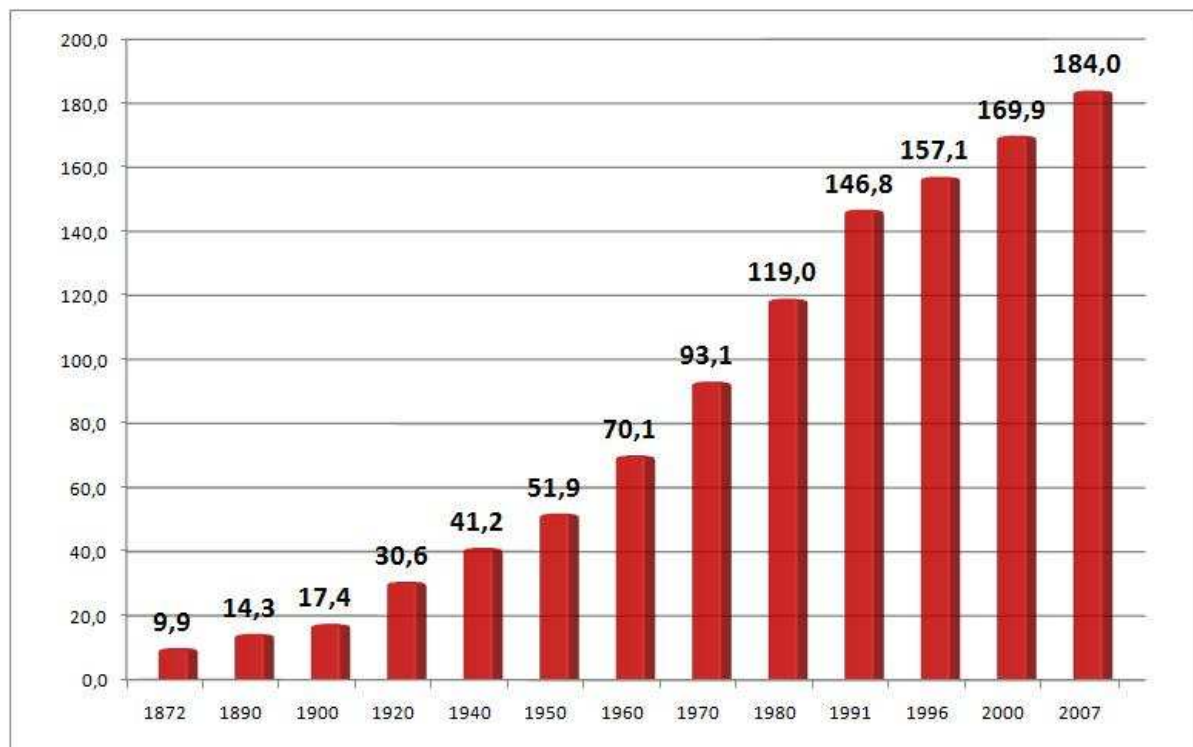


Figura 1.1: Evolução da população brasileira (IBGE, 2007)

1.2 Funções de tempo de percurso

Têm surgido na literatura diversas tentativas bem sucedidas de modelar o tempo de percurso em uma rede sujeita a congestionamento (por exemplo, veja [Helbing et al., 2005](#), e referências). Duas linhas principais de trabalho são encontradas, a dos modelos determinísticos *versus* a dos modelos estocásticos. Entretanto, os tempos de percurso são geralmente assumidos determinísticos ou aproximadamente estocásticos.

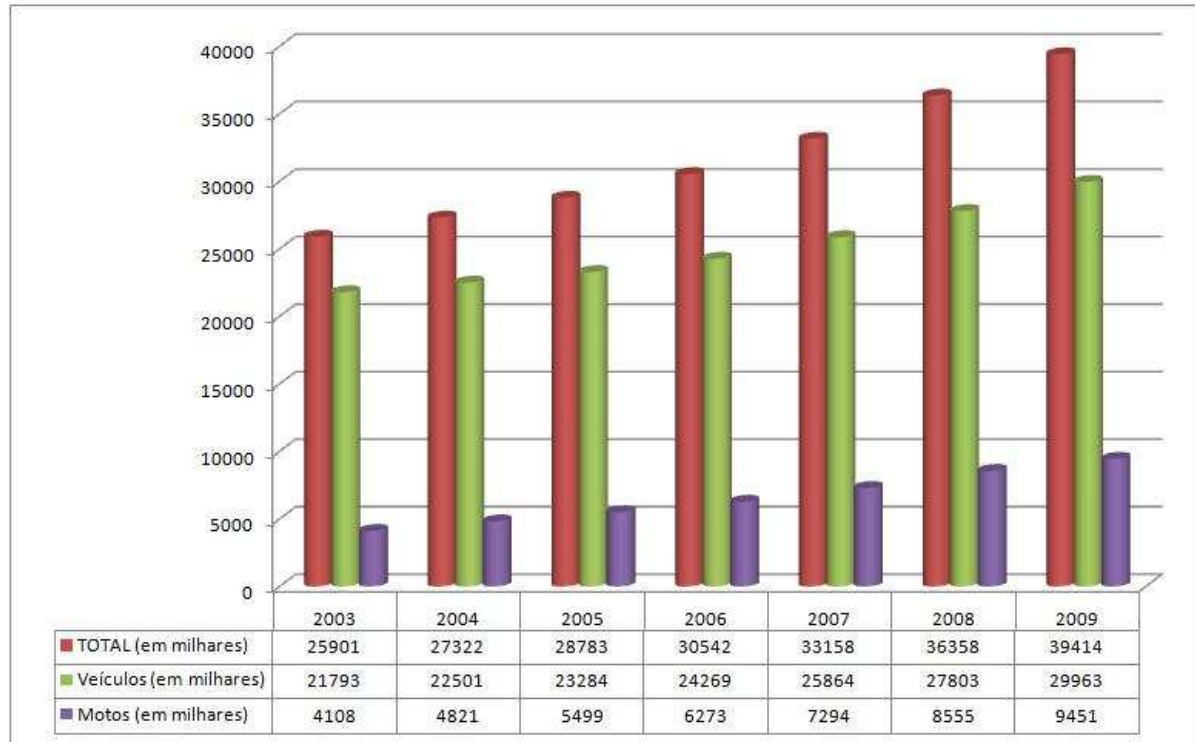


Figura 1.2: Frota circulante brasileira (Sindipeças, 2009)

Tipicamente, os custos de percurso são expressos em termos de funções determinísticas do tempo de viagem (Prashker & Bekhor, 2000), embora tais tempos sejam reconhecidamente muito variáveis entre viagens, ao longo do dia ou entre dias. Os principais modelos de tempo de percurso são construídos geralmente tomando por base fórmulas clássicas que foram construídas ao longo dos últimos 40 anos, como por exemplo, a conhecida fórmula BPR (Bureau of Public Roads, 1964) usando dados empíricos do *Highway Capacity Manual*.

Kimber & Hollis (1979) desenvolveram uma outra fórmula para tempo de percurso baseada em uma aproximação para o modelo de filas $M/G/1/\infty$ dependente do tempo. Da conhecida notação de Kendall (1953), M representa um processo de chegada markoviano, G representa uma distribuição geral do tempo de serviço, 1 representa o número de servidores e, finalmente, ∞ é a capacidade total do sistema. Uma vez que expressões para o regime transitório dos modelos $M/G/1/\infty$ são intratáveis analiticamente, eles desenvolveram uma aproximação baseada em uma técnica de transformação de coordenadas para ajustar a fórmula de regime permanente aos efeitos transitórios da fila. Em sua abordagem, eles conseguem levar em conta o tráfego existente no trecho (do inglês *link*)

da auto-estrada sob estudo, mas utilizam uma taxa de serviço fixa μ , uma fila de capacidade infinita e apenas um servidor para o tráfego (em outras palavras, utilizam-se de filas $M/G/1/\infty$).

Posteriormente Akçelik (1991) estendeu o trabalho de Kimber & Hollis (1979) com a dedução de expressões baseadas em técnicas de transformação de coordenadas, reconhecidamente mais eficazes para modelar o tempo de percurso, especialmente sob efeitos de severos congestionamentos, como aqueles observados durante os horários de *rush*, quando a procura excede largamente a capacidade (Ceylan & Bell, 2005). O desempenho do modelo de Akçelik é semelhante ao de Kimber & Hollis. Para tais funções típicas de desempenho, bons métodos para tratamento numérico são conhecidos.

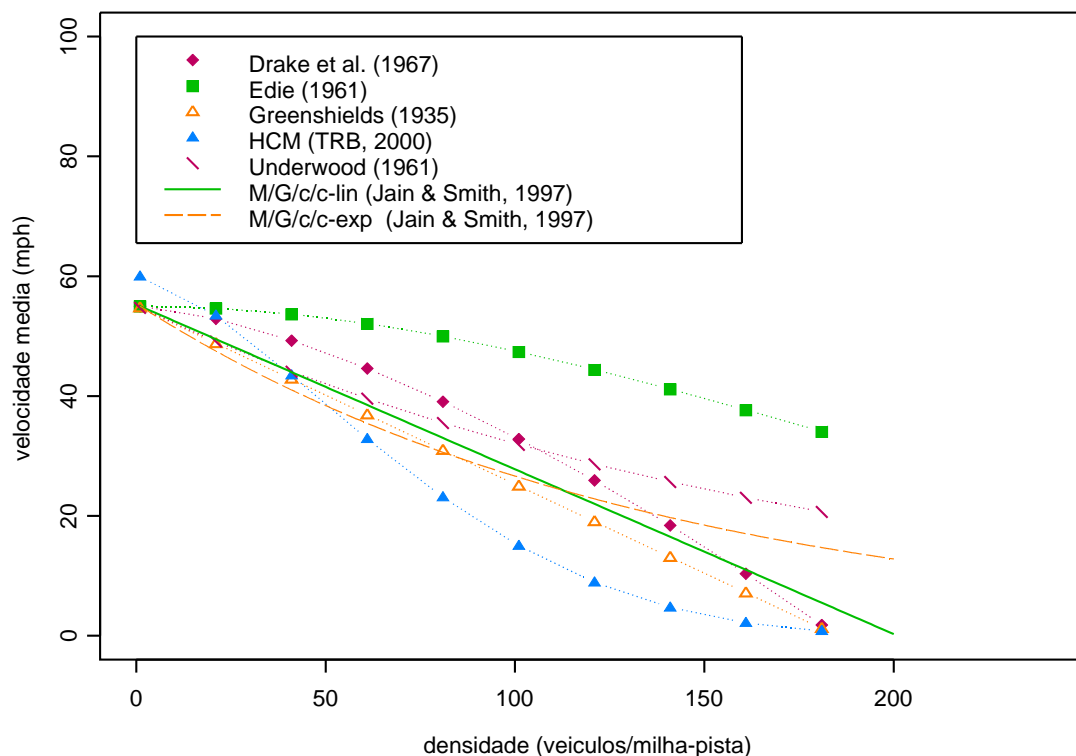


Figura 1.3: Distribuições empíricas para tráfego de veículos (Drake et al., 1967; Edie, 1961; Greenshields, 1935; Transportation Research Board, 2000; Underwood, 1961) e modelos dependentes do estado (Jain & Smith, 1997)

Pretendemos argumentar que uma abordagem estocástica é uma alternativa possível e mais aderente à realidade, quando redes de filas finitas dependentes do estado são uti-

lizadas. De fato, os modelos dependentes do estado podem lidar com taxas de serviço bastante gerais, considerando múltiplos servidores e tanto com soluções transientes quanto com soluções de regime estacionário. Esta é uma abordagem genuinamente estocástica, sem aproximações. A Figura 1.3 apresenta resultados de vários estudos empíricos para auto-estradas norte-americanas (Drake et al., 1967; Edie, 1961; Greenshields, 1935; Transportation Research Board, 2000; Underwood, 1961) confrontados com resultados obtidos por modelos dependentes do estado Jain & Smith (1997). O congestionamento pode ser percebido como uma óbvia diminuição da velocidade média quando a densidade de veículos aumenta, o que resulta nas bem conhecidas curvas de velocidade-fluxo-densidade (ver, por exemplo, o trabalho seminal de Greenshields, 1935).

Em particular, apresentamos aqui uma versão estocástica para os custos incorridos em cada trecho de uma rede (i.e., os tempos de percurso) em que o modelo provém de redes de filas $M/G/c/c$ dependentes do estado. De fato, pela relevância ao presente estudo, descreveremos em detalhes no Capítulo 2 o desenvolvimento dos modelos de filas $M/G/c/c$ dependentes do estado no contexto de interesse. As filas $M/G/c/c$ dependentes do estado possibilitam a dedução de uma expressão estocástica para uma estimação do tempo de percurso que leve em conta os importantes efeitos de congestionamento.

Os modelos de filas $M/G/c/c$ dependentes do estado foram introduzidos por Yuhaski & Smith (1989), em estudos sobre tráfego de pedestres. O artigo de Yuhaski & Smith (1989) constitui-se então a base de vários outros modelos posteriormente desenvolvidos para determinação de tempos de percurso em diferentes contextos. Em sequência, o artigo de Cheah & Smith (1994) trouxe algumas generalizações e demonstrou que as filas dependente do estado possuem a propriedade de quase-reversibilidade (i.e., o processo de saída é igual ao processo de entrada se forem incluídas as entidades que são rejeitadas). Mais recentemente, o artigo de Jain & Smith (1997) mostrou como as filas dependentes do estado poderiam ser usadas para modelar o congestionamento de tráfego de veículos. Os modelos $M/G/c/c$ de filas estado-dependentes foram apontados por van Woensel et al. (2006) como uma alternativa válida para descrever os fluxos de tráfego e as velocidades. Além disso, os modelos $M/G/c/c$ dependentes do estado têm sido utilizados com sucesso na modelagem de fluxos de veículos (Jain & Smith, 1997) e de fluxos

de pedestres (Cruz & Smith, 2007). Finalmente, Cruz, van Woensel, Smith & Lieckens (2010) mostraram recentemente que os modelos $M/G/c/c$ dependentes do estado são também bastante eficazes para modelar o tempo de percurso em trechos (*links*) simples, em comparação com expressões já bem estabelecidas, BRP e Akçelik, devido à sua capacidade de representar o congestionamento do tráfego.

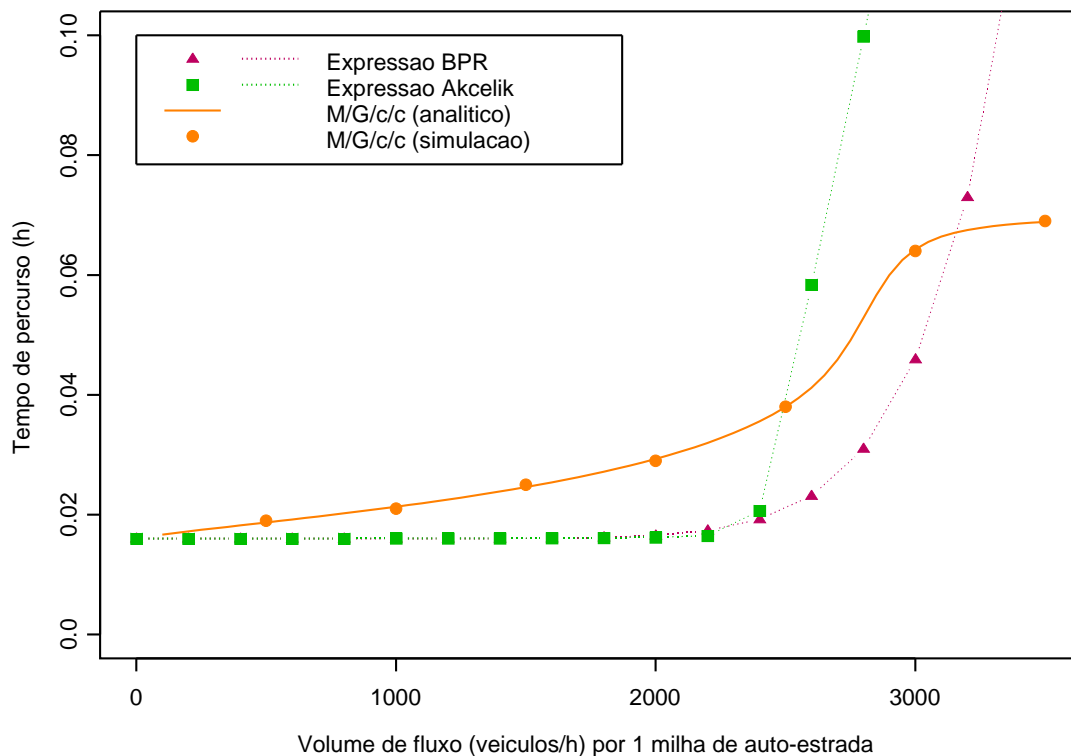


Figura 1.4: Fluxo de veículo por trecho de 1 milha

A Figura 1.4 mostra funções típicas para o tempo de percurso, BRP e Akçelik, (usadas recentemente, por exemplo, por Ghatee & Hashemi, 2009; Pursals & Garzón, 2009) em comparação com a função baseada em modelos de filas $M/G/c/c$ dependentes do estado (Jain & Smith, 1997) para um trecho de auto-estrada de 1 milha de comprimento, com velocidade máxima (velocidade de fluxo livre) de 62,5 mph (≈ 100 km/h) e capacidade de 2.400 veículos/h, de acordo com o *Highway Capacity Manual* (Transportation Research Board, 2000). Além disso, a Figura 1.5 mostra como se comporta o tempo de percurso em função da taxa de chegada de vários trechos, via modelos de filas $M/G/c/c$ dependentes do estado. Note que, sob baixo tráfego, ou seja, um tráfego menor ou igual a capacidade de 2.400 veículos/h, a abordagem por filas produz resultados

semelhantes aos de expressões clássicas e reconhecidamente precisas, tais como a BPR e a de Akçelik, conforme pode ser visto na Figura 1.4.

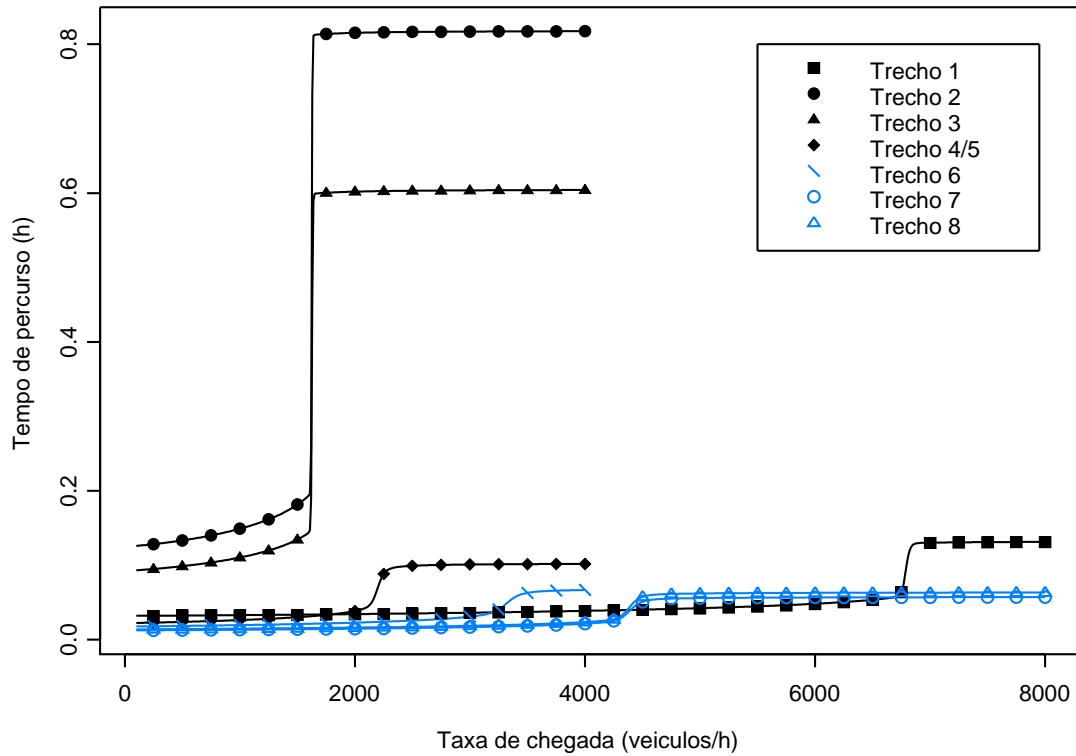


Figura 1.5: Tempo de percurso via modelo $M/G/c/c$ dependente do estado

Importante ressaltar que, pelas Figuras 1.4 e 1.5, as funções de tempo de percurso deduzidas via modelo $M/G/c/c$ não são *convexas*, mas têm uma forma de *S*. Esta característica poderá produzir ótimos locais quando for utilizada em modelos de atribuição de tráfego e, também, reduzir o tempo de simulação. Na realidade, isto quer dizer que a partir do momento que se excede a capacidade o tempo de percurso satura, sendo quase o mesmo para todos os veículos, isto ocorre em qualquer tipo de pista, como podemos verificar na Figura 1.5 que nos mostra diferentes trechos, os trechos 2, 3, 4/5 e 6 são trechos longos e estreitos, nota-se que ocorre a saturação do tempo de percurso já com uma taxa de chegada menor e dependendo do estreitamento da pista esta saturação ocorre de uma forma mais rápida. Já para os trechos 1, 7 e 8 onde os trechos são curtos e largos, a saturação também ocorrem, mas com uma taxa de chegada alta e não tão bruscamente. Para as expressões BPR e Akçelik este tempo tende a explodir, o que na prática não acontece. Consequentemente, a introdução dos modelos estocásticos $M/G/c/c$ dependentes

do estado poderão trazer importantes implicações teóricas. Para uma revisão sobre o uso de filas para modelar fluxos de tráfego e congestionamento, recomenda-se o recente artigo de [van Woensel & Vandaele \(2007\)](#). Para uma outra tentativa bem sucedida de refinar a estimativa de tempo de percurso, recomenda-se o artigo de [García-Ródenas et al. \(2006\)](#).

1.3 Motivação

O interesse em estudar o desempenho dos sistemas de telefonia celular, por meio de modelos estocásticos, aumentou significativamente recentemente, com a crescente demanda por serviços de qualidade. Como podemos ver na Figura 1.6. No Brasil a cada 100 pessoas 90 possuem um aparelho celular e todas elas desejam um serviço de qualidade. Embora os resultados ainda sejam modestos e restritos a problemas simples, a compreensão dos técnicos da área continua a aumentar (ver, por exemplo, [Alfa & Liu, 2004](#)). É um fato bem conhecido que a mobilidade dos usuários tem gerado novos desafios para os engenheiros responsáveis pela concepção, planejamento, dimensionamento e manutenção de redes de telefonia celular. Em sistemas móveis, os usuários querem se deslocar e ainda manterem-se conectados ao sistema de celulares (ver Figura 2.1, adaptada de [Zonoozi & Dassanayake \(1997\)](#)). A fim de cumprir este requisito, o sistema de telefonia celular deve manter e atualizar periodicamente informações sobre todos os usuários. Por meio de modelos matemáticos, tenta-se prever o comportamento desses usuários, a fim de reduzir a quantidade de informações coletadas e armazenadas. Na verdade, foi reconhecido há cerca de uma década atrás que os modelos de mobilidade desempenham um dos papéis mais importantes na descrição e concepção dos sistemas de telefonia celular ([Zonoozi & Dassanayake, 1997](#)). Entre os parâmetros de interesse em um sistema de telefonia celular, diretamente influenciada pela mobilidade, estão o *handover* (transferência de chamadas entre centrais), o tráfego disponibilizado, o dimensionamento de redes de sinalização, a atualização da localização dos usuários, registro, *paging* (procura pelo usuário na rede) e a gestão multicamadas das redes ([Zonoozi & Dassanayake, 1997](#)).

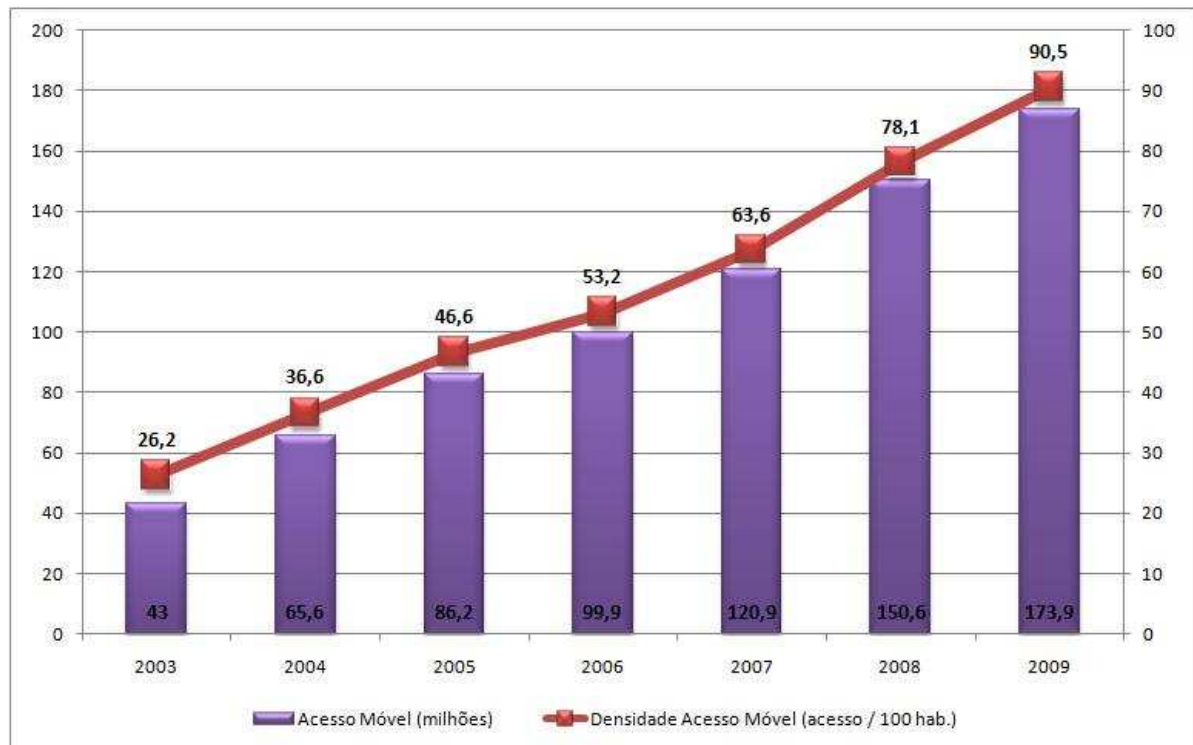


Figura 1.6: Quantidade e densidade de celulares ([Anatel, 2009](#))

Uma revisão da literatura disponível na área mostra que muitos autores têm lidado com modelos de mobilidade para as redes de comunicação móvel, tal como apresentado na Figura 1.7. Abordagens mais recentes costumam considerar modelos estocásticos para a velocidade dos usuários. Distribuições de probabilidades uniformes e não uniformes foram usadas. Modelos de velocidade exponencialmente distribuídos e com distribuição geral também têm sido propostos. No entanto, nenhuma pesquisa pode ser localizada que considere modelos estocásticos dependentes do estado para a descrição das velocidades médias como uma função do número de usuários presentes no sistema de telefonia celular. Este é o tipo de modelo que propomos no presente trabalho, que leva em consideração que o tempo de percurso tende a saturar quando o sistema está congestionado.

Muitos dos efeitos da mobilidade dos usuários sobre o desempenho do *handover* foram investigados por [Han \(2002\)](#). No entanto, as velocidades dos carros foram consideradas exponencialmente distribuídas e as velocidades dos pedestres, uniformemente distribuídas. Embora essas considerações possam ser aceitáveis como uma aproximação destinada simplesmente a tornar o modelo computacionalmente mais tratável, elas podem levar à conclusão de que tanto o tempo de permanência na célula quanto o tempo de retenção

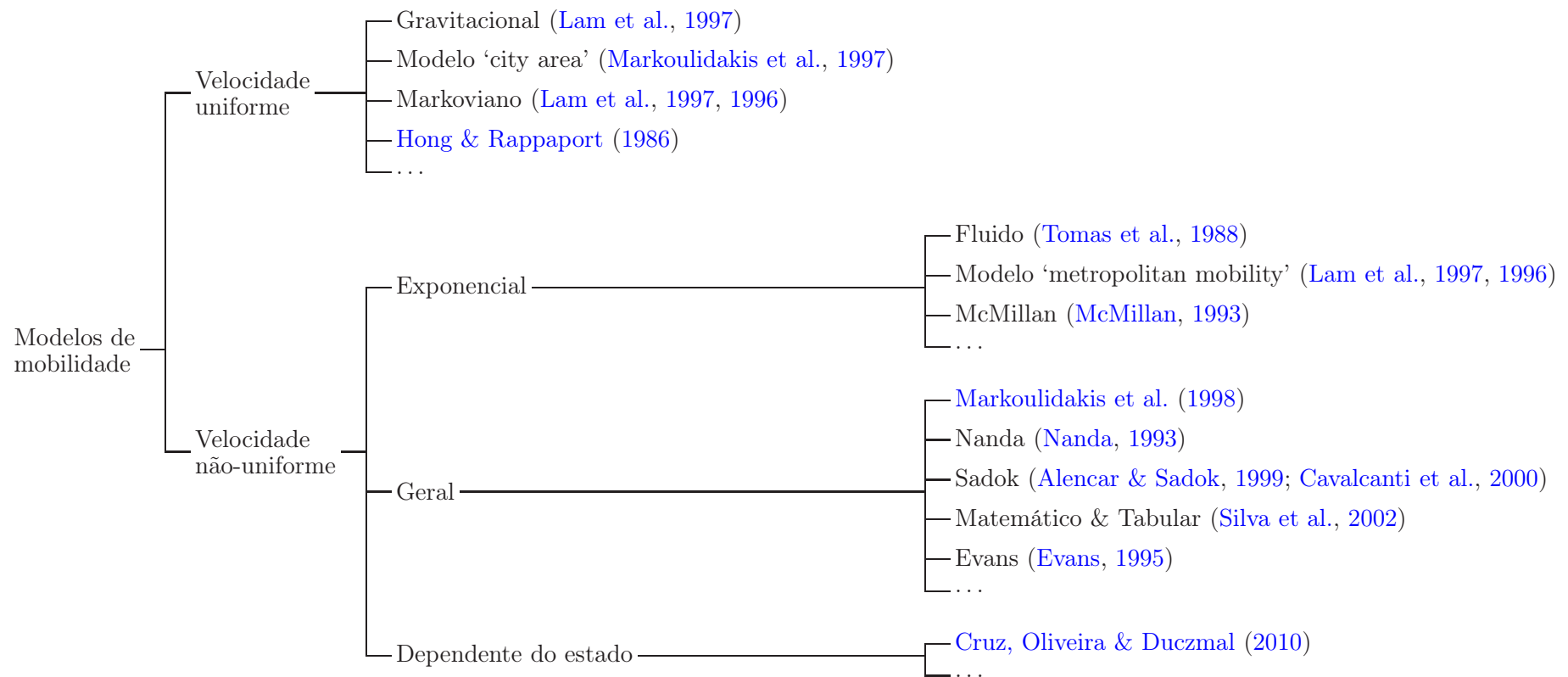


Figura 1.7: Modelos de mobilidade

do canal (tempo durante o qual uma chamada ocupa uma linha) é markoviano, o que não é verdade, de acordo com os resultados relatados por [Hegde & Sohraby \(2002\)](#). De fato, dados de simulação analisados por [Zonoozi & Dassanayake \(1997\)](#) mostram que a distribuição gama generalizada é uma melhor aproximação para a distribuição do tempo de permanência na célula e que o tempo de retenção de um canal da rede celular pode ser melhor descrito por uma distribuição exponencial negativa.

No entanto, como mostramos nas seções seguintes, não parece que uma única distribuição de probabilidade seja adequada para um modelo de rede de comunicação móvel. O tempo de residência na célula é fortemente afetado pelos efeitos do congestionamento dentro da célula. Em outras palavras, com base em hipóteses razoáveis, a velocidade média dos veículos deve ser considerada dependente do estado (ver Figura 1.5). Mostramos que às vezes é possível que uma distribuição hipoexponencial seja um modelo razoável para a variável aleatória *tempo de permanência* (ou seja, a variável aleatória segue uma distribuição de probabilidade que tem uma variabilidade menor que a de uma distribuição exponencial), em outras uma mistura de distribuições de probabilidade pode surgir, pela simples variação do nível de congestionamento do sistema sob análise. Naturalmente, os efeitos destas descobertas sobre o resultado da análise de desempenho global de um sistema de telefonia móvel não será pequeno, dada a forte ligação existente entre a mobilidade dos usuários e a qualidade do serviço nestas redes ([Manner et al., 2002](#)).

1.4 Organização do texto

Este texto está organizado da seguinte forma: o modelo de simulação dependente do estado para a mobilidade é descrito em detalhes no Capítulo 2. O Capítulo 3 apresenta os resultados experimentais obtidos para sistemas de comunicação móvel de pequena escala. O Capítulo 4 fornece as conclusões, que inclui um resumo dos principais resultados obtidos e uma discussão de algumas questões suscitadas pelo estudo de simulação realizado, questões estas ainda em aberto e sugeridas como possíveis tópicos para trabalhos futuros na área.

CAPÍTULO 2

UM MODELO DE MOBILIDADE DEPENDENTE DO ESTADO

2.1 Introdução

Nos dias de hoje, em que se vê o aumento de número de veículos e, conseqüentemente, o aumento da quantidade de congestionamentos, vê-se também a necessidade de uma modelagem que se adeque a este novo cenário. Geralmente, este cenário é modelado com o auxílio da teoria das filas. São vários os fatores que influenciam o tráfego de veículos, como por exemplo, sua quantidade e velocidade máxima, o número de pistas do trecho da via, entre outros. Quando modelamos avenidas e ruas através de redes de filas temos várias medidas de desempenho de interesse, como por exemplo o tempo de percurso (*travel time*) em determinado trecho, tempo que o usuário, a pé ou em um veículo, gasta do início ao fim de um determinado trecho. Existem várias funções que são utilizadas para modelar este tempo. Detalharemos aqui apenas a função estocástica de tempo de percurso.

2.2 Parâmetros de mobilidade

A fim de realizar uma análise de um sistema de comunicação móvel, alguns parâmetros devem ser definidos. Na Figura 2.1, vê-se um usuário trafegar através de uma rede celular. Sua trajetória é iniciada na célula 0, em que o tempo de permanência é $T_{m,0}$, com o início de uma nova chamada. O tempo de retenção do canal nesta célula é dado por $\tau_{m,0}$. Com o passar do tempo e com a movimentação do usuário através de sua rota, o sistema muda automaticamente sua ligação da célula 0 para a célula 1, o que é comumente chamado de *handoff* (ou *handover*). Com a movimentação do usuário de célula em célula através da

rede de telefonia celular, ele acabará por chegar a célula i , quando a chamada é finalizada. Um dos parâmetros mais importantes para descrever a mobilidade do usuário é a variável aleatória $T_{m,i}$, que representa o tempo que um usuário m gasta na célula i . O foco principal deste texto é descrever o desenvolvimento de um modelo que seja melhor e mais preciso para descrição da variável aleatória $T_{m,i}$.

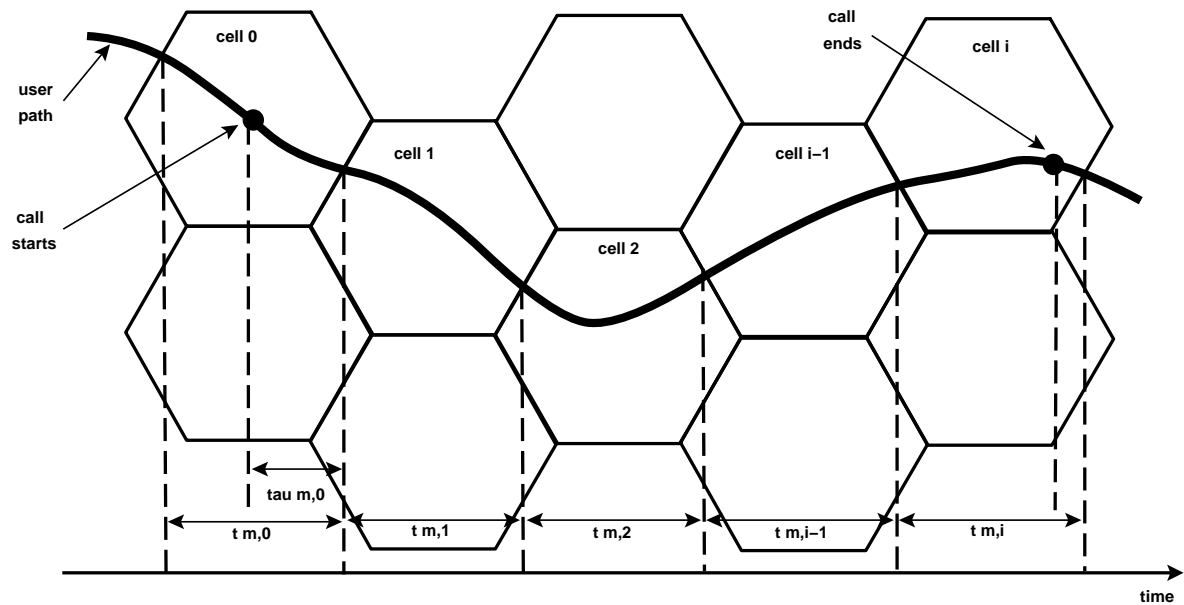


Figura 2.1: Diagramas de mobilidade temporal (Zonoozi & Dassanayake, 1997)

2.3 Modelos de congestionamento

Vamos usar redes de filas para a modelagem do tráfego. Para uma discussão, recentemente publicada sobre as conveniências e as vantagens dos modelos de redes de filas em modelagem de tráfego, recomenda-se o artigo de [van Woensel & Cruz \(2009\)](#). Um conjunto especial de filas finitas, conhecido como filas $M/G/c/c$ dependentes do estado, tem sido usado especificamente para a modelagem do congestionamento em redes de tráfego de veículos ([Jain & Smith, 1997](#)). Conforme a notação de [Kendall \(1953\)](#), M representa um processo de chegada markoviano, G representa uma distribuição geral do tempo de serviço, que aqui é dependente do estado (o tempo de serviço reduz-se com o número de usuários presentes no sistema), c representa o número de servidores em paralelo e, finalmente, c é a capacidade total do sistema *incluindo* aqueles correntemente em serviço.

A característica mais importante dos modelos $M/G/c/c$ dependentes do estado é que a sua taxa de serviço (isto é, a velocidade) diminui com o aumento no número de usuários no sistema, como mostrado na Figura 1.3 (adaptada de [Jain & Smith \(1997\)](#)), que apresenta curvas empíricas relacionadas a várias auto-estradas norte-americanas. Usando filas $M/G/c/c$ dependentes do estado, os trechos de rodovia podem ser visto como servidores em paralelo para seus ocupantes. O número máximo de ocupantes simultâneos iguala-se à capacidade do respectivo trecho, que também é igual à quantidade total de usuários permitidos no sistema. Esta capacidade é dada por

$$c = \lfloor k \times l \times w \rfloor,$$

em que l é o comprimento do trecho de rodovia, w é o número de pistas, c é a capacidade total, e $\lfloor x \rfloor$ é a função piso, isto é, o maior inteiro não superior ao argumento x . A constante k representa a densidade de tráfego, que é a densidade de veículos a partir da qual o fluxo se interrompe. Diferentes estimativas de k encontraram valores na faixa de 115-165 veículos/km-pista (≈ 185 -265 veículos/milha-pista, conforme relatado por [Jain & Smith \(1997\)](#)); neste trabalho assumimos 124 veículos/km-pista (≈ 200 veículos/milha-pista). Note-se que a discussão sobre a capacidade acima é apenas em termos do número de carros que podem caber fisicamente em um determinado trecho de rodovia, que não necessariamente correspondem à capacidade de chamadas de um sistema de telefonia celular, isto é, não corresponde ao número de chamadas que uma determinada central de telefonia móvel pode sustentar simultaneamente em um dado momento.

No modelo de congestionamento, o tráfego flui através do trecho de estrada a uma velocidade média V_n , que é uma função do número de veículos n atualmente em circulação e de sua capacidade c . Com base em dados empíricos, modelos analíticos (linear e exponencial) foram desenvolvidos por [Yuhaski & Smith \(1989\)](#), a serem descritos por meio das seguintes quantidades:

$V_n \rightarrow$ velocidade média para uma ocupação de n veículos;

$V_1 \rightarrow$ velocidade média para trânsito livre;

$V_a \rightarrow$ velocidade média para uma ocupação de a veículos/km-pista;

$V_b \rightarrow$ velocidade média para uma ocupação de b veículos/km-pista.

Os valores de a e b são pontos arbitrários utilizados para ajustar a curva exponencial. Ambos os modelos (linear e exponencial) geralmente se encaixam de forma satisfatória aos dados empíricos de tráfego e produzem resultados bastante satisfatórios, ver [Jain & Smith \(1997\)](#). Por concisão, vamos apresentar aqui apenas o modelo exponencial, que é aquele efetivamente utilizado neste trabalho:

$$V_n = V_1 \exp \left[- \left(\frac{n-1}{\beta} \right)^\gamma \right], \quad (2.1)$$

em que

$$\gamma = \ln \left[\frac{\ln(V_a/V_1)}{\ln(V_b/V_1)} \right] / \ln \left(\frac{a-1}{b-1} \right)$$

e

$$\beta = \frac{a-1}{[\ln(V_1/V_a)]^{1/\gamma}} = \frac{b-1}{[\ln(V_1/V_b)]^{1/\gamma}}.$$

Em aplicações relacionados a veículos, os valores comumente usados são de $k = 200$ veículos/milha-pista, como dito anteriormente, com $a = 20$ e $b = 140$, correspondente às densidades de veículos de 20 e 140 veículos/milha-pista, respectivamente. Olhando para as curvas apresentadas na Figura 1.3, valores razoáveis para tais pontos são $V_a = 48$ mph e $V_b = 20$ mph. A distribuição de probabilidade do número de usuários no sistema, em função do λ (taxa de chegada), é:

$$p(n) \equiv P[N = n] = \left[\frac{(\lambda \times E[T_1])^n}{n! f(n) \dots f(1)} \right] \times p(0), \quad (2.2)$$

para $n = 1, 2, \dots, c$, em que

$$p(0) \equiv P[N = 0] = 1 / \left\{ 1 + \sum_{i=1}^c \left[\frac{(\lambda \times E[T_1])^i}{i! f(i) \dots f(1)} \right] \right\}$$

é a probabilidade de o sistema estar vazio, λ é a taxa de chegada, $E[T_1]$ é a esperança do tempo de serviço para um único ocupante no sistema, e $f(n) = V_n/V_1$ é a taxa de serviço para n usuários simultaneamente no sistema.

Por meio da Equação (2.2), é possível calcular várias medidas de desempenho, tais como a probabilidade de bloqueio, a taxa de atendimento (do inglês *throughput*), o número esperado de usuários no sistema (também conhecido pelo termo em inglês *work-in-process*), e tempo de serviço esperado, entre outras. A probabilidade de bloqueio é a probabilidade de um usuário adicional chegar ao sistema quando o número de usuários já presentes nele estiver na capacidade máxima c , ou seja:

$$p_{\text{bloqueio}} \equiv p(c) \equiv P[N = c].$$

A taxa de atendimento (*throughput*), também conhecida como taxa de chegada efetiva no sistema, é dada por:

$$\theta \equiv \lambda_{\text{efetiva}} \equiv \lambda[1 - p(c)].$$

O número esperado de usuários no sistema resulta diretamente da definição de esperança de uma variável aleatória:

$$L \equiv E[N] = \sum_{n=1}^c np(n).$$

Já o tempo esperado no sistema (isto é, o tempo de serviço esperado) pode ser calculado diretamente da Lei de Little:

$$W \equiv E[T] = \frac{L}{\theta}.$$

2.4 Modelo de simulação a eventos discretos

Descrevemos um novo modelo de simulação (Cruz, Oliveira & Duczmal, 2010) que é extensão de um algoritmo proposto anteriormente por Oliveira (2005) para redes de filas $M/G/c/c$ dependentes do estado. Essencialmente, o modelo implementa o objeto `MgccSimul`, apresentado na Fig. 2.2. Descreveremos em detalhes agora o objeto `MgccSimul` e todas as estruturas de dados envolvidas, ou seja, o número de filas $M/G/c/c$ dependentes do estado (`nOfNodes`), o tempo total de simulação (`totalTime`), a matriz origem-destino (`arcs`), um vetor de `nOfNodes` objetos do tipo `MgccResource`, e, finalmente, uma fila de eventos (`MgccEventQueue`). Os objetos `MgccResource` mantêm todas as estatísticas de interesse para cada uma das filas, ou seja, o número de bloqueios (`sumBloc`), o número de chegadas (`sumArr`), o número de partidas (`sumDep`), o tempo acumulado no sistema (`sumTime`), e o número corrente de usuários no sistema (`users`). Também faz parte de cada objeto `MgccResource` o modelo de congestionamento (`GenCM`), com métodos para acesso da capacidade da fila (c), o tempo de serviço esperado para um único ocupante no sistema ($E[T_1]$) e a velocidade média (taxa de serviço) para o número corrente de usuários no sistema (V_n).

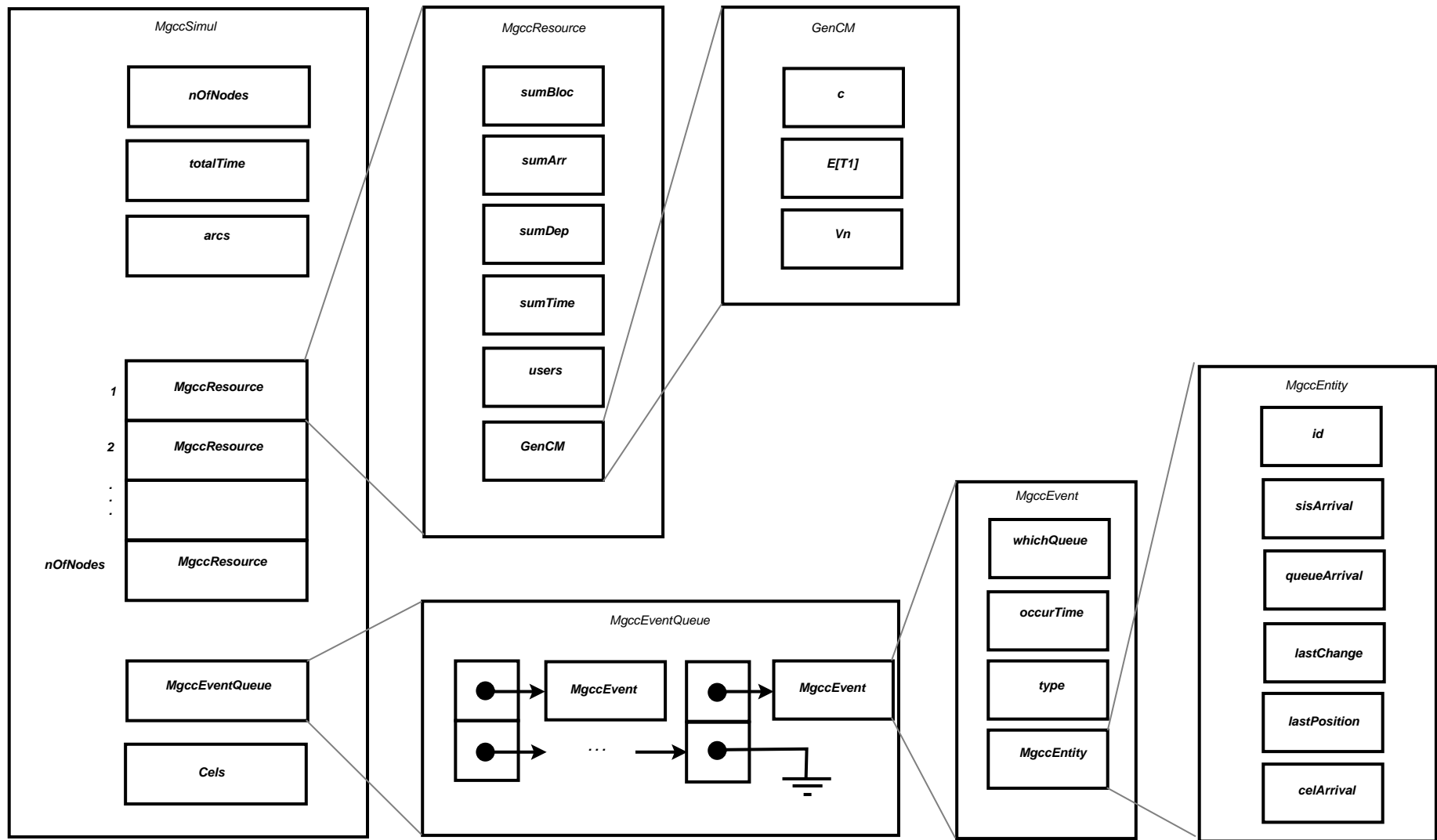


Figura 2.2: Objetos MgccSimul

A parte mais crítica do objeto `MgccSimul` é o objeto `MgccEventQueue`, que implementa a fila de eventos. A fila de eventos foi implementada como uma lista dinâmica, construída durante a execução da simulação, com a tarefa de registrar todos os eventos. Surpreendentemente, após muita experimentação, verificamos que é consideravelmente mais rápido manter a fila de eventos não ordenada, pelo menos para simulação de redes de filas dependentes do estado. Mesmo considerando o custo elevado de percorrer grande parte da lista para recuperar o próximo evento a ser processado, uma operação que tem complexidade $\mathcal{O}(n_{lista})$ no pior caso, é mais eficiente do que manter a lista ordenada. Isso decorre do fato de que a lista é embaralhada cada vez que uma entidade chega ou sai do sistema, uma vez que V_n , as taxas de serviço definidas na Equação (2.1), devem ser atualizadas para cada entidade que permanece no sistema.

Na fila de eventos, cada objeto `MgccEvent` tem as seguintes variáveis: `whichQueue`, que é a indicação de qual das filas $M/G/c/c$ o evento pertence; `occurTime`, que é o tempo de ocorrência do evento; `type`, que é o tipo de evento (entre os eventos possíveis `chegada`, `partida` e `fim_simulação`) e `MgccEntity`, que é a entidade a que se refere o evento. O objeto `MgccEntity` representa cada usuário (veículo) em uma rede de filas $M/G/c/c$ dependente do estado, que tem as seguintes variáveis: `id`, que é uma identificação numérica única; `sisArrival`, que é o momento em que a entidade chegou ao sistema; `queueArrival`, que é o tempo que a entidade chegou à fila atual; `lastChange`, que é o tempo de ocorrência da última mudança de estado (isto é, quando uma entidade se junta ou deixa uma fila particular, haverá uma mudança no seu estado, uma vez que a taxa de serviço é dependente do estado); `lastPosition`, que é a localização física da entidade no momento em que o estado na fila foi modificado pela última vez, e, finalmente, `celArrival`, que é o tempo de chegada da entidade na célula.

As células são definidas como um conjunto arbitrário de filas e essa informação é armazenada em uma matriz, `Cells`. Se uma fila determinada i pertence à uma célula particular j , então tem-se que

$$\text{Cells}[i, j] = \text{TRUE}.$$

O algoritmo de simulação é apresentado em pseudo-código na Figura 2.3. Inicialmente, a lista de eventos `MgccEventQueue` é inicializada com o último evento (evento do tipo `fim_simulação`) e os primeiros eventos, que são as primeiras chegadas (evento do tipo `chegada`). Então, iterativamente, o evento a ocorrer primeiro é buscado na lista de eventos e processado, normalmente gerando outros eventos, que são incorporados à lista. Isto se prolonga até que o evento final (evento do tipo `fim_simulação`) seja aquele a ocorrer primeiro na lista de eventos. Os procedimentos para lidar com as chegadas, `ProcessArrival()`, e com as partidas, `ProcessDeparture()`, não serão detalhados aqui, por razões de concisão, uma vez que não são significativamente diferentes daqueles já descritos em Cruz et al. (2005).

```

algorithm Simulate
    /* initialize event queue */
    Initalize(MgccEventQueue);
    /* create and insert 'last' event */
    MgccEvent ← new();
    MgccEvent.occureTime ← totalTime;
    MgccEvent.type ← end_simulation;
    Insert(MgccEventQueue,MgccEvent);
    /* create and insert 'first' events */
    for  $\forall n | \lambda_n \neq 0$  do
        MgccEvent ← new();
        MgccEvent.whichQueue ← n;
        MgccEvent.occureTime ← 0.0;
        MgccEvent.type ← arrival;
        Insert(MgccEventQueue,MgccEvent);
    end for
    /* simulate */
    MgccEvent ← GetNext(MgccEventQueue);
    while MgccEvent.type  $\neq$  end_simulation do
        if MgccEvent.type = arrival then
            ProcessArrival(MgccEventQueue,MgccEvent);
        else if MgccEvent.type = departure then
            ProcessDeparture(MgccEventQueue,MgccEvent);
        else
            error, unknown event
        end if
        MgccEvent ← GetNext(MgccEventQueue);
    end while
    print results
end algorithm

```

Figura 2.3: Algoritmo de simulação

2.5 Observações finais

Como observação final, lembramos que o objetivo aqui é estimar computacionalmente medidas de desempenho básicas para filas finitas configuradas em redes. Não foi assumido que todos os usuários nas rodovias terão chamadas em andamento, o que seria completamente irrealista. A relação entre a distribuição do número de clientes no sistema e a distribuição do número de usuários nas rodovias com chamadas em andamento é complexo e requer uma análise cuidadosa. Além disso, nesta formulação, os *handovers* (transferências de ligações entre centrais) não são considerados. Estas são certamente questões importantes que serão abordados em trabalhos futuros.

CAPÍTULO 3

EXPERIMENTOS COMPUTACIONAIS

3.1 Introdução

Apresentamos aqui os resultados dos experimentos computacionais realizados com o modelo de simulação a eventos discretos proposto. Todos os algoritmos foram codificados em C++ e estão disponíveis no Capítulo [A](#), para fins educacionais e de pesquisa. Todos os experimentos foram executados em um mesmo PC com um processador 1.8 GHz Intel Pentium 4 e 512 MB de RAM, rodando Windows XP. As configurações foram executadas para um período de simulação de 3 horas, com descarte da primeira hora, para estabilização da simulação (este é conhecido como período de *warm-up*; detalhes podem ser vistos em [Robinson, 2007](#)).

Três topologias básicas de redes foram testadas. Elas foram escolhidas pela simplicidade, pelas conclusões que podem produzir e, principalmente, porque qualquer configuração mais complexa pode ser vista como uma combinação destas. Naturalmente, o efeito combinado de uma certa composição de topologias básicas não deverá ser uma perfeita superposição dos efeitos individuais das componentes (lembre-se que não temos um sistema linear), mas qualquer compreensão que se ganhe poderá ser útil na análise do comportamento de redes mais complexas, como veremos em breve. Como são experimentos iniciais, todos os trechos considerados tem 1 milha de comprimento e 1 pista de largura.

Uma das configurações básicas estudadas é a topologia série, apresentada na Fig. [3.1](#). Outra é a topologia divisão, vista na Fig. [3.6](#). A topologia fusão também foi testada e é mostrada na Figura [3.11](#).

Finalmente, a fim de melhor demonstrar as capacidades do modelo proposto, algumas topologias mistas, complexas, foram consideradas, o que pode ser visto nas Figu-

ras 3.16, 3.21(a), 3.21(b) e 3.21(c). Vamos agora apresentar e discutir os resultados experimentais.

O principal objetivo aqui era fazer uma análise mais profunda das variáveis tempo entre partidas e tempo de serviço nas células, mas com o objetivo de verificar a saturação do tempo de percurso também foi feito alguns experimentos aumentando o número de pistas. Os resultados obtidos foram apresentados para a topologia série nas Figuras D.1 e D.1, para a topologia divisão as Figuras D.3 e D.3, para a topologia fusão as Figuras D.5 e D.5 e por fim para a topologia mista as Figuras D.7 e D.7. Em todas as situação vemos que o tempo de serviço reduz com o aumento do número de pistas, uma vez que com menos pistas o sistema fica congestionado causando a sua saturação. Podemos observar que há uma queda maior quando aumentamos o número de pistas de 1 para 2 pistas, após 2 pistas o tempo de serviço reduz porém em menor valor.

3.2 Topologia série

Na Figura 3.1, vemos a representação de um sistema de telefonia celular simplificado composto por três células em topologia série, cada uma das quais com apenas um trecho principal de rodovia, que será modelado cada um por uma fila $M/G/c/c$ dependente do estado. Sem perda de generalidade, cada trecho tem 1 milha de comprimento e uma única pista de largura.

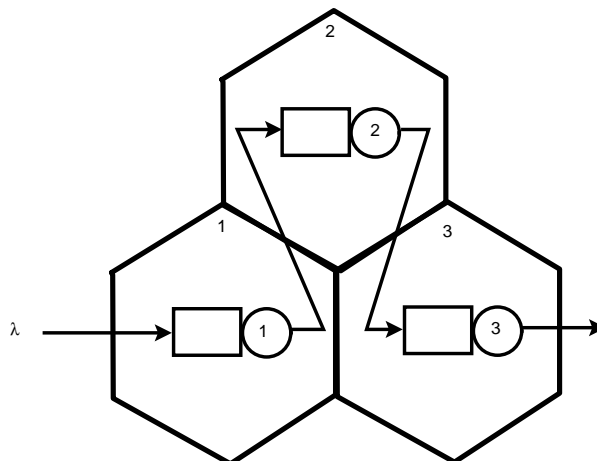


Figura 3.1: Três células em topologia série

As estatísticas descritivas da variável *tempo entre partidas* são mostradas na Tabela 3.1. É notável a equivalência dos modelos estocásticos para todas as três células, para todas as taxas de chegada λ testadas. No entanto, o efeito da dependência do estado já é perceptível, mesmo neste caso simples. Em outras palavras, até a taxa de chegada de 4.000 veículos/h, observamos uma equivalência aproximada entre as médias e os desvios-padrões para a variável *tempo entre partidas*. Acima destes valores, as médias permaneceram praticamente inalteradas, em torno de 1,85 (porque o sistema satura), mas a variabilidade cresce para 14,3. Esta nossa análise é corroborada pelas Tabelas C.2 e C.1, que foram obtidas através do teste de Kolmogorov-Smirnov, que mostram, respectivamente, os valores-p e a decisão quando comparado ao nível de significância de 1%. Assim, os processos de chegada na células 2 e 3, que são os processos de partida das células 1 e 2, respectivamente, já não parecem ser markovianos, assemelhando-se a uma distribuição hiper-exponencial. Uma conclusão prática relevante que poderia ser tirada destes experimentos é que, se a carga no sistema é suficientemente alta, um modelo exponencial pode não mais ser adequado para descrever todos os processos de chegada, o que resulta na inaplicabilidade de filas $M/G/c/c$ dependentes do estado, para as quais o processo de entrada é markoviano.

Tabela 3.1: Descritivas da média do tempo entre partidas para a topologia série

λ	Célula	Min.	Q1	Mediana	Média	DP	Q3	Máx.
1.000	1	0,00	1,06	2,52	3,50	3,44	4,80	32,28
	2	0,00	1,06	2,49	3,50	3,43	4,90	30,24
	3	0,00	1,08	2,47	3,50	3,43	4,92	28,46
2.000	1	0,00	0,51	1,23	1,77	1,76	2,46	17,44
	2	0,00	0,51	1,22	1,78	1,77	2,47	16,44
	3	0,00	0,52	1,24	1,77	1,76	2,46	14,74
4.000	1	0,00	0,37	0,88	1,27	1,25	1,78	9,85
	2	0,00	0,37	0,86	1,27	1,25	1,77	10,26
	3	0,00	0,37	0,87	1,27	1,25	1,74	10,26
8.000	1	0,00	0,28	0,68	1,26	3,56	1,42	57,20
	2	0,00	0,28	0,69	1,28	3,30	1,45	53,45
	3	0,00	0,27	0,70	1,27	2,83	1,50	44,58
16.000	1	0,00	0,15	0,35	1,27	10,71	0,70	159,62
	2	0,00	0,14	0,35	1,27	10,55	0,71	157,28
	3	0,00	0,14	0,34	1,27	10,32	0,74	152,43

Nas Figura 3.2 e 3.3, apresentamos histogramas para a variável *tempo entre partidas*, para uma taxa de chegada de 1.000 e 4.000 veículos/h, respectivamente. A partir destas figuras e das Tabela 3.1, C.2 e C.1, a taxa de chegada de 4.000 veículos/h parece realmente ser

o limite da aplicabilidade do modelo de redes de filas $M/G/c/c$ dependentes do estado. A adoção de um modelo exponencial, para uma taxa de chegada de 4.000, é visualmente razoável.

Nas Figuras 3.4 e 3.5, gráficos das séries temporais da variável *tempo de serviço nas células* são apresentados, juntamente com os respectivos histogramas, para as taxas de chegada de 1.000 e 4.000 veículos/h. Observamos que para aplicações em sistemas celulares, a variável *tempo de serviço nas células* é equivalente à variável *tempo de permanência nas células*, que é uma medida de desempenho importante em sistemas de telefonia móvel, como ressaltado anteriormente. Confirmamos aqui que os modelos exponenciais não parecem ser adequados para a modelagem de tal variável aleatória, como observado em estudos anteriores (Hegde & Sohraby, 2002; Zonoozi & Dassanayake, 1997).

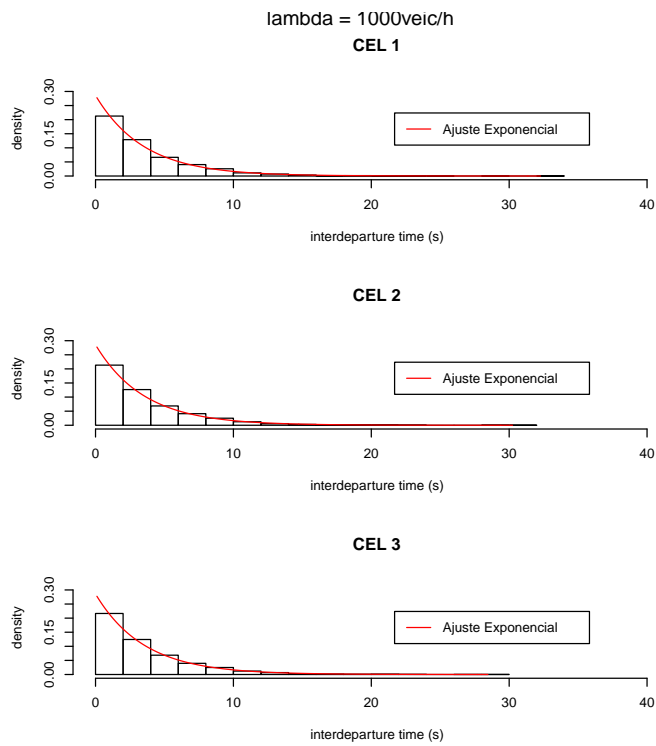


Figura 3.2: Tempo entre partidas na topologia série para $\lambda = 1.000$

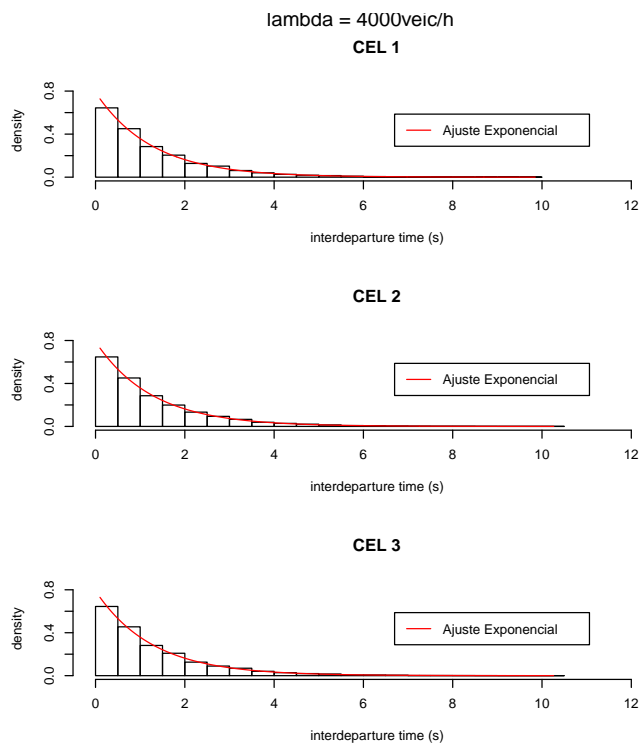


Figura 3.3: Tempo entre partidas na topologia série para $\lambda = 4.000$

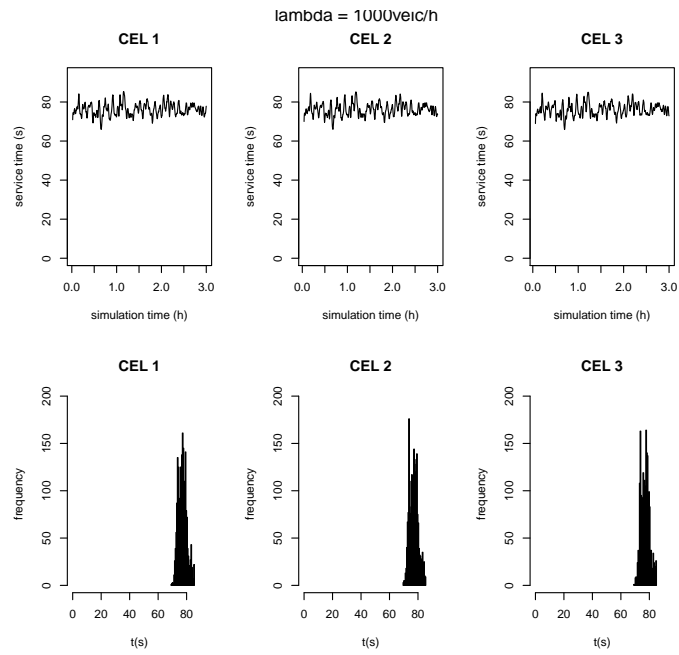


Figura 3.4: Tempos de serviço na topologia série para $\lambda = 1.000$

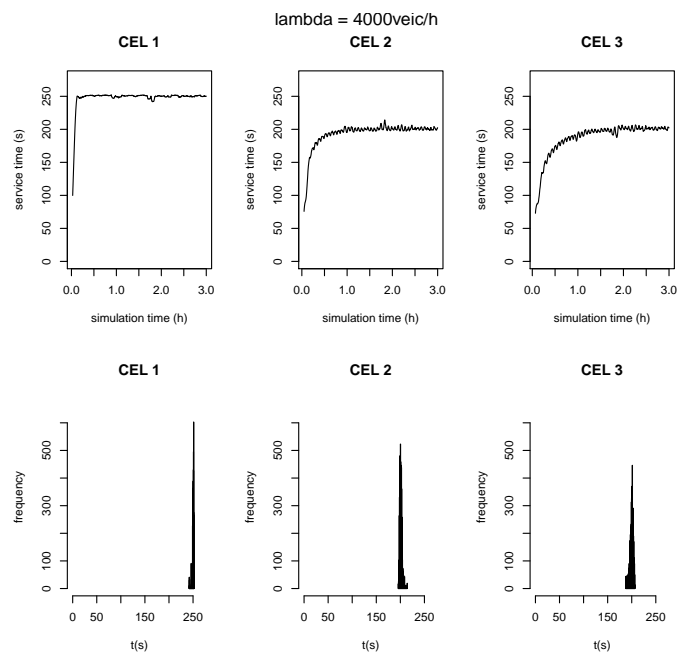


Figura 3.5: Tempos de serviço na topologia série para $\lambda = 4.000$

3.3 Topologia divisão

Na Figura 3.6, mostramos um sistema de telefonia celular em uma configuração simplificada na topologia divisão. Neste caso, cada fila modela um trecho de rodovia de 1 quilômetro de comprimento por uma pista de largura. O fluxo do trecho 1 se divide entre dois trechos, 2 e 3, na proporção de 70%–30%, respectivamente.

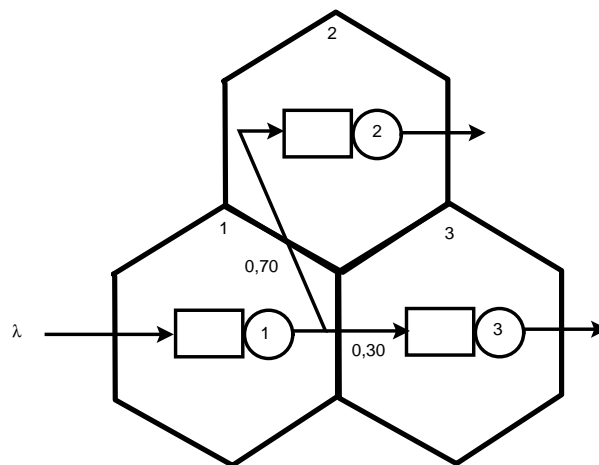


Figura 3.6: Três células em topologia divisão

As estatísticas descritivas da variável *tempo entre partidas* são mostradas na Tabela 3.2. Novamente, sob taxas de chegada de até 4.000 veículos/h, os modelos exponenciais parecem ser aplicáveis, com médias e desvios-padrões semelhantes. Para atestar visualmente estas conclusões, as Figura 3.7 e 3.8 mostram os histogramas para a variável *tempo entre partidas* com $\lambda = 1.000$ e 4.000, com os respectivos modelos exponenciais ajustados. Novamente foram feitos testes de Kolmogorov-Smirnov, apresentados nas Tabelas C.4 e C.3, que fortalecem a nossa conclusão de que os modelos exponenciais são aplicáveis sob taxas de chegadas iguais ou inferiores a 4.000 veículos/h.

As Figuras 3.9 e 3.10 apresentam o comportamento da variável *tempo de serviço nas células* (ou seja, os *tempos de permanência nas células*) e os histogramas para $\lambda = 1.000$ e 4.000 veículos/h, respectivamente. Para $\lambda = 4.000$, as saídas das redes de filas $M/G/c/c$ dependente do estado surpreendentemente indicam que a variável aleatória *tempos de permanência nas células* tem uma variabilidade muito baixa. A conclusão importante que pode ser retirada a partir destes resultados de simulação é que será necessário um cuidado

Tabela 3.2: Descritivas da média do tempo entre partidas para a topologia divisão

λ	Célula	Min.	Q1	Mediana	Média	DP	Q3	Máx.
1.000	1	0,00	1,06	2,52	3,50	3,44	4,80	32,28
	2	0,00	1,40	3,31	4,86	4,86	6,71	36,74
	3	0,01	3,66	8,20	12,47	12,19	17,60	78,89
2.000	1	0,00	0,51	1,23	1,77	1,76	2,46	17,44
	2	0,00	0,70	1,70	2,49	2,47	3,58	21,13
	3	0,00	1,72	4,12	6,17	6,18	8,70	47,77
4.000	1	0,00	0,37	0,88	1,27	1,25	1,78	9,85
	2	0,00	0,52	1,25	1,79	1,79	2,50	17,15
	3	0,01	1,26	3,00	4,29	4,27	5,86	31,08
8.000	1	0,00	0,28	0,68	1,26	3,56	1,42	57,20
	2	0,00	0,40	0,99	1,79	3,43	2,12	42,35
	3	0,00	0,97	2,44	4,34	6,97	5,16	66,74
16.000	1	0,00	0,15	0,35	1,27	10,71	0,70	159,62
	2	0,00	0,16	0,45	1,82	9,69	1,24	124,89
	3	0,00	0,43	1,14	4,25	18,16	2,59	153,37

extra no ajuste de alguma distribuição de probabilidade para esta variável aleatória. O congestionamento que uma determinada taxa de chegada pode causar no trecho de rodovia dificilmente seria determinado sem a utilização de uma ferramenta de simulação, como a utilizada aqui, ou sem o uso de algum outro modelo analítico.

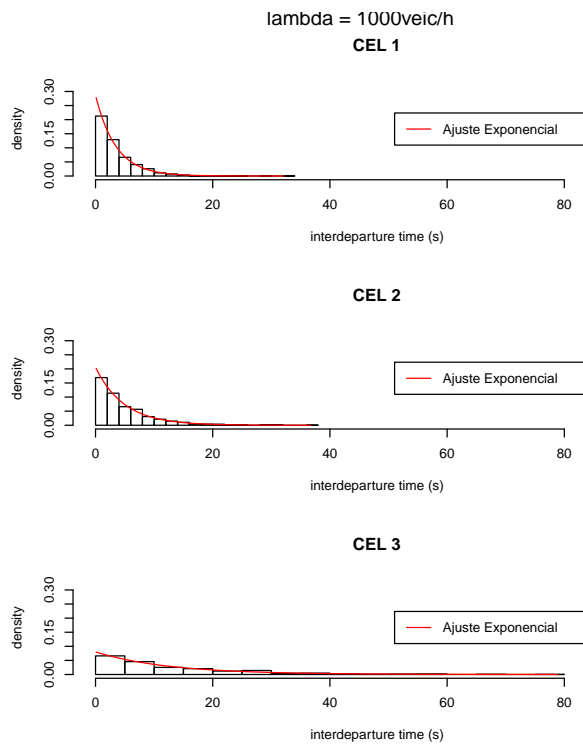


Figura 3.7: Tempo entre partidas na topologia divisão para $\lambda = 1.000$

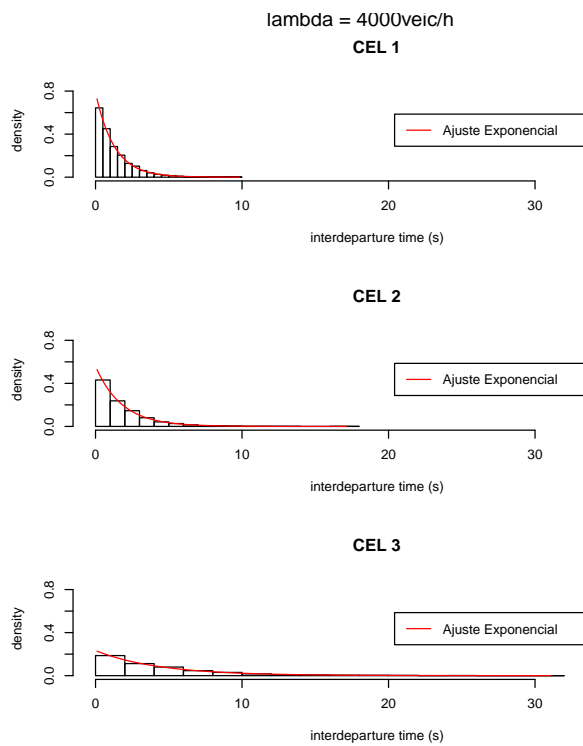


Figura 3.8: Tempo entre partidas na topologia divisão para $\lambda = 4.000$

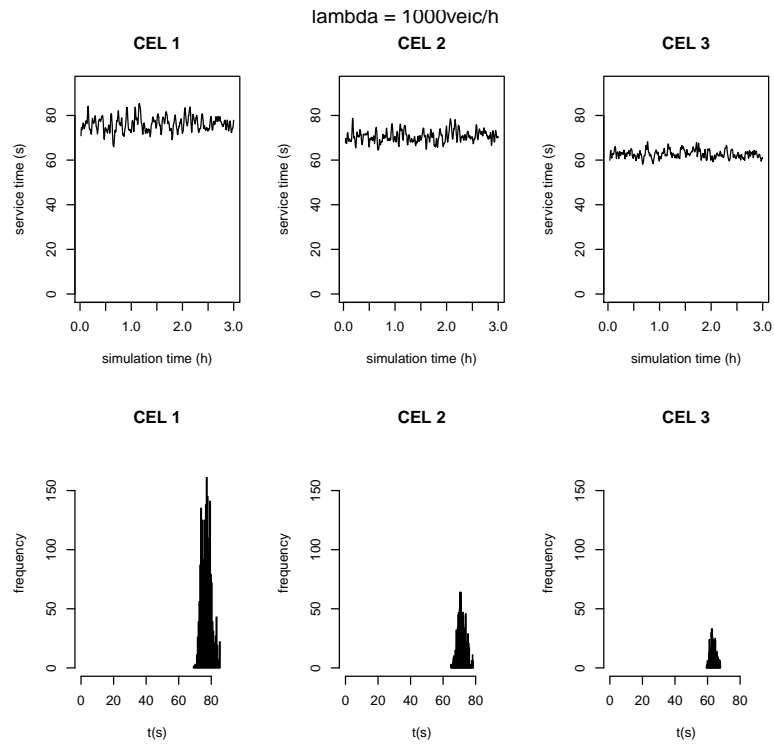


Figura 3.9: Tempos de serviço na topologia divisão para $\lambda = 1.000$

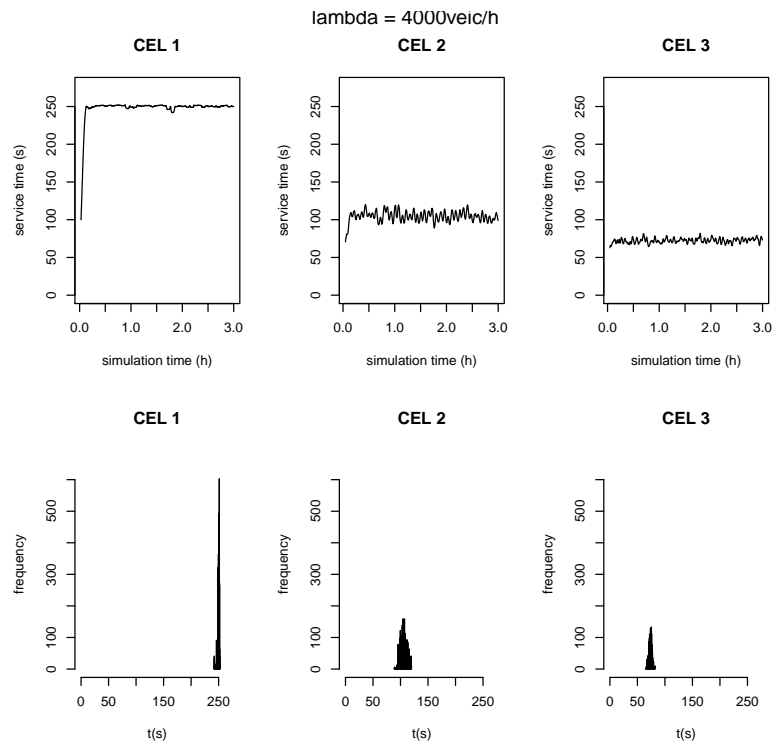


Figura 3.10: Tempos de serviço na topologia divisão para $\lambda = 4.000$

3.4 Topologia fusão

A topologia fusão, Figura 3.11, foi considerada apenas para atestar a simetria dos resultados. Na Figura 3.11, mostramos um sistema de telefonia celular em uma configuração simplificada na topologia fusão. Neste caso, cada fila modela um trecho de rodovia de 1 quilômetro de comprimento por uma pista de largura. O fluxo dos trechos 1 e 2 se fundem em um único trecho, 3, tendo uma proporção de chegada 70λ e 30λ , para os nós 1 e 2, respectivamente.

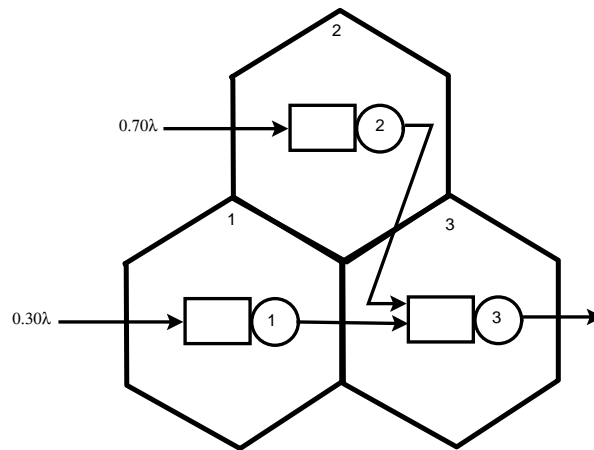


Figura 3.11: Três células em topologia fusão

Vê-se facilmente pela Tabela 3.3 e pelas Figuras 3.12 e 3.13, 3.14 e 3.15, que alguma simetria está realmente presente. Em outras palavras, as células 3 e 1 da topologia fusão comportam-se de maneira semelhante às células 1 e 3 da topologia divisão. Esse comportamento era esperado e é uma indicação de que o modelo de simulação pode estar correto. Porém, se ocorrer congestionamento nas células de entrada haverá então um hiper-congestionamento na célula 3. Outra vez, foram feitos testes de Kolmogorov-Smirnov, apresentados nas Tabelas C.6 e C.5, que fortalecem a nossa conclusão de que os modelos exponenciais são aplicáveis sob taxas de chegadas inferiores a 4.000 veículos/h.

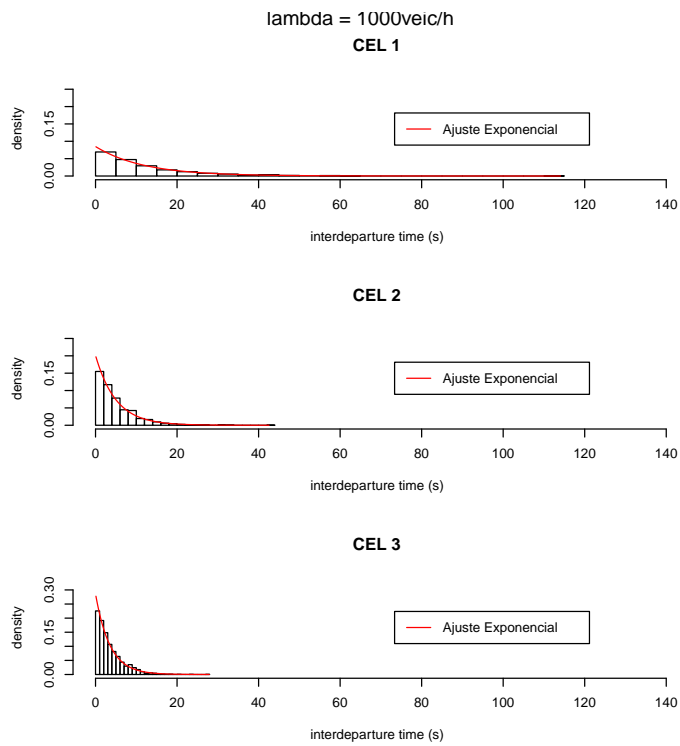


Figura 3.12: Tempo entre partidas na topologia fusão para $\lambda = 1.000$

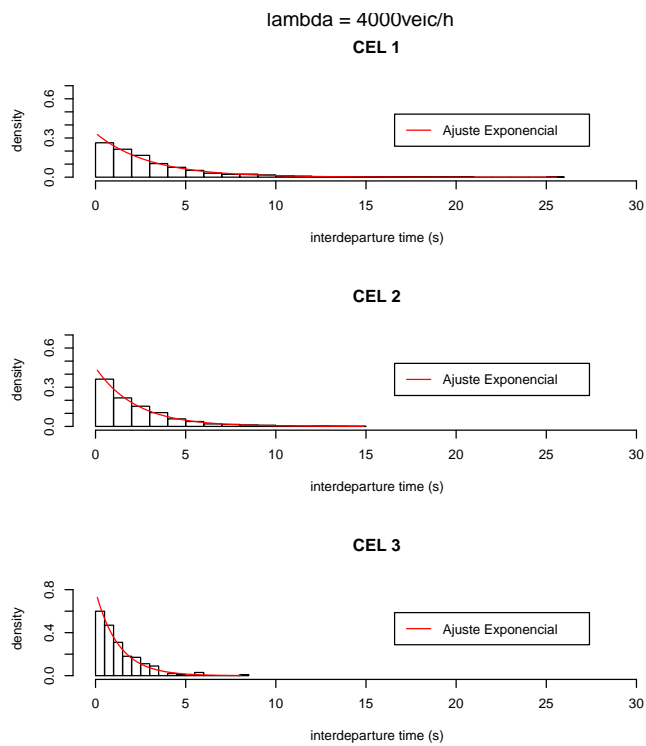


Figura 3.13: Tempo entre partidas na topologia fusão para $\lambda = 4.000$

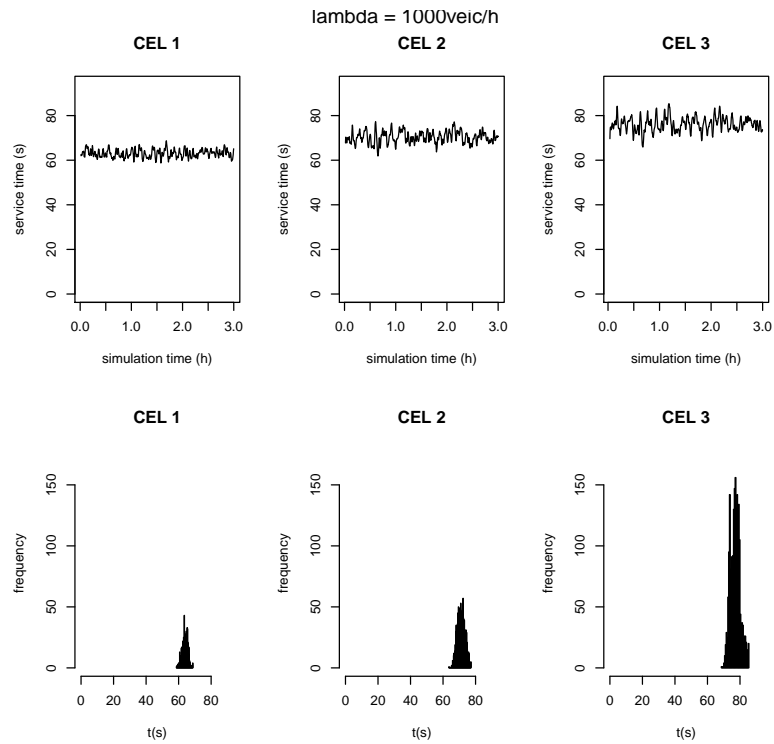


Figura 3.14: Tempos de serviço na topologia fusão para $\lambda = 1.000$

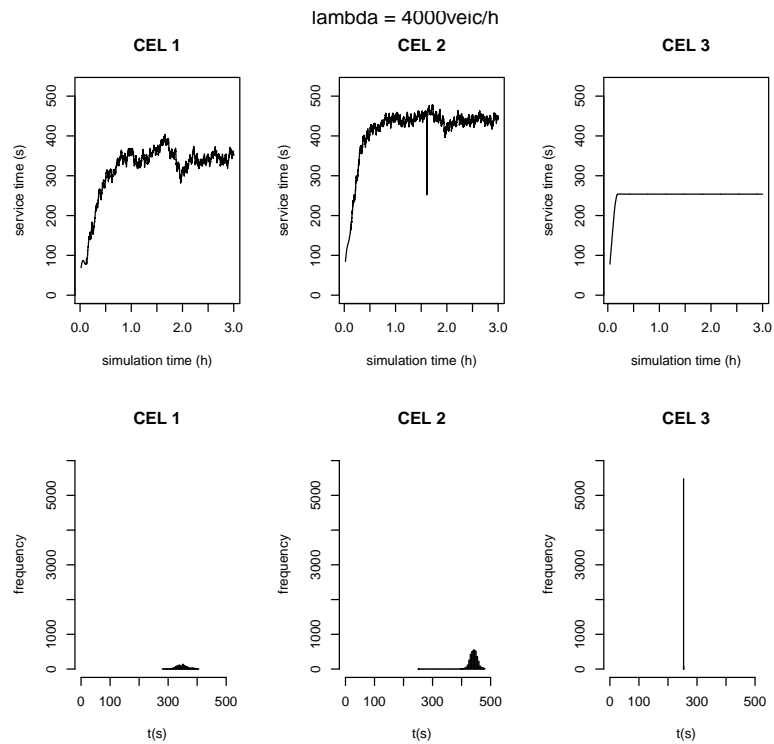


Figura 3.15: Tempos de serviço na topologia fusão para $\lambda = 4.000$

Tabela 3.3: Descritivas da média do tempo entre partidas para a topologia fusão

λ	Célula	Min.	Q1	Mediana	Média	DP	Q3	Máx.
1.000	1	0,00	3,39	8,27	11,77	12,02	16,13	114,07
	2	0,00	1,57	3,57	4,97	4,80	6,87	42,57
	3	0,00	1,12	2,53	3,50	3,24	4,95	27,91
2.000	1	0,00	1,64	3,79	5,79	6,13	7,98	59,49
	2	0,00	0,76	1,79	2,55	2,46	3,53	19,07
	3	0,00	0,52	1,24	1,78	1,75	2,43	13,01
4.000	1	0,00	0,95	2,12	2,96	2,87	4,04	25,59
	2	0,00	0,62	1,59	2,22	2,18	3,10	14,87
	3	0,00	0,38	0,94	1,27	1,23	1,83	8,08
8.000	1	0,00	0,55	1,69	2,54	2,63	3,69	18,91
	2	0,00	0,48	1,07	2,56	4,66	2,87	53,19
	3	0,00	0,33	0,78	1,27	1,39	1,72	8,31
16.000	1	0,00	0,31	0,99	2,56	5,32	2,41	62,43
	2	0,00	0,37	1,00	2,57	7,58	2,49	100,76
	3	0,00	0,26	0,62	1,28	2,79	1,24	31,62

3.5 Topologia mista

Finalmente, foi considerada uma topologia mista. A primeira configuração testada é mostrada na Figura 3.16, juntamente com as probabilidades de roteamento e as taxas de chegada, que se divide em $0,30\lambda$ no nó 1 e $0,70\lambda$ no nó 3. Esta topologia um pouco mais complexa foi escolhida para mostrar que o modelo de simulação é capaz de lidar com casos mais gerais, e não apenas com as configurações básicas mais simples. No entanto, deve-se ter em mente que, uma vez que o modelo é baseado na simulação intensiva, o tamanho das instâncias tratáveis pode ser bastante reduzido. Os tempos de simulação podem ser proibitivos para instâncias de grande porte, mas podemos lançar mão de técnicas de decomposição e agregação para reduzir o tamanho de instâncias reais e torná-las tratáveis pelo modelo de simulação.

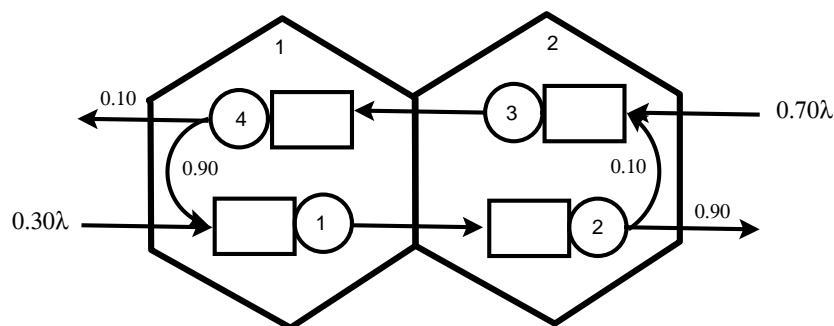


Figura 3.16: Duas células em topologia mista: topologia mista I

Nesta topologia, cada célula é composta de dois trechos de rodovia ao invés de um. Cada fila representa um trecho de 1 quilômetro de comprimento por uma pista de largura. Nesta primeira configuração nos nós onde ocorre a divisão, nó 2 e nó 4, as probabilidades, para a entidade que permanece na rede, são $0,10$ e $0,90$, respectivamente. A partir da Tabela 3.4 e das Figuras 3.17 e 3.18, vemos que o modelo exponencial é bastante aceitável para a variável *tempo entre partidas*, se a taxa de chegada não é tão elevada a ponto de saturar o sistema (neste caso, a saturação parece ocorrer quando $\lambda \geq 4.000$ veículos/h), conforme os testes de Kolmogorov-Smirnov realizados e apresentados nas Tabelas C.8 e C.7, que fortalecem essa nossa conclusão de que os modelos exponenciais são aplicáveis sob taxas de chegadas inferiores a 4.000 veículos/h.

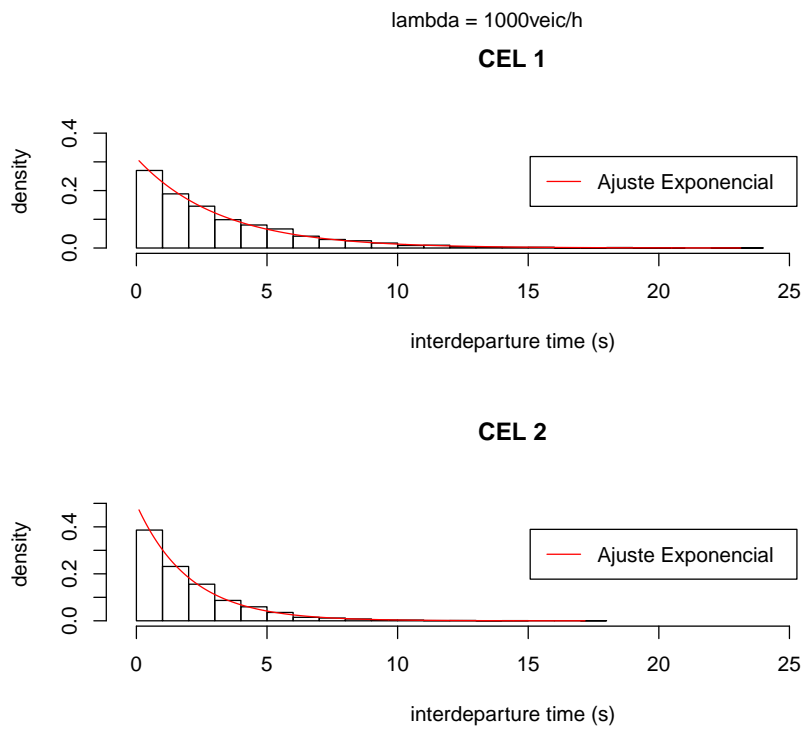


Figura 3.17: Tempo entre partidas na topologia mista I para $\lambda = 1.000$

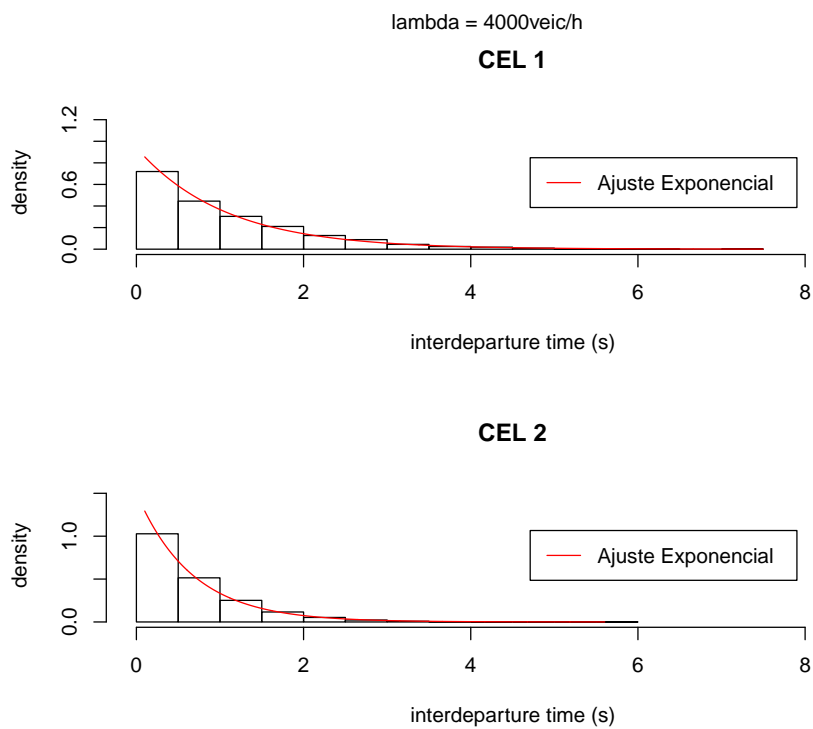


Figura 3.18: Tempo entre partidas na topologia mista I para $\lambda = 4.000$

Tabela 3.4: Descritivas da média do tempo entre partidas para a topologia mista I

λ	Célula	Min.	Q1	Mediana	Média	DP	Q3	Máx.
1.000	1	0,00	0,93	2,25	3,19	3,12	4,51	23,14
	2	0,00	0,59	1,41	2,02	1,98	2,81	17,18
2.000	1	0,00	0,48	1,13	1,61	1,59	2,21	14,56
	2	0,00	0,31	0,73	1,04	1,01	1,45	8,13
4.000	1	0,00	0,28	0,79	1,06	1,02	1,58	7,50
	2	0,00	0,20	0,48	0,67	0,63	0,94	5,60
8.000	1	0,00	0,24	0,78	1,03	1,03	1,46	6,63
	2	0,00	0,18	0,47	0,65	0,63	0,96	5,25
16.000	1	0,00	0,23	0,71	1,04	1,08	1,48	6,32
	2	0,00	0,18	0,45	0,64	0,66	0,90	6,05

É quando se analisa a variável *tempo de serviço nas células* que o resultado mais curioso aparece. Neste caso, surgem as distribuições bimodais, como visto nas Figuras 3.19 e 3.20. A partir desses resultados, é evidente que muitas vezes será necessário utilizar misturas de distribuições, como em [Everitt & Hand \(1981\)](#), para adequadamente descrever a variável aleatória *tempo de serviço nas células*, em lugar de usar uma distribuição única.

Para podermos tentar entender melhor esse fenômeno de bimodalidade, testamos outras configurações com a mesma topologia mista, mudando apenas a probabilidade nos nós onde ocorre a divisão, nós 2 e 4. Para a segunda configuração, que chamaremos de Mista II apresentada na Figura 3.21(a), as probabilidades de permanência na rede são 0,90 e 0,10, para os nós 2 e 4 respectivamente. Para a terceira configuração, Mista III - Figura 3.21(a), as probabilidades de permanência na rede são 0,30 e 0,10, para os nós 2 e 4 respectivamente. Já para a quarta configuração, Mista IV - Figura 3.21(c), as probabilidades de permanência na rede são 0,10 e 0,30, para os nós 2 e 4 respectivamente.

Analisando a Tabela 3.5 e as Figuras 3.22 e 3.23, observamos que, parece que o limite para a distribuição exponencial para o *tempo entre partidas* acontece para $\lambda = 2.000$, após este valor parecia que a distribuição mais adequada seria uma hiperexponencial, porém utilizando o software *EasyFit* e realizando teste de Kolmogorov-Smirnov para diversas distribuições não conseguimos fazer o ajuste a nenhuma das distribuições testadas, ver Tabelas C.10 e C.9, outro fato que nos chamou a atenção é que para $\lambda = 4.000$ e $\lambda = 8.000$, apenas para a célula 1 o *tempo entre partidas* ainda é considerado exponencial. Uma outra informação interessante que podemos obter destes resultados é que para a célula 1

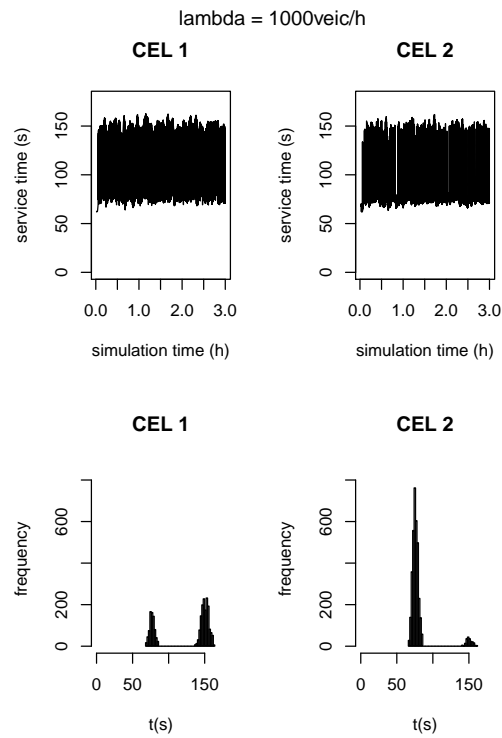


Figura 3.19: Tempos de serviço na topologia mista I para $\lambda = 1.000$

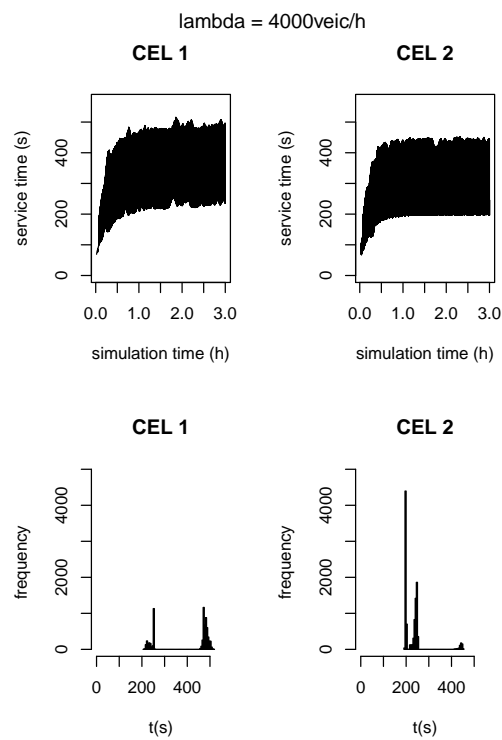


Figura 3.20: Tempos de serviço na topologia mista I para $\lambda = 4.000$

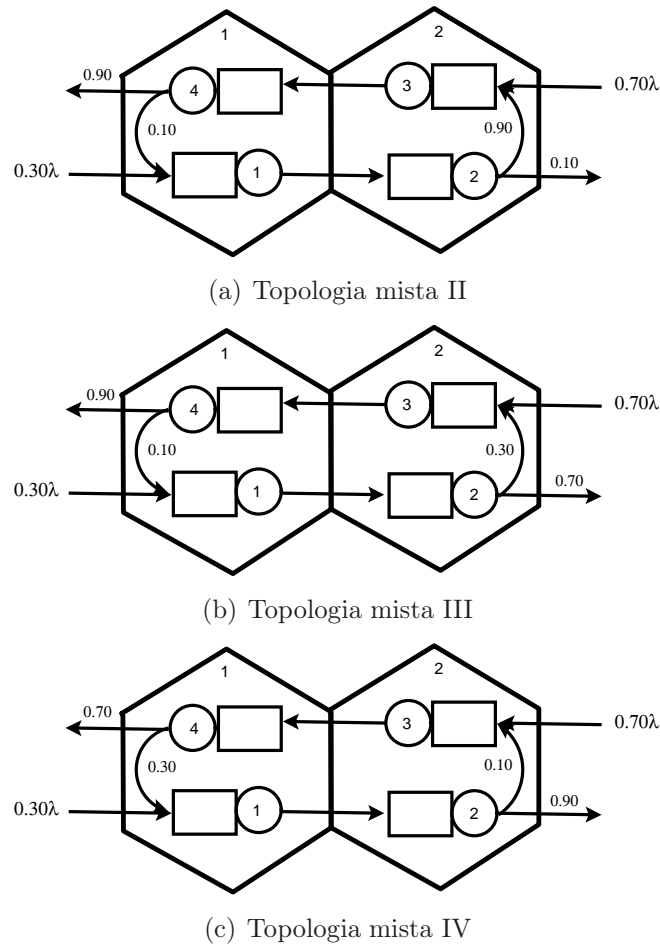


Figura 3.21: Mais configurações em topologia mista com duas células

a média da variável tempo entre partidas é menor que as médias obtidas para a primeira configuração da topologia mista testada, enquanto que para a célula 2 a média é maior. Este fato, ainda em suspeita, se deve a ocupação nos trechos da célula 2 ser maior do que na célula 1.

Quando analisamos as Figuras 3.24 e 3.25, que se referem ao tempo de serviço, podemos observar que para $\lambda = 1.000$ veículos/h a distribuição continua bimodal, enquanto que para $\lambda = 4.000$ já aparece uma distribuição trimodal, onde suspeitamos que a terceira moda seja as entidades que ficam circulando no sistema, que na prática poderíamos falar de um táxi ou uma lotação.

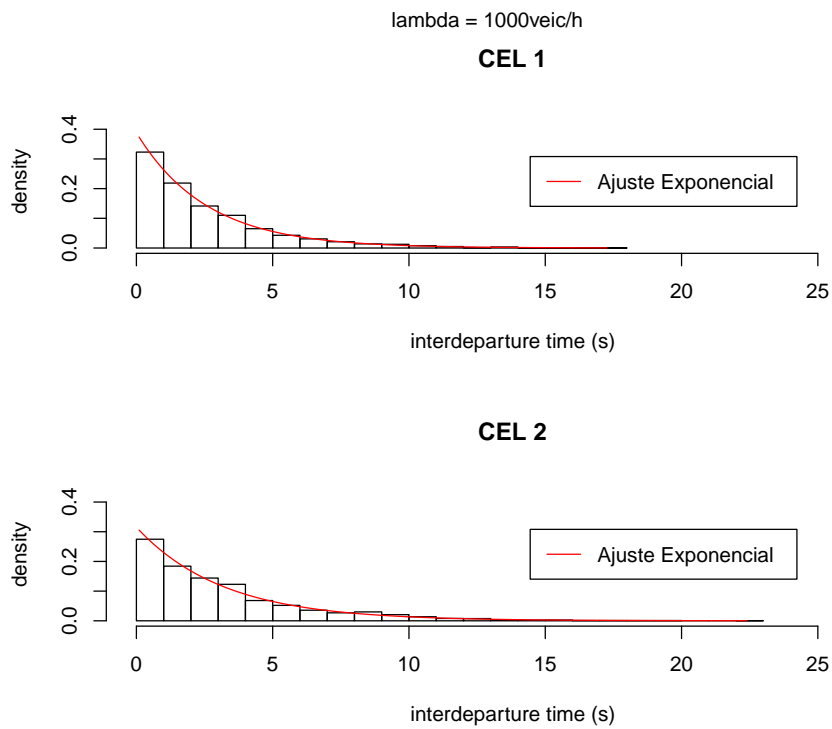


Figura 3.22: Tempo entre partidas na topologia mista II para $\lambda = 1.000$

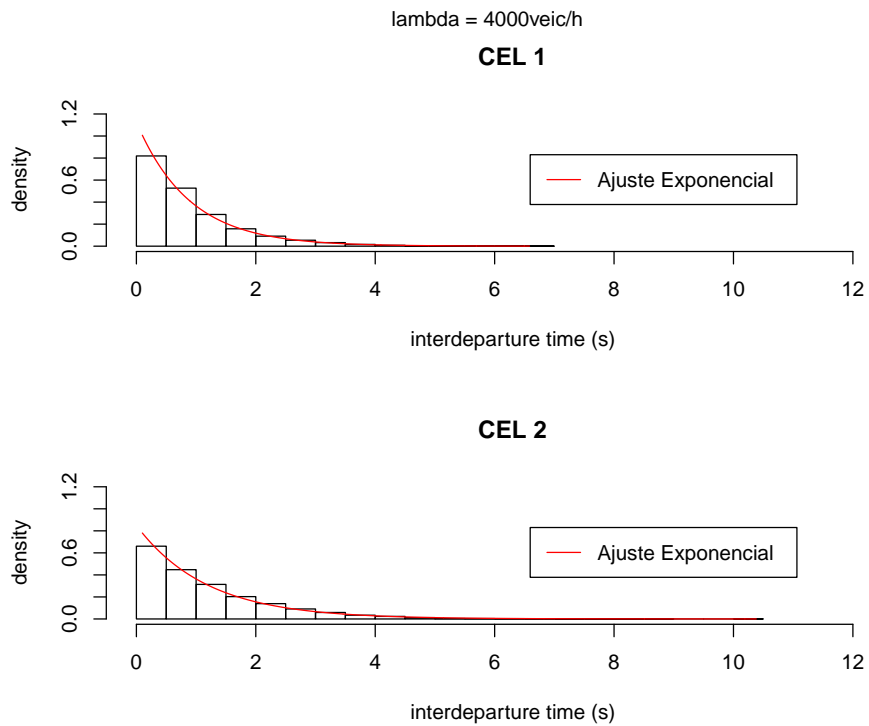


Figura 3.23: Tempo entre partidas na topologia mista II para $\lambda = 4.000$

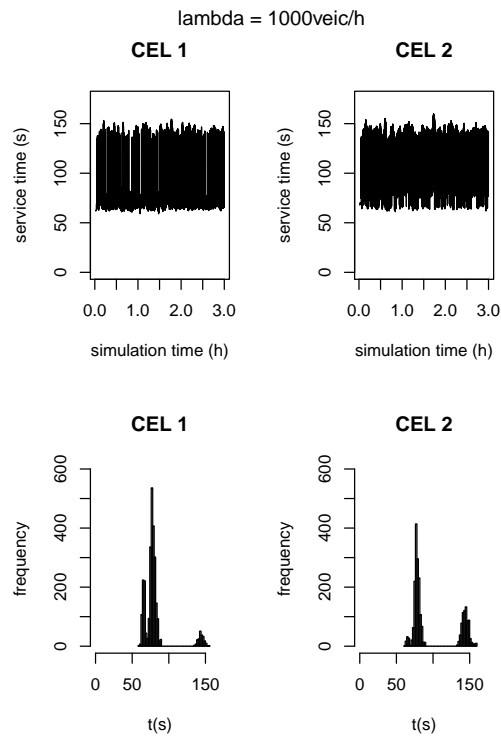


Figura 3.24: Tempos de serviço na topologia mista II para $\lambda = 1.000$

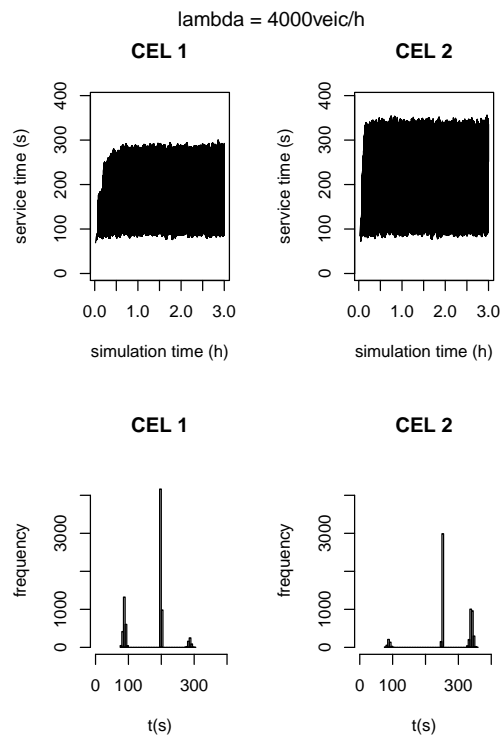


Figura 3.25: Tempos de serviço na topologia mista II para $\lambda = 4.000$

Tabela 3.5: Descritivas da média do tempo entre partidas para a topologia mista II

λ	Célula	Min.	Q1	Mediana	Média	DP	Q3	Máx.
1.000	1	0,00	0,77	1,77	2,57	2,53	3,61	17,27
	2	0,00	0,90	2,26	3,17	3,08	4,26	22,40
2.000	1	0,00	0,37	0,89	1,28	1,27	1,78	9,29
	2	0,00	0,46	1,13	1,59	1,56	2,19	17,29
4.000	1	0,00	0,27	0,65	0,89	0,84	1,23	6,58
	2	0,00	0,35	0,87	1,18	1,12	1,68	10,38
8.000	1	0,00	0,21	0,50	0,69	0,65	0,97	5,12
	2	0,00	0,26	0,76	1,01	0,95	1,52	6,00
16.000	1	0,00	0,13	0,33	0,66	3,37	0,66	72,96
	2	0,00	0,14	0,46	0,98	6,30	0,84	107,24

Partindo para a análise dos resultados obtidos para a configuração Mista III - Figura 3.21(b), vamos analisar a Tabela 3.6 e as Figuras 3.26 e 3.27, observamos que conforme as configurações anteriores, parece que o limite para a distribuição exponencial para o *tempo entre partidas* acontece para $\lambda = 4.000$. O que pode ser confirmado pelos testes de Kolmogorov-Smirnov apresentados nas Tabelas C.12 e C.11. Uma outra informação interessante que podemos obter destes resultados é que o comportamento da variável tempo entre partidas se assemelha com os resultados obtidos para a configuração Mista II. Outra observação que obtemos é que as médias são bastante parecidas entre as células 1 e 2, sendo que a média para a célula 2 é ligeiramente maior que a célula 1.

Quando analisamos as Figuras 3.28 e 3.29, que se referem ao tempo de serviço, podemos observar que para $\lambda = 1.000$ veículos/h a distribuição continua bimodal, enquanto que para $\lambda = 4.000$ já aparece uma distribuição trimodal, do mesmo modo, que ocorreu na configuração Mista II.

Tabela 3.6: Descritivas da média do tempo entre partidas para a topologia mista III

λ	Célula	Min.	Q1	Mediana	Média	DP	Q3	Máx.
1.000	1	0,00	0,92	2,26	3,13	3,09	4,28	23,00
	2	0,00	0,95	2,34	3,25	3,18	4,46	25,93
2.000	1	0,00	0,48	1,11	1,59	1,57	2,22	12,81
	2	0,00	0,49	1,16	1,65	1,60	2,27	12,13
4.000	1	0,00	0,25	0,62	0,89	0,89	1,24	9,27
	2	0,00	0,26	0,63	0,92	0,93	1,27	7,53
8.000	1	0,00	0,20	0,48	0,69	0,68	0,95	6,12
	2	0,00	0,17	0,47	0,71	0,76	1,01	6,40
16.000	1	0,00	0,12	0,31	0,67	3,21	0,64	82,59
	2	0,00	0,10	0,30	0,68	3,18	0,67	82,06

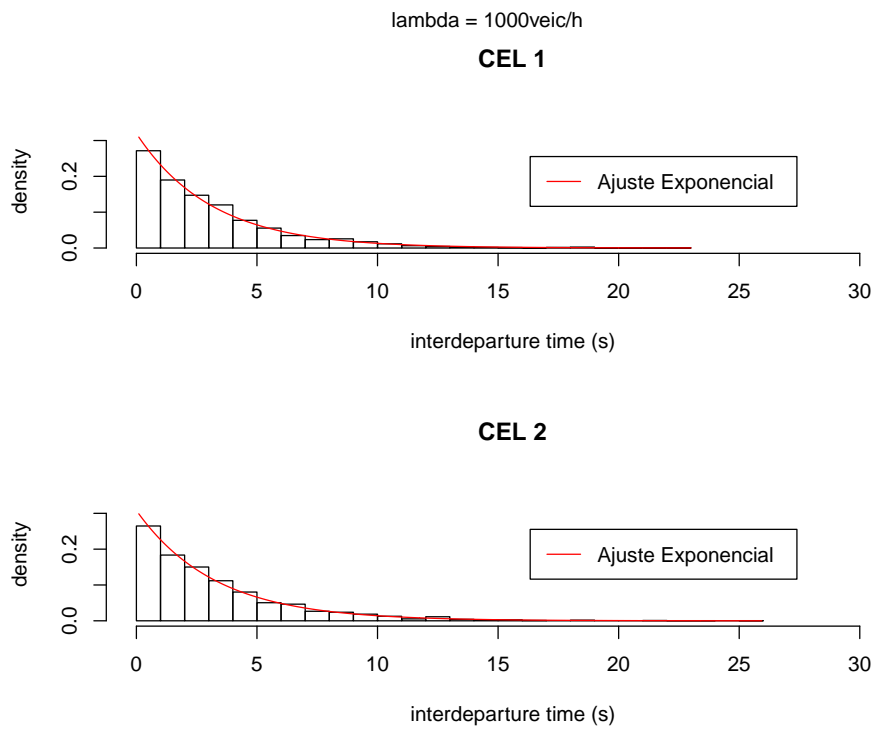


Figura 3.26: Tempo entre partidas na topologia mista III para $\lambda = 1.000$

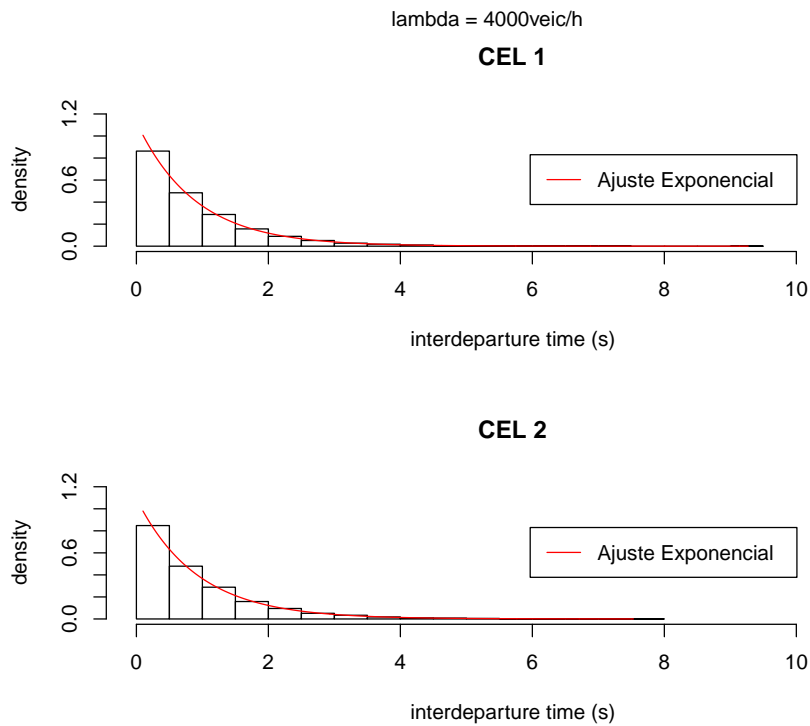


Figura 3.27: Tempo entre partidas na topologia mista III para $\lambda = 4.000$

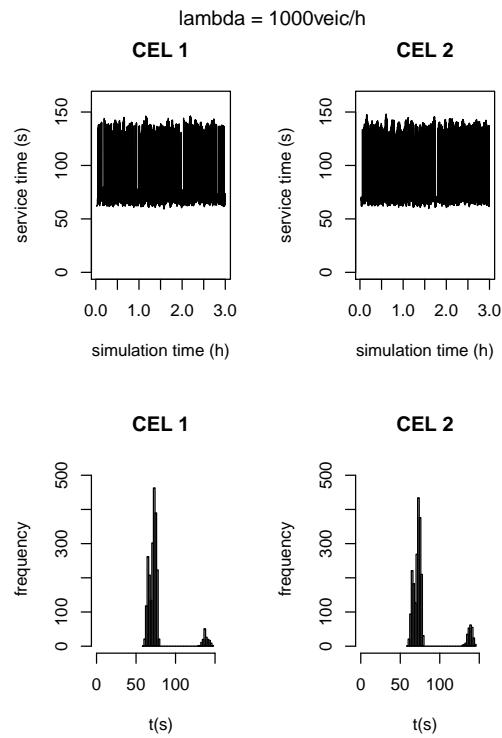


Figura 3.28: Tempos de serviço na topologia mista III para $\lambda = 1.000$

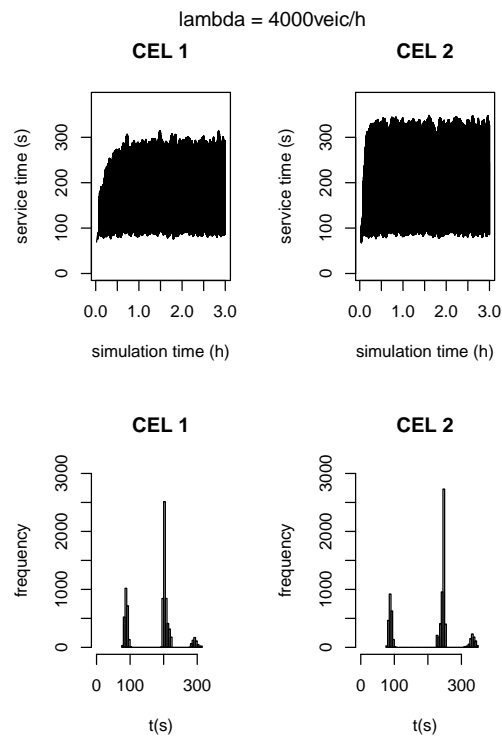


Figura 3.29: Tempos de serviço na topologia mista III para $\lambda = 4.000$

Analisando os resultados obtidos para a configuração Mista IV - Figura 3.21(c), temos a Tabela 3.7 e as Figuras 3.30 e 3.31, observamos que novamente, conforme as configurações anteriores, parece que o limite para a distribuição exponencial para o *tempo entre partidas* acontece para $\lambda = 4.000$, o que mais uma vez, pode ser corroborado com os testes de Kolmogorov-Smirnov, apresentados nas Tabelas C.14 e C.13. Uma outra informação interessante que podemos obter destes resultados é que o comportamento da variável tempo entre partidas se assemelha com os resultados obtidos para a configuração Mista I. Outra observação que obtemos é que as médias são bastante parecidas entre as células 1 e 2, sendo que a média para a célula 2 é ligeiramente menor que a célula 1.

Quando analisamos as Figuras 3.32 e 3.33, que se referem ao tempo de serviço, podemos observar que para $\lambda = 1.000$ veículos/h a distribuição continua bimodal, enquanto que para $\lambda = 4.000$ já aparece uma distribuição trimodal, do mesmo modo, que aconteceu na configuração da Figura 3.16.

Tabela 3.7: Descritivas da média do tempo entre partidas para a topologia mista IV

λ	Célula	Min.	Q1	Mediana	Média	DP	Q3	Máx.
1.000	1	0,00	0,99	2,31	3,32	3,27	4,48	26,00
	2	0,00	0,82	2,05	2,83	2,74	3,97	24,22
2.000	1	0,00	0,48	1,14	1,68	1,67	2,36	13,07
	2	0,00	0,43	1,02	1,45	1,43	2,04	12,63
4.000	1	0,00	0,25	0,61	0,89	0,89	1,22	8,31
	2	0,00	0,22	0,53	0,77	0,76	1,06	9,33
8.000	1	0,00	0,20	0,51	0,73	0,74	1,02	7,93
	2	0,00	0,17	0,45	0,65	0,67	0,91	7,01
16.000	1	0,00	0,13	0,38	0,71	1,17	0,84	19,73
	2	0,00	0,13	0,35	0,65	1,08	0,75	19,73

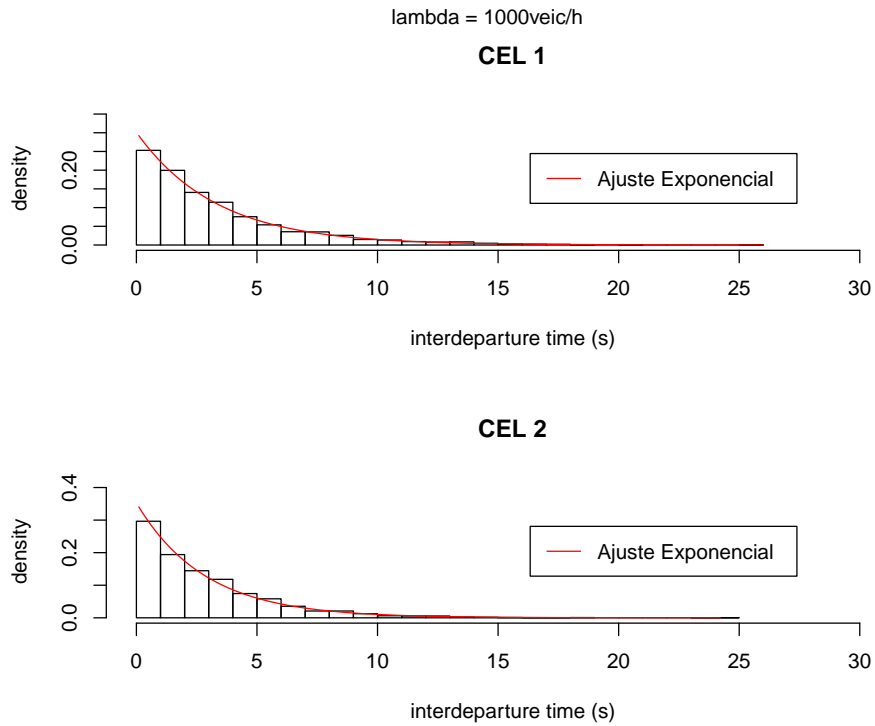


Figura 3.30: Tempo entre partidas na topologia mista IV para $\lambda = 1.000$

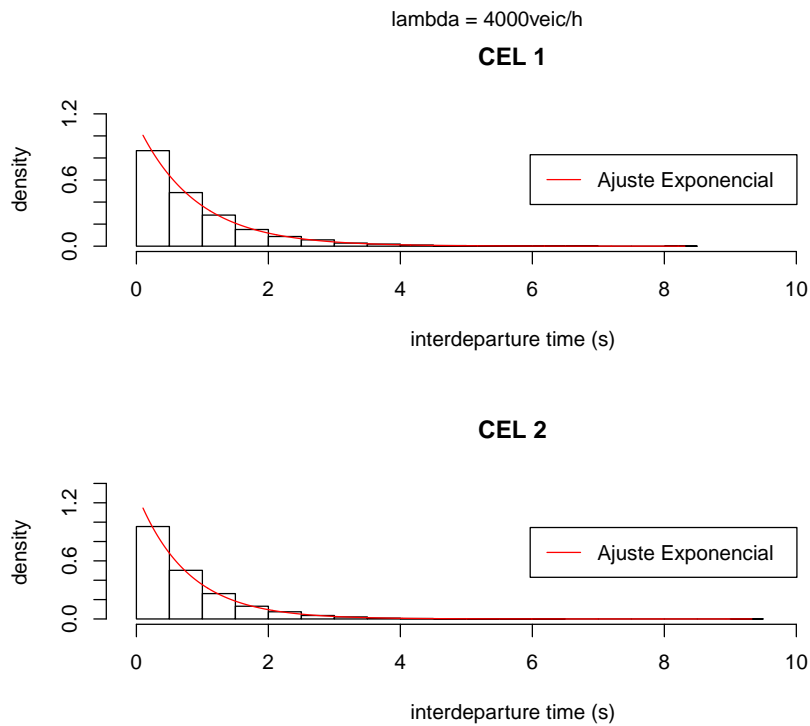


Figura 3.31: Tempo entre partidas na topologia mista IV para $\lambda = 4.000$

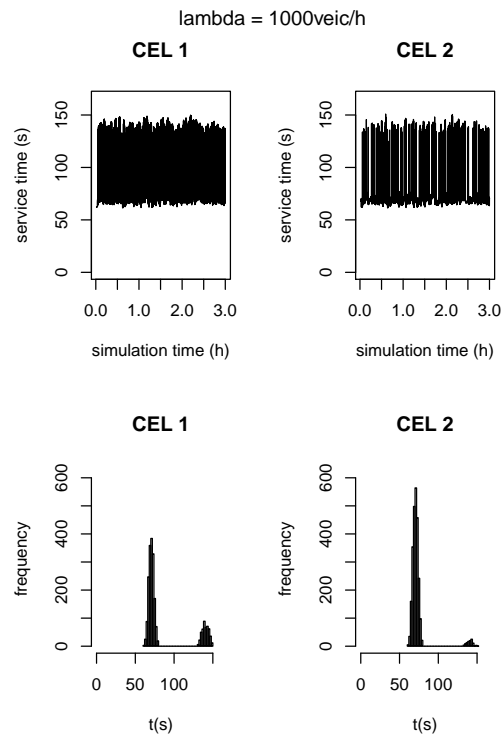


Figura 3.32: Tempos de serviço na topologia mista IV para $\lambda = 1.000$

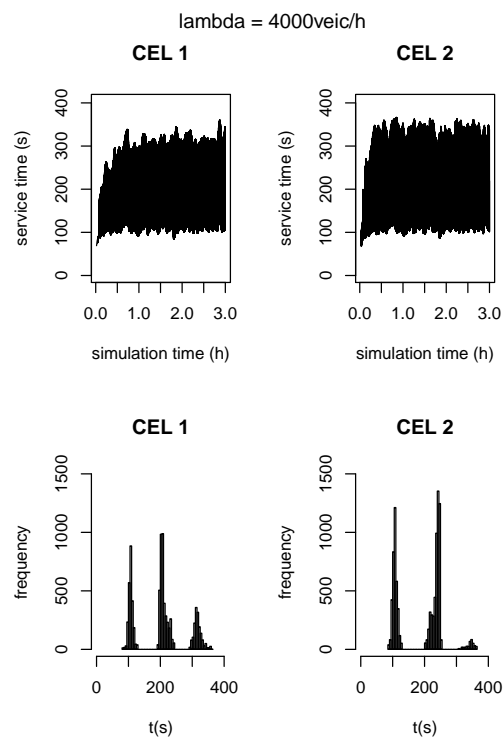


Figura 3.33: Tempos de serviço na topologia mista IV para $\lambda = 4.000$

CAPÍTULO 4

CONCLUSÕES E OBSERVAÇÕES FINAIS

Uma nova abordagem foi proposta para modelar a mobilidade em redes de telefonia celular, com base em filas finitas com serviços gerais dependentes do estado configuradas em redes. Anteriormente, tal modelo estocástico foi aplicado com êxito a problemas de tráfego de veículos e de pedestres, bem como na modelagem de sistema de manufatura. Basicamente, esta nova abordagem não usa nada de conceitualmente novo em relação ao que se tem na modelagem de tráfego de veículos, uma vez que apenas considera um efeito de redução da velocidade média (taxa de serviço), com o aumento da densidade de usuários no sistema. No entanto, não é de nosso conhecimento que tal conceito chave, fortemente intuitivo, tenha sido utilizado explicitamente na modelagem de usuários em redes de telefonia celular. Com o objetivo de enfatizar o impacto da inclusão da dependência do estado sobre os modelos de mobilidade, apresentamos um modelo de simulação a eventos discretos recém-desenvolvido e destacamos algumas das medidas de desempenho.

Dentre as principais conclusões obtidas a partir das simulações, podemos constatar que, contrariamente à crença de alguns pesquisadores, o processo de chegada às células *podem não aderir* a um processo markoviano, se o sistema estiver sob carga pesada (alta taxa de chegada), como acontece muitas vezes nas grandes cidades. Além disso, os estudos de simulação confirmaram que a variável *tempo de permanência nas células* muitas vezes não é nem aproximadamente exponencial. Além disso, podemos concluir que pode ser perigoso considerar qualquer outra distribuição de probabilidade, sem uma avaliação cuidadosa do estado de congestionamento da célula. Finalmente, em topologias complexas, podemos até mesmo encontrar distribuições de probabilidade multi-modal para a variável aleatória *tempo de permanência nas células*.

4.1 Tópicos para trabalhos futuros

Algumas perguntas foram respondidas por esta pesquisa, mas os resultados apresentados dão origem a muitas outras questões. Em primeiro lugar, não se sabe qual o tamanho máximo das instâncias tratáveis pelo modelo de simulação apresentado. Não esperamos que este tamanho seja muito grande, uma vez que simulações tendem a ser muito demoradas. Muito embora alguém possa argumentar que é possível lançar mão de técnicas de decomposição e agregação, como forma de aproximar sistemas mais complexos, seria realmente de grande utilidade o desenvolvimento de modelos analíticos *ad-hoc*. Estivemos interessados aqui apenas na influência dos modelos estocásticos dependentes do estado sobre uma única variável aleatória (*tempo de permanência nas células*). Na verdade, a proposta de utilização de modelos de filas finitas dependentes do estado na modelagem de redes de telefonia móvel é apenas o começo da história. Uma vez que isto tenha sido estabelecido, é importante considerar os efeitos, por exemplo, no tráfego de chamadas, no número de *handoffs* (transferências entre centrais), na duração das chamadas e no desempenho global do sistema, os quais são completamente desconhecidos. Talvez o primeiro passo, seria tentar modelar a ocupação da célula e relacionar este número com o tráfego de chamadas. Além disso, outra área interessante da pesquisa é a de alocação de capacidade. Resultados promissores foram relatados para modelos de redes de filas finitas em sistemas de manufatura (Cruz et al., 2008), nos quais uma capacidade mínima deveria ser definida de forma que fosse assegurada uma certa qualidade de serviço (descrita em termos de baixas probabilidades de bloqueio).

REFERÊNCIAS BIBLIOGRÁFICAS

- Akçelik, R. (1991), 'Travel time function for transport planning purposes: Davidson's function, its time dependent form and an alternative travel time function', *Australian Road Research* **21**(3), 49–59.
- Alencar, B. G. S. & Sadok, D. F. H. (1999), Um modelo de mobilidade de usuários para redes móveis, *in* 'Proceedings of 'I Workshop de Comunicação Sem Fio'', Belo Horizonte, MG, Brazil, pp. 57–66.
- Alfa, A. S. & Liu, B. (2004), 'Performance analysis of a mobile communication network: The tandem case', *Computer Communications* **27**(3), 208–221.
- Anatel (2009), 'Frota circulante brasileira', São Paulo, SP. Disponível em <<http://www.anatel.gov.br>>. Acesso em: 24 jul. 2010.
- Bureau of Public Roads (1964), Traffic assignment manual, Technical report, U.S. Department of Commerce.
- Cavalcanti, D. A. T., Dias, K. L. & Sadok, D. (2000), Estudo dos aspectos de QoS e mobilidade no planejamento de uma rede móvel celular, *in* 'Proceedings of 'I Workshop do Projeto SIDAM'', IME-USP, São Paulo, SP, Brazil, pp. 125–140.
- Ceylan, H. & Bell, M. G. H. (2005), 'Genetic algorithm solution for the stochastic equilibrium transportation networks under congestion', *Transportation Research Part B* **39**, 169–185.
- Cheah, J. & Smith, J. M. (1994), 'Generalized $M/G/C/C$ state dependent queueing models and pedestrian traffic flows', *Queueing Systems* **15**, 365–386.
- Cruz, F. R. B., Duarte, A. R. & van Woensel, T. (2008), 'Buffer allocation in general single-server queueing network', *Computers & Operations Research* **35**(11), 3581–3598.

- Cruz, F. R. B., Oliveira, P. C. & Duczmal, L. (2010), ‘State-dependent stochastic mobility model in mobile communication networks’, *Simulation Modelling Practice and Theory* **18**(3), 348–365.
- Cruz, F. R. B. & Smith, J. M. (2007), ‘Approximate analysis of $M/G/c/c$ state-dependent queueing networks’, *Computers & Operations Research* **34**(8), 2332–2344.
- Cruz, F. R. B., Smith, J. M. & Medeiros, R. O. (2005), ‘An $M/G/C/C$ state dependent network simulation model’, *Computers & Operations Research* **32**(4), 919–941.
- Cruz, F. R. B., van Woensel, T., Smith, J. M. & Lieckens, K. (2010), ‘On the system optimum of traffic assignment in $M/G/c/c$ state-dependent queueing networks’, *European Journal of Operational Research* **201**(1), 183–193.
- Drake, J. S., Schofer, J. L. & May, A. D. (1967), ‘A statistical analysis of speed density hypotheses’, *Highway Research Record* **154**, 53–87.
- Edie, L. C. (1961), ‘Car following and steady-state theory’, *Operations Research* **9**, 66–76.
- Evans, J. S. (1995), Traffic modelling of cellular mobile communications, Master’s thesis, University of Melbourne, Melbourne.
- Everitt, B. S. & Hand, D. J. (1981), *Finite mixture distributions*, London: Chapman and Hall.
- García-Ródenas, R., López-García, M. L., Niño-Arbelaiz, A. & Verastegui-Rayó, D. (2006), ‘A continuous whole-link travel time model with occupancy constraint’, *European Journal of Operational Research* **175**(3), 1455–1471.
- Ghatee, M. & Hashemi, S. M. (2009), ‘Traffic assignment model with fuzzy level of travel demand: An efficient algorithm based on quasi-Logit formulas’, *European Journal of Operational Research* **194**(2), 432–451.
- Greenshields, B. D. (1935), ‘A study of traffic capacity’, *Highway Research Board Proceedings* **14**, 448–477.
- Han, K. (2002), ‘Simulation studies of the effects of user mobility on the handoff performance of mobility communications’, *Simulation Modelling Practice & Theory* **10**, 497–512.

- Hegde, N. & Sohraby, K. (2002), ‘On the impact of soft handoff in cellular systems’, *Computer Networks* **38**(2), 257–271.
- Helbing, D., Schönhof, M., Stark, H.-U. & Holyst, J. A. (2005), ‘How individuals learn to take turns: Emergence of alternating cooperation in a congestion game and the prisoner’s dilemma’, *Advances in Complex Systems* **8**(1), 87–116.
- Hong, D. & Rappaport, S. S. (1986), ‘Traffic model and performance analysis for cellular mobil radio telephone systems with prioritized and nonprioritized handoff procedures’, *IEEE Transactions on Vehicular Technology* **VT-35**(3), 77–92.
- IBGE (2007), ‘Contagem da população’, Rio de Janeiro, RJ. Disponível em <<http://www.ibge.gov.br>>. Acesso em: 29 jul. 2010.
- Jain, R. & Smith, J. M. (1997), ‘Modeling vehicular traffic flow using $M/G/C/C$ state queueing models’, *Transportation Science* **31**(4), 324–336.
- Kendall, D. G. (1953), ‘Stochastic processes occurring in the theory of queues and their analysis by the method of imbedded Markov chains’, *Annals Mathematical Statistics* **24**, 338–354.
- Kimber, R. M. & Hollis, E. M. (1979), Traffic queues and delays at road junctions, Technical Report Laboratory Report 909, Transport and Road Research Laboratory, Crowthorne, UK.
- Lam, D., Cox, D. C. & Widom, J. (1997), ‘Teletraffic modeling for personal communications services’, *IEEE Communications Magazine* **35**(2), 79–87.
- Lam, D., Jannink, J., Cox, D. C. & Widom, J. (1996), Modeling location management in personal communications services, in ‘Proceedings of ‘IEEE Internacional Conference on Universal Personal Communications’’, Vol. 2, Cambridge, MA, pp. 596–601.
- Manner, J., Toledo, A. L., Mihailovic, A., Muñoz, H. L. V., Hepworth, E. & Khouaja, Y. (2002), ‘Evaluation of mobility and quality of service interaction’, *Computer Networks* **38**(2), 137–163.
- Markoulidakis, J. G., Lyberopoulos, G. L. & Anagnostou, M. E. (1998), ‘Traffic model for third generation cellular mobile telecommunications systems’, *Wireless Networks* **4**, 389–400.

- Markoulidakis, J. G., Lyberopoulos, G. L., Tsirkas, D. F. & Sykas, E. D. (1997), 'Mobility modeling in third-generation mobile telecommunications systems', *IEEE Personal Communications* **4**(4), 41–56.
- McMillan, D. W. (1993), Traffic Modelling and Analysis for Cellular Mobile Networks, Ph.D. thesis, University of Melbourne, Melbourne, Australia.
- Nanda, S. (1993), 'Teletraffic models for urban and suburban microcells: Cell sizes and handoff rates', *IEEE Transactions on Vehicular Technology* **42**(2), 673–682.
- Oliveira, P. C. (2005), Modelos de mobilidade estocásticos dependentes do estado em redes de telefonia móvel, Dissertação de mestrado, Departamento de Ciência da Computação - ICEX - UFMG, Belo Horizonte - MG.
- Prashker, J. N. & Bekhor, S. (2000), 'Some observations on stochastic user equilibrium and system optimum of traffic assignment', *Transportation Research Part B* **34**, 277–291.
- Pursals, S. C. & Garzón, F. G. (2009), 'Optimal building evacuation time considering evacuation routes', *European Journal of Operational Research* **192**(2), 692–699.
- Robinson, S. (2007), 'A statistical process control approach to selecting a warm-up period for a discrete-event simulation', *European Journal of Operational Research* **176**(1), 332–346.
- Silva, S. L., Rocha, M. N. & Mateus, G. R. (2002), 'Simulation and analysis of a new mobility model for mobile communication networks', *Annals of Operation Research* **116**, 57–69.
- Sindipecas (2009), 'Frota circulante brasileira', São Paulo, SP. Disponível em <<http://www.sindipecas.org.br>>. Acesso em: 24 jul. 2010.
- Tomas, R., Gilbert, H. & Mazziotto, G. (1988), Influence of the moving of the mobile stations on the performance of a radio mobile cellular network, in 'Proceedings of 3rd Nordic Seminar on Digital Land Mobile Radio Communication', artigo n. 9.4, Copenhagen, Denmark.

- Transportation Research Board (2000), Highway capacity manual, Technical report, National Research Council.
- Underwood, R. T. (1961), ‘Speed, volume, and density relationships: Quality and theory of traffic flow’, *Yale Bureau of Highway Traffic* pp. 141–188.
- van Woensel, T. & Cruz, F. R. B. (2009), ‘A stochastic approach to traffic congestion costs’, *Computers & Operations Research* **36**(6), 1731–1739.
- van Woensel, T. & Vandaele, N. (2007), ‘Modelling traffic flows with queueing models: A review’, *Asia-Pacific Journal of Operational Research* **24**(4), 435–461.
- van Woensel, T., Wuyts, B. & Vandaele, N. (2006), ‘Validating state-dependent queueing models for uninterrupted traffic flows using simulation’, *JOR* **4**(2), 159–174.
- Yuhaski, S. J. & Smith, J. M. (1989), ‘Modeling circulation systems in buildings using state dependent models’, *Queueing Systems* **4**, 319–338.
- Zonoozi, M. M. & Dassanayake, P. (1997), ‘User mobility modeling and characterization of mobility patterns’, *IEEE Journal on Selected Areas in Communications* **15**(7), 1239–1252.

APÊNDICE A

CÓDIGOS EM C++

Código A.1: Mgcc.c

```
1 //
2 // Purpose:
3 //   to implement programs concerning MGCC queues
4 //
5 // Authors:
6 //   Paula de Campos Oliveira
7 //   Frederico R. B. Cruz
8 //   Departamento de Estatística
9 //   Universidade Federal de Minas Gerais
10 //   Brazil
11 //   E-mail: pcampol@yahoo.com.br, fcruz@est.ufmg.br
12 //
13 //
14 // Version: 5.0
15 //
16 // Date: Jul/2010
17 //
18 #include <stdlib.h>
19 #include <stdio.h>
20 #include "mgccsim.cpp"
21 int main(int argc, char *argv[]) {
22     // check input
23     if (argc < 2) {
24         fprintf(stderr, "Usage: %s <operation> [script_file]\n", argv[0]);
25         fprintf(stderr, "\t operation 1 -> plots a linear service rate\n");
26         fprintf(stderr, "\t operation 2 -> plots an exponential service rate\n");
27         fprintf(stderr, "\t operation 3 -> simulates an MGcc system\n");
28         exit(0);
29     }
30     // perform actions
31     // plot linear service rate
32     if (argv[1][0]=='1') {
33         CMLinUsr ModelLin;
34         double length = 8.0; // corridor length
35         double width = 2.5; // corridor width
36         ModelLin.SetCorridor(length,width);
37         for (int i=1; i <= 100; i++) {
38             fprintf(stdout, "%d %f\n", i, ModelLin.Rate(i));
39         }
40     }
41     // plot exponential service rate
42     else if (argv[1][0]=='2') {
43         CMLinUsr ModelExp;
44         double length = 8.0; // corridor length
45         double width = 2.5; // corridor width
46         ModelExp.SetCorridor(length,width);
47         for (int i=1; i <= 100; i++) {
48             fprintf(stdout, "%d %f\n", i, ModelExp.Rate(i));
49         }
50     }
51     // simulate system
52     else if (argv[1][0]=='3') {
53         if (argc < 3) {
54             fprintf(stderr, "Usage: %s %s <script_file>\n", argv[0], argv[1]);
55             exit(0);
56         }
57         int aux = 0;
58         while ((argv[2][aux]!='\n')&&(argv[2][aux]!='\0')) aux++;
59         argv[2][aux] = '\0';
60         FILE *inputFile = fopen(argv[2], "r");
61         if (inputFile == NULL) {
62             fprintf(stderr, "%s: No such file\n", argv[2]);
63             exit(0);
64         }
65         MgccSimul myMgcccSimulator;
66         // simulation time & number of replications
67         // float warmupTime = 2000.0;
68         // float simTime = 1000.0 + warmupTime;
69         float warmupTime = 1.0;
70         float simTime = 2.0 + warmupTime;
71         int i, j, k;
72         int ics = 1;
73         int repl = 1;
74         Stats *pC, *theta, *Eq, *ETs;
75         // Stats *pC2;
76         rewind(inputFile);
77         myMgcccSimulator.ReadData(inputFile);
78         myMgcccSimulator.ShowNet();
```

```

79     fprintf(stdout, "Warm-up time\t%f\n", warmupTime);
80     fprintf(stdout, "Simulation time\t%f\n", simTime);
81     fprintf(stdout, "Replications\t%d\n", repl);
82     fprintf(stdout, "Monte Carlo replics\t%d\n", ics);
83     pC = new Stats [myMgccSimulator.GetNodes()];
84     theta = new Stats [myMgccSimulator.GetNodes()];
85     Eq = new Stats [myMgccSimulator.GetNodes()];
86     ETs = new Stats [myMgccSimulator.GetNodes()];
87     // pC2 = new Stats [myMgccSimulator.GetNodes()];
88     // fprintf(stdout, "IC\tRrepl\tNode\tpC\ttheta\tEq\tETs\n");
89     StartCronograph();
90     for (k=0; k<ics; k++) {
91         for (i=0; i<repl; i++) {
92             myMgccSimulator.ProcessSimul(warmupTime, simTime);
93             for (j=0; j<myMgccSimulator.GetNodes(); j++) {
94                 pC[j].Enter(myMgccSimulator.GetPC(j));
95                 theta[j].Enter(myMgccSimulator.GetTheta(j));
96                 Eq[j].Enter(myMgccSimulator.GetQ(j));
97                 ETs[j].Enter(myMgccSimulator.GetTs(j));
98                 // pC2[j].Enter(myMgccSimulator.GetPC2(j));
99                 // fprintf(stdout, "%d\t%d\t%d\t%f\t%f\t%f\t%f\n", k+1, i+1, j+1,
100                 // myMgccSimulator.GetPC(j),
101                 // myMgccSimulator.GetTheta(j),
102                 // myMgccSimulator.GetQ(j),
103                 // myMgccSimulator.GetTs(j));
104             }
105             // myMgccSimulator.PrintResults();
106         }
107     }
108 #ifndef MGCCSIM_INTERDEP
109 #ifndef MGCCSIM_CELULAR
110     ElapsedTime();
111     fprintf(stdout, "Final Statistics:\n");
112     const int LLENGTH = 256;
113     char Line[LLENGTH];
114     fgets(Line, LLENGTH, inputFile);
115     while (fscanf(inputFile, "%d/n", &i) == 1) {
116         /*
117         fprintf(stdout, "Node (normal CI's)\t%d\n", i);
118         fprintf(stdout, "\tp(C)\t%f\t%f\t%f\n",
119             pC[i-1].Mean(),
120             pC[i-1].Mean()-1.96*pC[i-1].Std()/sqrt(repl),
121             pC[i-1].Mean()+1.96*pC[i-1].Std()/sqrt(repl));
122         fprintf(stdout, "\ttheta\t%f\t%f\t%f\n",
123             theta[i-1].Mean(),
124             theta[i-1].Mean()-1.96*theta[i-1].Std()/sqrt(repl),
125             theta[i-1].Mean()+1.96*theta[i-1].Std()/sqrt(repl));
126         fprintf(stdout, "\tE(q)\t%f\t%f\t%f\n",
127             Eq[i-1].Mean(),
128             Eq[i-1].Mean()-1.96*Eq[i-1].Std()/sqrt(repl),
129             Eq[i-1].Mean()+1.96*Eq[i-1].Std()/sqrt(repl));
130         fprintf(stdout, "\tE(ts)\t%f\t%f\t%f\n",
131             ETs[i-1].Mean(),
132             ETs[i-1].Mean()-1.96*ETs[i-1].Std()/sqrt(repl),
133             ETs[i-1].Mean()+1.96*ETs[i-1].Std()/sqrt(repl));
134         // fprintf(stdout, "\tp(C)\t%f\t%f\t%f\n",
135         // pC2[i-1].Mean(),
136         // pC2[i-1].Mean()-1.96*pC2[i-1].Std()/sqrt(repl),
137         // pC2[i-1].Mean()+1.96*pC2[i-1].Std()/sqrt(repl));
138         */
139         fprintf(stdout, "Node (percent CI's)\t%d\n", i);
140         fprintf(stdout, "\tp(C)\t%f\t%f\t%f\n",
141             pC[i-1].Mean(),
142             pC[i-1].Quantile(0.025),
143             pC[i-1].Quantile(0.975));
144         fprintf(stdout, "\ttheta\t%f\t%f\t%f\n",
145             theta[i-1].Mean(),
146             theta[i-1].Quantile(0.025),
147             theta[i-1].Quantile(0.975));
148         fprintf(stdout, "\tE(q)\t%f\t%f\t%f\n",
149             Eq[i-1].Mean(),
150             Eq[i-1].Quantile(0.025),
151             Eq[i-1].Quantile(0.975));
152         fprintf(stdout, "\tE(ts)\t%f\t%f\t%f\n",
153             ETs[i-1].Mean(),
154             ETs[i-1].Quantile(0.025),
155             ETs[i-1].Quantile(0.975));
156         // fprintf(stdout, "\tp(C)\t%f\t%f\t%f\n",
157         // pC2[i-1].Mean(),
158         // pC2[i-1].Quantile(0.025),
159         // pC2[i-1].Quantile(0.975));
160     }
161 #endif
162 #endif
163     fclose(inputFile);
164     delete[] pC;
165     delete[] theta;
166     delete[] Eq;
167     delete[] ETs;
168     // delete[] pC2;
169 }
170 // don't know what else to do
171 else {
172     fprintf(stderr, "Operation %s unknow\n", argv[1]);
173 }
174 return 0;
175 }

```

Código A.2: Mgccsim.c

```

1 //
2 // Given:
3 //   - velocity congestion model and
4 //   - input lambda,
5 // this library determines, by simulation, the performance measures:
6 //   - blocking probability,
7 //   - throughput rate,
8 //   - number of customers in the sistem (WIP),
9 //   - waiting time.
10 //
11 // Authors:
12 //   Paula de Campos Oliveira
13 //   Frederico R. B. Cruz
14 //   Departamento de Estatística
15 //   Universidade Federal de Minas Gerais
16 //   Brazil
17 //   E-mail: pcampol@yahoo.com.br, fcruz@est.ufmg.br
18 //
19 //
20 // Version:
21 //   5.0
22 //
23 // Date:
24 //   Jul/2010
25 //
26 #ifndef MGCCSIM_CPP
27 #define MGCCSIM_CPP
28 //
29 #include <stdio.h>
30 #include <math.h>
31 #include "cmusr.cpp"
32 #include "randx.c"
33 //
34 //*****
35 // introduced by Cruz & Araujo (2004)
36 //*****
37 // #define or #undef below for interdeparture studies
38 // #define MGCCSIM_INTERDEP
39 #undef MGCCSIM_INTERDEP
40 //*****
41 // end of introduced by Cruz & Araujo (2004)
42 //*****
43 //*****
44 // introduced by Cruz & Oliveira (2004)
45 //*****
46 // #define or #undef below for modeling of mobile systems
47 #define MGCCSIM_CELULAR
48 #undef MGCCSIM_CELULAR
49 //*****
50 // end of introduced by Cruz & Oliveira (2004)
51 //*****
52 //
53 // these are general settings
54 //
55 #define MGCCSIM_IN_FILE stdin // input file
56 #define MGCCSIM_OUT_FILE stdout // output file
57 #define MGCCSIM_ERR_FILE stderr // error file
58 #define MGCCSIM_EPSILON 1E-06 // precision
59 //
60 // events
61 //
62 #define MGCCSIM_ARRIVAL 0 // arrival event
63 #define MGCCSIM_DEPARTURE 1 // departure event
64 #define MGCCSIM_WARMUP 2 // end of warm-up period
65 #define MGCCSIM_END 3 // end of simulation event
66 #define MGCCSIM_UNK -1 // unknown event
67 #define MGCCSIM_NO 0 // boolean value no
68 #define MGCCSIM_YES 1 // boolean value yes
69 //
70 // entity (pedestrian) definition
71 //
72 class MgccEntity {
73 protected:
74 public:
75     static int last;
76     int id; // entity identification
77     float sistArrival; // system arrival time
78     float queueArrival; // queue arrival time
79 #ifndef MGCCSIM_CELULAR
80     float cellArrival; // cell arrival time
81 #endif
82     float timeLastChange; // time when occurred last change in Vn
83     float lastPosition; // last position since last change in Vn
84     int blocked; // is entity currently blocked?
85     float timeBlocked; // time when blocked
86     int blockedAgain; // is it blocked again?
87     MgccEntity(void);
88     MgccEntity(MgccEntity &myEnt);
89     ~MgccEntity(void);
90     MgccEntity &operator = (MgccEntity &myEnt);
91     void Print(void);
92 };
93 int MgccEntity::last=0;
94 //
95 // event definition
96 //
97 class MgccEvent {
98 protected:

```

```

99 public:
100 int whichQueue; // where it occurs
101 float occurTime; // time of occurrence
102 int type; // type of event (arrival, departure or final)
103 MgccEntity *myMgccEntity; // entity
104 MgccEvent( void );
105 MgccEvent( const MgccEvent &myEvent );
106 ~MgccEvent( void );
107 MgccEvent &operator = ( const MgccEvent &myEvent );
108 int operator < ( const MgccEvent &myEvent );
109 int operator ≤ ( const MgccEvent &myEvent );
110 void Print( void );
111 };
112 //
113 // mgccEventQueue node type
114 //
115 typedef struct EQNode {
116     MgccEvent *Node;
117     struct EQNode *Next;
118 } EQNodeType;
119 //
120 // list of events
121 //
122 class MgccEventQueue {
123 protected:
124     EQNodeType *head;
125     EQNodeType *tail;
126     EQNodeType *Current;
127 public:
128     MgccEventQueue( void );
129     ~MgccEventQueue( void );
130     int Reset( void );
131     int Insert( const MgccEvent &myEvent ); // insert event in list
132     MgccEvent *GetEarliest( void ); // get earliest event from list
133     MgccEvent *GetFirst( void ); // get first event from list
134     MgccEvent *GetNext( void ); // get next event from list
135     MgccEvent *ShowFirst( void ); // show first event from list
136     MgccEvent *ShowNext( void ); // show next from list
137     int ReSort( void ); // sort list
138     void Print( void ); // print all event list
139 };
140 //
141 // resource (corridors) settings
142 //
143 class MgccResource {
144 private:
145     int sumBloc; // total number of blocked customers
146     int sumArr; // total number of arrivals
147     int sumDep; // total number of departures
148     double sumTime; // total time in queue
149     int users; // current number of users
150 protected:
151     double lambda; // external input
152 public:
153     CMGen *service; // velocity congestion model
154     int sumBloc2; // total number of twice-blocked customers
155     MgccResource( void );
156     ~MgccResource( void );
157     void SetService( CMGen *theServ ) { service=theServ; }
158     void SetExtLambda( double theLambda ) { lambda=theLambda; }
159     void ResetSum( void );
160     void Reset( void );
161     void AddBlocked( void ) { sumBloc++; }
162     void AddBlocked2( void ) { sumBloc2++; }
163     void AddArrival( void ) { sumArr++; }
164     void AddDepart( void ) { sumDep++; }
165     void AddTime( float time ) { sumTime+=time; }
166     void AddUser( void ) { users++; }
167     void DelUser( void ) { users--; }
168     int GetC( void ) { return service->GetC(); }
169     double GetEts1( void ) { return service->GetEts1(); }
170     double GetLambda( void ) { return lambda; }
171     double GetPC( void ) { return (double)sumBloc/(sumBloc+sumDep); }
172     double GetPC2( void ) { return (double)sumBloc2/(sumBloc2+sumDep); }
173     double GetDepart( void ) { return (double)sumDep; }
174     double GetTs( void ) { return sumTime/sumDep; }
175     int GetUsers( void ) { return users; }
176     void Print( void );
177 };
178 //
179 // queue simulation
180 //
181 class MgccSimul {
182 private:
183     static int seed1;
184     static int seed2;
185     static int cont;
186     int nOfNodes;
187     MgccResource *myMgccResource;
188     MgccEventQueue myMgccEventQueue;
189     float **arcs;
190     float warmupTime;
191     float totalTime;
192 #ifndef MGCCSIM_INTERDEP
193     static int MGCCSIM_INTERDEP_FIRST;
194 #endif
195 #ifndef MGCCSIM_CELULAR
196     static int MGCCSIM_CELULAR_FIRST;
197     static int first;

```

```

198     int **cels;
199 #endif
200 public:
201     MgccSimul(void);           // default constructor
202     ~MgccSimul(void);        // destructor
203     int ReadData(FILE *inputFile); // read data
204     int ShowNet(void);
205     int GetNodes(void) {return nOfNodes;}
206     double GetPC(int i) {return myMgccResource[i].GetPC();}
207     double GetPC2(int i) {return myMgccResource[i].GetPC2();}
208     double GetTheta(int i) {return myMgccResource[i].GetDepart()/(totalTime-warmupTime);}
209     double GetQ(int i) {return GetTheta(i)*GetTs(i);}
210     double GetTs(int i) {return myMgccResource[i].GetTs();}
211     int PrintResults(void);
212     int ProcessSimul(float warmup, float finalTime);
213     int ProcessEvent(MgccEvent *myEvent);
214     int ProcessArrival(MgccEvent *myArr);
215     int ProcessDepart(MgccEvent *myDep);
216     int DelayST(int queue, double now);
217     int AdvanceST(int queue, double now);
218 };
219 int MgccSimul::seed1 = 13579;
220 int MgccSimul::seed2 = 24680;
221 int MgccSimul::cont = 0;
222 #ifdef MGCCSIM_INTERDEP
223     int MgccSimul::MGCCSIM_INTERDEP_FIRST = 1;
224 #endif
225 #ifdef MGCCSIM_CELULAR
226     int MgccSimul::MGCCSIM_CELULAR_FIRST = 1;
227 #endif
228 //
229 // implementation
230 //
231 MgccEntity::MgccEntity(void):
232     id(last++),
233     sistArrival(0.0),
234     queueArrival(0.0),
235 #ifdef MGCCSIM_CELULAR
236     cellArrival(0.0),
237 #endif
238     timeLastChange(0.0),
239     lastPosition(0.0),
240     blocked(MGCCSIM_NO),
241     timeBlocked(-1.0),
242     blockedAgain(MGCCSIM_NO) {
243 #if MGCCSIM_DEBUG
244     // fprintf(MGCCSIM_OUT_FILE, "MgccEntity::MgccEntity():\n");
245 #endif
246 }
247 MgccEntity::MgccEntity(MgccEntity &myEnt) {
248 #if MGCCSIM_DEBUG
249     // fprintf(MGCCSIM_OUT_FILE, "MgccEntity::MgccEntity(MgccEntity):\n");
250 #endif
251     id=myEnt.id;
252     sistArrival=myEnt.sistArrival;
253     queueArrival=myEnt.queueArrival;
254 #ifdef MGCCSIM_CELULAR
255     cellArrival=myEnt.cellArrival;
256 #endif
257     timeLastChange=myEnt.timeLastChange;
258     lastPosition=myEnt.lastPosition;
259     blocked=myEnt.blocked;
260     timeBlocked=myEnt.timeBlocked;
261     blockedAgain=myEnt.blockedAgain;
262 }
263 MgccEntity::~MgccEntity(void) {
264 #if MGCCSIM_DEBUG
265     // fprintf(MGCCSIM_OUT_FILE, "MgccEntity::~MgccEntity():\n");
266 #endif
267 }
268 MgccEntity &MgccEntity::operator = (MgccEntity &myEnt) {
269     id=myEnt.id;
270     sistArrival=myEnt.sistArrival;
271     queueArrival=myEnt.queueArrival;
272 #ifdef MGCCSIM_CELULAR
273     cellArrival=myEnt.cellArrival;
274 #endif
275     timeLastChange=myEnt.timeLastChange;
276     lastPosition=myEnt.lastPosition;
277     blocked=myEnt.blocked;
278     timeBlocked=myEnt.timeBlocked;
279     blockedAgain=myEnt.blockedAgain;
280     return *this;
281 }
282 void MgccEntity::Print(void) {
283     fprintf(MGCCSIM_OUT_FILE, "MgccEntity::Print():\n");
284     fprintf(MGCCSIM_OUT_FILE, "\tid\t%d\n", id+1);
285     fprintf(MGCCSIM_OUT_FILE, "\tsistArrival\t%f\n", sistArrival);
286     fprintf(MGCCSIM_OUT_FILE, "\tqueueArrival\t%f\n", queueArrival);
287 #ifdef MGCCSIM_CELULAR
288     fprintf(MGCCSIM_OUT_FILE, "\tcellArrival\t%f\n", cellArrival);
289 #endif
290     fprintf(MGCCSIM_OUT_FILE, "\ttimeLastChange\t%f\n", timeLastChange);
291     fprintf(MGCCSIM_OUT_FILE, "\tlastPosition\t%f\n", lastPosition);
292     fprintf(MGCCSIM_OUT_FILE, "\tblocked\t%d\n", blocked);
293     fprintf(MGCCSIM_OUT_FILE, "\ttimeBlocked\t%f\n", timeBlocked);
294     fprintf(MGCCSIM_OUT_FILE, "\tblockedAgain\t%d\n", blockedAgain);
295 }
296 MgccEvent::MgccEvent(void):

```



```

297     whichQueue(0),
298     occurTime(0),
299     type(MGCCSIM_UNK),
300     myMgccEntity(NULL) {
301 #if MGCCSIM_DEBUG
302     // fprintf(MGCCSIM_OUT_FILE, "MgccEvent::MgccEvent():\n");
303 #endif
304 }
305 MgccEvent::~MgccEvent(void) {
306 #if MGCCSIM_DEBUG
307     // fprintf(MGCCSIM_OUT_FILE, "MgccEvent::~MgccEvent():\n");
308 #endif
309 }
310 MgccEvent::MgccEvent(const MgccEvent &myEvent) {
311 #if MGCCSIM_DEBUG
312     // fprintf(MGCCSIM_OUT_FILE, "MgccEvent::MgccEvent(MgccEvent):\n");
313 #endif
314     whichQueue=myEvent.whichQueue;
315     occurTime=myEvent.occurTime;
316     type=myEvent.type;
317     myMgccEntity=myEvent.myMgccEntity;
318 }
319 MgccEvent &MgccEvent::operator = (const MgccEvent &myEvent) {
320 #if MGCCSIM_DEBUG
321     // fprintf(MGCCSIM_OUT_FILE, "MgccEvent::operator = (MgccEvent):\n");
322 #endif
323     whichQueue=myEvent.whichQueue;
324     occurTime=myEvent.occurTime;
325     type=myEvent.type;
326     myMgccEntity=myEvent.myMgccEntity;
327     return *this;
328 }
329 int MgccEvent::operator < (const MgccEvent &myEvent) {
330 #if MGCCSIM_DEBUG
331     // fprintf(MGCCSIM_OUT_FILE, "MgccEvent::operator < (MgccEvent):\n");
332 #endif
333     if (occurTime < myEvent.occurTime) {
334         return (1);
335     } else if (occurTime == myEvent.occurTime) {
336         // return (myMgccEntity->id < myEvent.myMgccEntity->id);
337     }
338     return (0);
339 }
340 int MgccEvent::operator ≤ (const MgccEvent &myEvent) {
341 #if MGCCSIM_DEBUG
342     // fprintf(MGCCSIM_OUT_FILE, "MgccEvent::operator ≤ (MgccEvent):\n");
343 #endif
344     if (occurTime < myEvent.occurTime) {
345         return (1);
346     } else if (occurTime == myEvent.occurTime) {
347         return (myMgccEntity->id ≤ myEvent.myMgccEntity->id);
348     }
349     return (0);
350 }
351 void MgccEvent::Print(void) {
352     fprintf(MGCCSIM_OUT_FILE, "MgccEvent::Print():\n");
353     fprintf(MGCCSIM_OUT_FILE, "\twhichQueue\t%d\n", whichQueue);
354     fprintf(MGCCSIM_OUT_FILE, "\toccureTime\t%f\n", occurTime);
355     if (type==MGCCSIM_ARRIVAL)
356         fprintf(MGCCSIM_OUT_FILE, "\ttype\tMGCCSIM_ARRIVAL\n");
357     else if (type==MGCCSIM_DEPARTURE)
358         fprintf(MGCCSIM_OUT_FILE, "\ttype\tMGCCSIM_DEPARTURE\n");
359     else if (type==MGCCSIM_WARMUP)
360         fprintf(MGCCSIM_OUT_FILE, "\ttype\tMGCCSIM_WARMUP\n");
361     else if (type==MGCCSIM_END)
362         fprintf(MGCCSIM_OUT_FILE, "\ttype\tMGCCSIM_END\n");
363     else
364         fprintf(MGCCSIM_OUT_FILE, "\ttype\tUNKNOWN\n");
365     myMgccEntity->Print();
366 }
367 MgccEventQueue::MgccEventQueue(void) {
368 #if MGCCSIM_DEBUG
369     fprintf(MGCCSIM_OUT_FILE, "MgccEventQueue::MgccEventQueue():\n");
370 #endif
371     head = new EQNodeType;
372     head->Node=NULL;
373     head->Next=NULL;
374     tail = head;
375     Current = head->Next;
376 }
377 MgccEventQueue::~MgccEventQueue(void) {
378 #if MGCCSIM_DEBUG
379     fprintf(MGCCSIM_OUT_FILE, "MgccEventQueue::~MgccEventQueue():\n");
380 #endif
381     EQNodeType *Aux1, *Aux2;
382     Aux1 = head->Next;
383     while (Aux1 != NULL) {
384         Aux2 = Aux1;
385         Aux1 = Aux1->Next;
386 #if MGCCSIM_DEBUG
387         fprintf(MGCCSIM_OUT_FILE, "&(Aux2->Node)\t%p\n", Aux2->Node);
388 #endif
389         delete Aux2->Node;
390 #if MGCCSIM_DEBUG
391         fprintf(MGCCSIM_OUT_FILE, "&(Aux2)\t%p\n", Aux2);
392 #endif
393         delete Aux2;
394     }
395 #if MGCCSIM_DEBUG

```

```

396     fprintf(MGCCSIM_OUT_FILE, "%(Head)\t%p\n", head);
397 #endif
398     delete head;
399 }
400 int MgccEventQueue::Reset(void) {
401 #if MGCCSIM_DEBUG
402     fprintf(MGCCSIM_OUT_FILE, "MgccEventQueue::Reset():\n");
403 #endif
404     EQNodeType *Aux1, *Aux2;
405     Aux1 = head->Next;
406     while (Aux1 != NULL) {
407         Aux2 = Aux1;
408         Aux1 = Aux1->Next;
409 #if MGCCSIM_DEBUG
410         fprintf(MGCCSIM_OUT_FILE, "%(Aux2->Node)\t%p\n", Aux2->Node);
411 #endif
412         delete Aux2->Node;
413 #if MGCCSIM_DEBUG
414         fprintf(MGCCSIM_OUT_FILE, "%(Aux2)\t%p\n", Aux2);
415 #endif
416         delete Aux2;
417     }
418     delete head;
419     head = new EQNodeType;
420     head->Node=NULL;
421     head->Next=NULL;
422     tail = head;
423     Current = head->Next;
424     return 0;
425 }
426 int MgccEventQueue::Insert(const MgccEvent &myEvent) {
427 #if MGCCSIM_DEBUG
428     // fprintf(MGCCSIM_OUT_FILE, "MgccEventQueue::Insert(MgccEvent)\n");
429 #endif
430     // fprintf(MGCCSIM_OUT_FILE, "MgccEventQueue::Insert: before\n");
431     // Print();
432     EQNodeType *Aux;
433     Aux = Queue;
434     // find position
435     while ( (Aux->Next != NULL) && *(Aux->Next->Node) < myEvent ) {
436         Aux=Aux->Next;
437     }
438     // insert
439     tail->Next = new EQNodeType;
440     if (tail->Next==NULL) {
441         fprintf(MGCCSIM_OUT_FILE, "MgccEventQueue::Insert: Error, no memory\n");
442         exit(1);
443     }
444     tail->Next->Node = new MgccEvent(myEvent);
445     tail->Next->Next = NULL;
446     tail = tail->Next;
447     // fprintf(MGCCSIM_OUT_FILE, "MgccEventQueue::Insert: after\n");
448     // Print();
449     return 0;
450 }
451 MgccEvent *MgccEventQueue::GetEarliest(void) {
452 #if MGCCSIM_DEBUG
453     fprintf(MGCCSIM_OUT_FILE, "MgccEventQueue::GetEarliest():\n");
454 #endif
455     EQNodeType *eqNode, *earliest;
456     MgccEvent *earliestEvent;
457     eqNode = head;
458     earliest = head;
459     if (earliest->Next==NULL) {
460         fprintf(MGCCSIM_ERR_FILE,
461             "MgccEventQueue::GetEarliest: Error, empty queue\n");
462         exit(1);
463     }
464     // find earliest
465     earliestEvent = earliest->Next->Node;
466     while (eqNode->Next!=NULL) {
467         if ( (*eqNode->Next->Node) < (*earliestEvent) ) {
468             earliestEvent = eqNode->Next->Node;
469             earliest = eqNode;
470             // fprintf(MGCCSIM_OUT_FILE, "MgccEventQueue::GetEarliest: found\n");
471             // earliestEvent->Print();
472         }
473         eqNode = eqNode->Next;
474     }
475     // delete it from list and update tail
476     eqNode = earliest->Next;
477     if (eqNode==tail) {
478         tail = earliest;
479     }
480     earliest->Next = earliest->Next->Next;
481     delete eqNode;
482     return(earliestEvent);
483 }
484 MgccEvent *MgccEventQueue::GetFirst(void) {
485 #if MGCCSIM_DEBUG
486     // fprintf(MGCCSIM_OUT_FILE, "MgccEventQueue::GetFirst():\n");
487 #endif
488     return(GetNext());
489 }
490 MgccEvent *MgccEventQueue::GetNext(void) {
491 #if MGCCSIM_DEBUG
492     // fprintf(MGCCSIM_OUT_FILE, "MgccEventQueue::GetNext():\n");
493 #endif
494     EQNodeType *Aux;

```

```

495     MgccEvent *event;
496     Aux = head->Next;
497     if (Aux == NULL) {
498         event=NULL;
499     } else {
500         event = Aux->Node;
501         head->Next = Aux->Next;
502     }
503     return(event);
504 }
505 MgccEvent *MgccEventQueue::ShowFirst(void) {
506 #if MGCCSIM_DEBUG
507     // fprintf(MGCCSIM_OUT_FILE, "MgccEventQueue::ShowFirst()\n");
508 #endif
509     Current = head->Next;
510     return(ShowNext());
511 }
512 MgccEvent *MgccEventQueue::ShowNext(void) {
513 #if MGCCSIM_DEBUG
514     // fprintf(MGCCSIM_OUT_FILE, "MgccEventQueue::ShowNext():\n");
515 #endif
516     MgccEvent *event;
517     if (Current==NULL) {
518         event=NULL;
519     } else {
520         event=Current->Node;
521         Current=Current->Next;
522     }
523     return(event);
524 }
525 int MgccEventQueue::ReSort(void) {
526 #if MGCCSIM_DEBUG
527     fprintf(MGCCSIM_OUT_FILE, "MgccEventQueue::ReSort():\n");
528 #endif
529     MgccEventQueue *newQueue = new MgccEventQueue;
530     MgccEvent *event;
531     for (event=this->GetNext(); event!=NULL; event=this->GetNext()) {
532         newQueue->Insert((*event));
533     }
534     delete this->head;
535     this->head=newQueue->head;
536     return 0;
537 }
538 void MgccEventQueue::Print(void) {
539     fprintf(MGCCSIM_OUT_FILE, "MgccEventQueue::Print():\n");
540     MgccEvent *event;
541     for (event=ShowFirst(); event!=NULL; event=ShowNext()) {
542         event->Print();
543     }
544 }
545 MgccResource::MgccResource(void):
546     sumBloc(0),
547     sumArr(0),
548     sumDep(0),
549     sumTime(0.0),
550     users(0),
551     lambda(0),
552     service(NULL),
553     sumBloc2(0) {
554 #if MGCCSIM_DEBUG
555     fprintf(MGCCSIM_OUT_FILE, "MgccResource::MgccResource():\n");
556 #endif
557 }
558 MgccResource::~MgccResource(void) {
559 #if MGCCSIM_DEBUG
560     fprintf(MGCCSIM_OUT_FILE, "MgccResource::~MgccResource():\n");
561 #endif
562 }
563 void MgccResource::ResetSum(void) {
564 #if MGCCSIM_DEBUG
565     fprintf(MGCCSIM_OUT_FILE, "MgccResource::ResetSum():\n");
566 #endif
567     sumBloc=0;
568     sumArr=0;
569     sumDep=0;
570     sumTime=0.0;
571     sumBloc2=0;
572 }
573 void MgccResource::Reset(void) {
574 #if MGCCSIM_DEBUG
575     fprintf(MGCCSIM_OUT_FILE, "MgccResource::Reset():\n");
576 #endif
577     ResetSum();
578     users=0;
579 }
580 void MgccResource::Print(void) {
581     fprintf(MGCCSIM_OUT_FILE, "MgccResource::Print():\n");
582     fprintf(MGCCSIM_OUT_FILE, "\t sumBloc\t%d\n", sumBloc);
583     fprintf(MGCCSIM_OUT_FILE, "\t sumArr\t%d\n", sumArr);
584     fprintf(MGCCSIM_OUT_FILE, "\t sumDep\t%d\n", sumDep);
585     fprintf(MGCCSIM_OUT_FILE, "\t sumTime\t%f\n", sumTime);
586     fprintf(MGCCSIM_OUT_FILE, "\t users\t%d\n", users);
587     fprintf(MGCCSIM_OUT_FILE, "\t lambda\t%f\n", lambda);
588     fprintf(MGCCSIM_OUT_FILE, "\t ES\t%f\n", service->GetEts1());
589     fprintf(MGCCSIM_OUT_FILE, "\t C\t%d\n", service->GetC());
590     fprintf(MGCCSIM_OUT_FILE, "\t sumBloc2\t%d\n", sumBloc2);
591 }
592 MgccSimul::MgccSimul(void):
593     nOfNodes(0),

```

```

594 myMgccResource (NULL) ,
595 myMgccEventQueue() ,
596 arcs (NULL) ,
597 warmupTime(0.0) ,
598 totalTime(0.0) {
599 #if MGCCSIM_DEBUG
600     fprintf(MGCCSIM_OUT_FILE, "MgccSimul::MgccSimul():\n");
601 #endif
602 }
603 MgccSimul::~MgccSimul(void) {
604 #if MGCCSIM_DEBUG
605     fprintf(MGCCSIM_OUT_FILE, "MgccSimul::~MgccSimul():\n");
606 #endif
607     delete[] myMgccResource ;
608 }
609 int MgccSimul::ReadData(FILE *inputFile) {
610 #if MGCCSIM_DEBUG
611     fprintf(MGCCSIM_OUT_FILE, "MgccSimul::ReadData(FILE):\n");
612 #endif
613     const int LLENGTH = 256;
614     char Line[LLENGTH];
615     int index, orig, dest;
616     float prob;
617     int i, j, serv;
618     float length, width, lambda;
619     CMLinUsr *servLin;
620     CMExpUsr *servExp;
621     // read and set number of nodes
622     fgets(Line, LLENGTH, inputFile);
623     fscanf(inputFile, "%d\n", &nOfNodes );
624 #if MGCCSIM_DEBUG
625     fprintf(MGCCSIM_OUT_FILE, "%d\n", nOfNodes);
626 #endif
627     myMgccResource = new MgccResource[nOfNodes];
628     arcs = new float *[nOfNodes];
629     for (i=0; i < nOfNodes; i++) {
630         arcs[i] = new float[nOfNodes];
631         for (j=0; j < nOfNodes; j++) {
632             arcs[i][j] = 0.0;
633         }
634     }
635     // read arc related data
636     fgets(Line, LLENGTH, inputFile);
637     while (fscanf(inputFile, "%d %d %d %f\n",
638                 &index, &orig, &dest, &prob)==4) {
639         arcs[orig-1][dest-1] = prob;
640 #if MGCCSIM_DEBUG
641         fprintf(MGCCSIM_OUT_FILE, "%d %d %d %f\n", index, orig, dest, prob);
642 #endif
643     }
644     // read node number, service, length, width, and lambda
645     fgets(Line, LLENGTH, inputFile);
646     cont++;
647     for (i=0; i < nOfNodes; i++) {
648         fscanf(inputFile, "%d %d %f %f %f\n",
649                 &index, &serv, &length, &width, &lambda );
650 #if MGCCSIM_DEBUG
651         fprintf(MGCCSIM_OUT_FILE, "%d %d %f %f %f\n",
652                 index, serv, length, width, lambda );
653 #endif
654         // choose service
655         if ( serv==1 ) {
656             servLin = new CMLinUsr;
657             servLin->SetCorridor(length, width);
658             myMgccResource[index-1].SetService(servLin);
659         } else if ( serv==2 ) {
660             servExp = new CMExpUsr;
661             servExp->SetCorridor(length, width);
662             myMgccResource[index-1].SetService(servExp);
663         } else {
664             fprintf(MGCCSIM_ERR_FILE,
665                     "Usage: service should be 1 (LINEAR) or 2 (EXPONENTIAL)\n");
666             exit(1);
667         }
668         myMgccResource[index-1].SetExtLambda(cont*lambda);
669     }
670 #ifdef MGCCSIM_CELULAR
671 // *****
672 // introduced by Cruz & Oliveira (2004)
673 // *****
674     cels = new int *[nOfNodes];
675     for (i=0; i < nOfNodes; i++) {
676         cels[i] = new int[nOfNodes];
677         for (j=0; j < nOfNodes; j++) {
678             cels[i][j] = 0;
679         }
680     }
681     long int current_pos = ftell(inputFile);
682     fgets(Line, LLENGTH, inputFile);
683     while (fscanf(inputFile, "%d/n", &i) == 1 ) {
684         //     fprintf(MGCCSIM_OUT_FILE, "node %d\n", i);
685     }
686     fgets(Line, LLENGTH, inputFile);
687     while (fscanf(inputFile, "%d %d/n", &i, &j) == 2 ) {
688         cels[i-1][j-1] = 1;
689         //     fprintf(MGCCSIM_OUT_FILE, "cel %d node %d\n", i, j);
690     }
691     fseek(inputFile, current_pos, SEEK_SET);
692 // *****

```

```

693 // end of introduced by Cruz & Oliveira (2004)
694 //*****
695 #endif
696 return 0;
697 }
698 int MgccSimul::ShowNet(void) {
699     fprintf(MGCCSIM_OUT_FILE, "MgccSimul::ShowNet():\n");
700     int i, j, aux;
701     fprintf(MGCCSIM_OUT_FILE, "Nodes\n%d\n", nOfNodes);
702     fprintf(MGCCSIM_OUT_FILE, "Arc\ Orig\ Dest\ Prob\n");
703     aux = 0;
704     for (i=0; i < nOfNodes; i++) {
705         for (j=0; j < nOfNodes; j++) {
706             if (arcs[i][j]>0.0) {
707                 // fprintf(MGCCSIM_OUT_FILE, " %d %d %d %f\n",
708                     fprintf(MGCCSIM_OUT_FILE, "%d\t%d\t%d\t%.3f\n",
709                         ++aux, i+1, j+1, arcs[i][j]);
710             }
711         }
712     }
713     for (i=0; i < nOfNodes; i++) {
714         fprintf(MGCCSIM_OUT_FILE, "Node\t%d\n", i+1);
715         fprintf(MGCCSIM_OUT_FILE, "\tE(ts)\tC\tLambda\n");
716         fprintf(MGCCSIM_OUT_FILE, "\t%.3f\t%.3f\n",
717             myMgccResource[i].GetEts1(),
718             myMgccResource[i].GetC(),
719             myMgccResource[i].GetLambda());
720         // myMgccResource[i].Print();
721     }
722     return 0;
723 }
724 int MgccSimul::ProcessSimul(float warmup, float finalTime) {
725 #if MGCCSIM_DEBUG
726     fprintf(MGCCSIM_OUT_FILE, "MgccSimul::ProcessSimul(%f;%f):\n", warmup, finalTime);
727 #endif
728     MgccEvent event;
729     MgccEvent *currentEvent;
730     int i;
731     warmupTime=warmup;
732     totalTime=finalTime;
733     // general initialization
734     myMgccEventQueue.Reset();
735     for (i=0; i<nOfNodes; i++) {
736         myMgccResource[i].Reset();
737     }
738     // insert "last" event
739     event.whichQueue = 0;
740     event.occureTime = finalTime;
741     event.type = MGCCSIM_END;
742     event.myMgccEntity = new MgccEntity;
743     myMgccEventQueue.Insert(event);
744     // insert "warm-up" event
745     event.whichQueue = 0;
746     event.occureTime = warmupTime;
747     event.type = MGCCSIM_WARMUP;
748     event.myMgccEntity = new MgccEntity;
749     myMgccEventQueue.Insert(event);
750     // insert "first" events
751     for (i=0; i<nOfNodes; i++) {
752         if (myMgccResource[i].GetLambda() > MGCCSIM_EPSILON) {
753             event.whichQueue = i;
754             event.occureTime = 0.0;
755             event.type = MGCCSIM_ARRIVAL;
756             event.myMgccEntity = new MgccEntity;
757             myMgccEventQueue.Insert(event);
758         }
759     }
760 #if MGCCSIM_DEBUG
761     fprintf(MGCCSIM_OUT_FILE, "MgccSimul::ProcessSimul: initial event queue\n");
762     myMgccEventQueue.Print();
763 #endif
764     // simulation per se
765     currentEvent = myMgccEventQueue.GetEarliest();
766     while (currentEvent->type != MGCCSIM_END) {
767 #if MGCCSIM_DEBUG
768         fprintf(MGCCSIM_OUT_FILE, "MgccSimul::ProcessSimul: current event\n");
769         currentEvent->Print();
770         fprintf(MGCCSIM_OUT_FILE, "MgccSimul::ProcessSimul: event queue\n");
771         myMgccEventQueue.Print();
772 #endif
773         ProcessEvent(currentEvent);
774         currentEvent = myMgccEventQueue.GetEarliest();
775     }
776 #if MGCCSIM_DEBUG
777     fprintf(MGCCSIM_OUT_FILE, "MgccSimul::ProcessSimul: current event\n");
778     currentEvent->Print();
779     fprintf(MGCCSIM_OUT_FILE, "MgccSimul::ProcessSimul: final event queue\n");
780     myMgccEventQueue.Print();
781 #endif
782     return 0;
783 }
784 int MgccSimul::PrintResults(void) {
785     fprintf(MGCCSIM_OUT_FILE, "MgccSimul::PrintResults():\n");
786     for (int i=0; i < nOfNodes; i++) {
787 #if MGCCSIM_DEBUG
788         myMgccResource[i].Print();
789 #endif
790         fprintf(MGCCSIM_OUT_FILE, "Node\t%d\n", i+1);
791         fprintf(MGCCSIM_OUT_FILE, "\tp(C)\t%f\n", GetPC(i));

```

```

792     fprintf(MGCCSIM_OUT_FILE, "\ttheta\t%f\n", GetTheta(i));
793     fprintf(MGCCSIM_OUT_FILE, "\tE(q)\t%f\n", GetQ(i));
794     fprintf(MGCCSIM_OUT_FILE, "\tE(ts)\t%f\n", GetTs(i));
795 }
796 return 0;
797 }
798 int MgccSimul::ProcessEvent(MgccEvent *myEvent) {
799 #if MGCCSIM_DEBUG
800     fprintf(MGCCSIM_OUT_FILE, "MgccSimul::ProcessEvent(MgccEvent):\n");
801 #endif
802     int i;
803     if (myEvent->type==MGCCSIM_ARRIVAL) {
804         ProcessArrival(myEvent);
805     } else if (myEvent->type==MGCCSIM_DEPARTURE) {
806         ProcessDepart(myEvent);
807     } else if (myEvent->type==MGCCSIM_WARMUP) {
808         for (i=0; i<nOfNodes; i++) {
809             myMgccResource[i].ResetSum();
810         }
811         delete myEvent->myMgccEntity;
812         delete myEvent;
813     } else {
814         fprintf(MGCCSIM_OUT_FILE, "MgccSimul::ProcessEvent: error unknow event");
815         exit(1);
816     }
817     return 0;
818 }
819 int MgccSimul::ProcessArrival(MgccEvent *myArr) {
820 #if MGCCSIM_DEBUG
821     fprintf(MGCCSIM_OUT_FILE, "MgccSimul::ProcessArrival(MgccEvent):\n");
822 #endif
823     MgccEvent event;
824     int queue, n;
825     double now, Vn, L;
826     queue = myArr->whichQueue;
827     now = myArr->occurTime;
828     // create new arrival
829     event.whichQueue = queue;
830     event.occurTime = now+rExpo(&seed1, myMgccResource[queue].GetLambda());
831     event.type = MGCCSIM_ARRIVAL;
832     event.myMgccEntity = new MgccEntity;
833     event.myMgccEntity->nextArrival = event.occurTime;
834     event.myMgccEntity->queueArrival = event.occurTime;
835 #ifdef MGCCSIM_CELULAR
836     event.myMgccEntity->cellArrival = event.occurTime;
837 #endif
838     event.myMgccEntity->timeLastChange = event.occurTime;
839     event.myMgccEntity->lastPosition = 0.0;
840     event.myMgccEntity->blocked=MGCCSIM_NO;
841     event.myMgccEntity->timeBlocked=-1.0;
842     event.myMgccEntity->blockedAgain=MGCCSIM_NO;
843     myMgccEventQueue.Insert(event);
844     // if queue's blocked, just reject arrival
845     if (myMgccResource[queue].GetUsers() ≥ myMgccResource[queue].GetC()) {
846 #if MGCCSIM_DEBUG
847         fprintf(MGCCSIM_OUT_FILE, "MgccSimul::ProcessArrival: arrival rejected\n");
848 #endif
849         // update statistics
850         myMgccResource[queue].AddBlocked();
851         // free entity
852         delete myArr->myMgccEntity;
853         // if there is enough room, admit arrival
854     } else {
855 #if MGCCSIM_DEBUG
856         fprintf(MGCCSIM_OUT_FILE,
857             "MgccSimul::ProcessArrival: arrival accepted\n");
858 #endif
859         // update statistics
860         myMgccResource[queue].AddArrival();
861         myMgccResource[queue].AddUser();
862         // schedule new departure
863         event.whichQueue = queue;
864         n = myMgccResource[queue].GetUsers();
865         Vn = myMgccResource[queue].service->GetV1()*
866             myMgccResource[queue].service->Rate(n);
867         L = myMgccResource[queue].service->GetEts1()*
868             myMgccResource[queue].service->GetV1();
869         event.occurTime = now + L/Vn;
870         event.type = MGCCSIM_DEPARTURE;
871         event.myMgccEntity = myArr->myMgccEntity;
872         // delay everybody
873         DelayST(queue, now);
874         // insert new departure
875         myMgccEventQueue.Insert(event);
876     }
877     delete myArr;
878     return 0;
879 }
880 int MgccSimul::ProcessDepart(MgccEvent *myDep) {
881 #if MGCCSIM_DEBUG
882     fprintf(MGCCSIM_OUT_FILE, "MgccSimul::ProcessDepart(MgccEvent):\n");
883     fprintf(MGCCSIM_OUT_FILE, "MgccSimul::ProcessDepart(): now\t%f\n",
884         myDep->occurTime);
885 #endif
886     MgccEvent event;
887     MgccEvent *currEvent;
888     int queue, orig, dest, n;
889     double Vn, L;
890     double now, prob, sumProb, dTime, earliest;

```

```

891     queue = myDep->whichQueue;
892     now = myDep->occurTime;
893     // select forwarding queue
894     prob = rUnif(&seed2);
895     orig = queue;
896     dest = 0;
897     sumProb = arcs[orig][dest];
898     while ((dest < (nOfNodes-1))&&(sumProb < prob)) {
899         dest++;
900         sumProb += arcs[orig][dest];
901     }
902     // if there is not a forwarding queue ...
903     if (sumProb < prob) {
904 #if MGCCSIM_DEBUG
905         fprintf(MGCCSIM_OUT_FILE, "MgccSimul::ProcessDepart: final destination\n");
906 #endif
907         // update statistics
908         myMgccResource[queue].AddDepart();
909         dTime = now - myDep->myMgccEntity->queueArrival;
910         myMgccResource[queue].AddTime(dTime);
911         myMgccResource[queue].DelUser();
912 #ifdef MGCCSIM_INTERDEP
913 //*****
914 // introduced by Cruz & Araujo (2004)
915 //*****
916         // print departure & service times
917         if (MGCCSIM_INTERDEP_FIRST) {
918             MGCCSIM_INTERDEP_FIRST = 0;
919             fprintf(MGCCSIM_OUT_FILE, "Node\tEntity\tdT.serv\tT.depa\n");
920         }
921         dTime = now - myDep->myMgccEntity->queueArrival;
922         fprintf(MGCCSIM_OUT_FILE, "%d\t%d\t%12.8f\t%12.8f\n",
923             queue, myDep->myMgccEntity->id+1, dTime, now);
924 //*****
925 // end of introduced by Araujo & Cruz (2004)
926 //*****
927 #endif
928 #ifdef MGCCSIM_CELULAR
929 //*****
930 // introduced by Cruz & Oliveira (2004)
931 //*****
932         // print departure & service times
933         if (MGCCSIM_CELULAR_FIRST) {
934             MGCCSIM_CELULAR_FIRST = 0;
935             fprintf(MGCCSIM_OUT_FILE, "Cel\tEntity\tdT.serv\tT.depa\n");
936         }
937         int celOrig=0;
938         while ((celOrig < (nOfNodes-1))&&(cels[celOrig][orig]!=1)) celOrig++;
939         dTime = now - myDep->myMgccEntity->cellArrival;
940         fprintf(MGCCSIM_OUT_FILE, "%d\t%d\t%12.8f\t%12.8f\n",
941             celOrig, myDep->myMgccEntity->id+1, dTime, now);
942 //*****
943 // end of introduced by Oliveira & Cruz (2004)
944 //*****
945 #endif
946         // printf(MGCCSIM_OUT_FILE, "t\t%d\t%d\t%12.8f\n",
947             // queue, myDep->myMgccEntity->id+1, now);
948         // printf(MGCCSIM_OUT_FILE, "dt\t%d\t%d\t%12.8f\n",
949             // queue, myDep->myMgccEntity->id+1, dTime);
950         // advance everybody
951         AdvanceST(queue, now);
952 #if MGCCSIM_DEBUG
953         myDep->myMgccEntity->Print();
954 #endif
955         // just free the entity
956         delete myDep->myMgccEntity;
957         // if there is a forwarding queue
958     } else {
959 #if MGCCSIM_DEBUG
960         fprintf(MGCCSIM_OUT_FILE, "MgccSimul::ProcessDepart: destination %d\n", dest);
961 #endif
962         // if destination queue is full, keep entity in its original queue
963         if (myMgccResource[dest].GetUsers() >= myMgccResource[dest].GetC()) {
964 #if MGCCSIM_DEBUG
965             fprintf(MGCCSIM_OUT_FILE, "MgccSimul::ProcessDepart: delayed\n");
966 #endif
967         // estimate time until next availability
968         earliest = totalTime;
969         for (currEvent=myMgccEventQueue.ShowFirst(); currEvent!=NULL;
970             currEvent=myMgccEventQueue.ShowNext()) {
971             if ( (currEvent->whichQueue==dest)&&
972                 (currEvent->type==MGCCSIM_DEPARTURE)&&
973                 (currEvent->occurTime < earliest) ) {
974                 earliest = currEvent->occurTime;
975             }
976         }
977         // update everything
978         event.whichQueue = queue;
979         event.occurTime = earliest;
980         event.type = MGCCSIM_DEPARTURE;
981         event.myMgccEntity = myDep->myMgccEntity;
982         //
983         //
984         // if necessary update status, and statistics
985         // L = myMgccResource[queue].service->GetEts1()*
986         // myMgccResource[queue].service->GetV1();
987         // if (event.myMgccEntity->lastPosition < L)
988         //     event.myMgccEntity->lastPosition = L;
989         // myMgccResource[dest].AddBlocked();
990         // event.myMgccEntity->timeBlocked = now;

```

```

990 //
991 // if it was not blocked before, update status & statistics
992 if (event.myMgccEntity->blocked==MGCCSIM_NO) {
993 #if MGCCSIM_DEBUG
994     fprintf(MGCCSIM_OUT_FILE, "MgccSimul::ProcessDepart: blocked\n");
995 #endif
996     L = myMgccResource[queue].service->GetEts1()*
997     myMgccResource[queue].service->GetV1();
998     event.myMgccEntity->lastPosition = L;
999     event.myMgccEntity->timeLastChange = now;
1000     event.myMgccEntity->blocked=MGCCSIM_YES;
1001     event.myMgccEntity->timeBlocked = now;
1002     myMgccResource[dest].AddBlocked();
1003     // if this is the second blocking, update status & statistics
1004 } else if (event.myMgccEntity->blockedAgain==MGCCSIM_NO) {
1005 #if MGCCSIM_DEBUG
1006     fprintf(MGCCSIM_OUT_FILE, "MgccSimul::ProcessDepart: double-blocked\n");
1007 #endif
1008     event.myMgccEntity->blockedAgain=MGCCSIM_YES;
1009     myMgccResource[queue].AddBlocked2();
1010 }
1011 #if MGCCSIM_DEBUG
1012     event.myMgccEntity->Print();
1013 #endif
1014 // reinsert departure at once
1015 myMgccEventQueue.Insert(event);
1016 // if there is enough room, admit departure into the next queue
1017 } else {
1018 #if MGCCSIM_DEBUG
1019     fprintf(MGCCSIM_OUT_FILE, "MgccSimul::ProcessDepart: accepted\n");
1020 #endif
1021 // update statistics of current queue
1022 myMgccResource[queue].AddDepart();
1023 dTime = now - myDep->myMgccEntity->queueArrival;
1024 myMgccResource[queue].AddTime(dTime);
1025 myMgccResource[queue].DelUser();
1026 #ifdef MGCCSIM_INTERDEP
1027 //*****
1028 // introduced by Cruz & Araujo (2004)
1029 //*****
1030 // print service & departure
1031 if (MGCCSIM_INTERDEP_FIRST) {
1032     MGCCSIM_INTERDEP_FIRST = 0;
1033     fprintf(MGCCSIM_OUT_FILE, "Node\tEntity\tdT.serv\tT.depa\n");
1034 }
1035 dTime = now - myDep->myMgccEntity->queueArrival;
1036 fprintf(MGCCSIM_OUT_FILE, "%d\t%d\t%12.8f\t%12.8f\n",
1037     queue, myDep->myMgccEntity->id+1, dTime, now);
1038 //*****
1039 // end of introduced by Cruz & Araujo (2004)
1040 //*****
1041 #endif
1042 #ifdef MGCCSIM_CELULAR
1043 //*****
1044 // introduced by Cruz & Oliveira (2004)
1045 //*****
1046 // print departure & service times
1047 if (MGCCSIM_CELULAR_FIRST) {
1048     MGCCSIM_CELULAR_FIRST = 0;
1049     fprintf(MGCCSIM_OUT_FILE, "Cel\tEntity\tdT.serv\tT.depa\n");
1050 }
1051 int celOrig=0;
1052 while ((celOrig<(nOfNodes-1))&&(cels[celOrig][orig]!=1)) celOrig++;
1053 int celDest=0;
1054 while ((celDest<(nOfNodes-1))&&(cels[celDest][dest]!=1)) celDest++;
1055 if (celOrig!=celDest) {
1056     dTime = now - myDep->myMgccEntity->cellArrival;
1057     fprintf(MGCCSIM_OUT_FILE, "%d\t%d\t%12.8f\t%12.8f\n",
1058         celOrig, myDep->myMgccEntity->id+1, dTime, now);
1059 }
1060 //*****
1061 // end of introduced by Cruz & Oliveira (2004)
1062 //*****
1063 #endif
1064 /*
1065 //
1066 if (myDep->myMgccEntity->timeBlocked < 0.0) {
1067     if (myDep->myMgccEntity->blocked==MGCCSIM_NO) {
1068         // entity never blocked
1069         dTime = now - myDep->myMgccEntity->queueArrival;
1070         fprintf(MGCCSIM_OUT_FILE, "dt\t%12.8f\n", queue, myDep->myMgccEntity->id+1, dTime);
1071         fprintf(MGCCSIM_OUT_FILE, "t\t%12.8f\n", queue, myDep->myMgccEntity->id+1, now);
1072         // entity skiped holding node
1073         dTime = 0.0;
1074         fprintf(MGCCSIM_OUT_FILE, "dt\t%12.8f\n", queue, myDep->myMgccEntity->id+1, dTime);
1075         fprintf(MGCCSIM_OUT_FILE, "t\t%12.8f\n", queue, myDep->myMgccEntity->id+1, now);
1076     } else {
1077         // entity blocked
1078         dTime = myDep->myMgccEntity->timeBlocked - myDep->myMgccEntity->queueArrival;
1079         fprintf(MGCCSIM_OUT_FILE, "dt\t%12.8f\n", queue, myDep->myMgccEntity->id+1, dTime);
1080         fprintf(MGCCSIM_OUT_FILE, "t\t%12.8f\n", queue, myDep->myMgccEntity->id+1, now);
1081         fprintf(MGCCSIM_OUT_FILE, "dt\t%12.8f\n", queue, myDep->myMgccEntity->id+1, dTime);
1082     }
1083 }
1084 */
1085 //
1086 // advance everybody in current queue
1087 AdvanceST(queue, now);

```



```

1088 // update statistics of destination queue
1089 myMgccResource [ dest ]. AddArrival ();
1090 myMgccResource [ dest ]. AddUser ();
1091 // schedule new departure
1092 event . whichQueue = dest ;
1093 n = myMgccResource [ dest ]. GetUsers ();
1094 Vn = myMgccResource [ dest ]. service ->GetV1 () *
1095     myMgccResource [ dest ]. service ->Rate (n);
1096 L = myMgccResource [ dest ]. service ->GetEts1 () *
1097     myMgccResource [ dest ]. service ->GetV1 ();
1098 event . occurTime = now + L / Vn;
1099 event . type = MGCCSIM_DEPARTURE;
1100 event . myMgccEntity = myDep ->myMgccEntity ;
1101 event . myMgccEntity ->queueArrival = now;
1102 #ifndef MGCCSIM_CELULAR
1103     if ( celOrig != celDest ) {
1104         event . myMgccEntity ->cellArrival = now;
1105     }
1106 #endif
1107 event . myMgccEntity ->timeLastChange = now;
1108 event . myMgccEntity ->lastPosition = 0.0;
1109 event . myMgccEntity ->blocked = MGCCSIM_NO;
1110 event . myMgccEntity ->timeBlocked = -1.0;
1111 event . myMgccEntity ->blockedAgain = MGCCSIM_NO;
1112 // delay everybody in destination queue
1113 DelayST ( dest , now);
1114 #if MGCCSIM_DEBUG
1115     event . myMgccEntity ->Print ();
1116 #endif
1117 // insert departure in destination queue
1118 myMgccEventQueue . Insert ( event );
1119 }
1120 }
1121 delete myDep;
1122 return 0;
1123 }
1124 int MgccSimul :: DelayST ( int queue , double now ) {
1125 #if MGCCSIM_DEBUG
1126     fprintf ( MGCCSIM_OUT_FILE , "MgccSimul :: DelayST ( queue , now ) : \n" );
1127 #endif
1128 MgccEvent * currEvent ;
1129 double Vn_1 , Vn , L , ΔT , ΔSToGo ;
1130 int n ;
1131 // compute queue constants
1132 n = myMgccResource [ queue ]. GetUsers ();
1133 if ( n > 1 )
1134     Vn_1 = myMgccResource [ queue ]. service ->GetV1 () *
1135         myMgccResource [ queue ]. service ->Rate ( n - 1 );
1136 else
1137     Vn_1 = myMgccResource [ queue ]. service ->GetV1 ();
1138 Vn = myMgccResource [ queue ]. service ->GetV1 () *
1139     myMgccResource [ queue ]. service ->Rate ( n );
1140 L = myMgccResource [ queue ]. service ->GetEts1 () *
1141     myMgccResource [ queue ]. service ->GetV1 ();
1142 #if MGCCSIM_DEBUG
1143     fprintf ( MGCCSIM_OUT_FILE , "V(%d) \t %20.16f \t V(%d) \t %20.16f \t L \t %20.16f \n" ,
1144             n - 1 , Vn_1 , n , Vn , L );
1145 #endif
1146 // update queue events
1147 for ( currEvent = myMgccEventQueue . ShowFirst (); currEvent != NULL ;
1148       currEvent = myMgccEventQueue . ShowNext () ) {
1149     if ( ( currEvent ->whichQueue == queue ) &&
1150         ( currEvent ->type == MGCCSIM_DEPARTURE ) &&
1151         ( currEvent ->myMgccEntity ->blocked == MGCCSIM_NO ) ) {
1152 #if MGCCSIM_DEBUG
1153         fprintf ( MGCCSIM_OUT_FILE , " before \n" );
1154         currEvent ->Print ();
1155 #endif
1156         ΔT = now - currEvent ->myMgccEntity ->timeLastChange ;
1157         // update time since last change
1158         currEvent ->myMgccEntity ->timeLastChange = now ;
1159         // update position since last change @ occurrence time
1160         currEvent ->myMgccEntity ->lastPosition += Vn_1 * ΔT ;
1161         if ( currEvent ->myMgccEntity ->lastPosition > L ) {
1162             currEvent ->myMgccEntity ->lastPosition = L ;
1163 #if MGCCSIM_DEBUG
1164             fprintf ( MGCCSIM_OUT_FILE , " warning : last position beyond L \n" );
1165 #endif
1166         }
1167         ΔSToGo = L - currEvent ->myMgccEntity ->lastPosition ;
1168 #if MGCCSIM_DEBUG
1169         if ( currEvent ->occurTime > now + ΔSToGo / Vn ) {
1170             fprintf ( MGCCSIM_OUT_FILE , " warning : entity actually not delayed : \n" );
1171             fprintf ( MGCCSIM_OUT_FILE , "\t occurTime \t %20.16f \t occurTime \t %20.16f \n" ,
1172                     currEvent ->occurTime , now + ΔSToGo / Vn );
1173             fprintf ( MGCCSIM_OUT_FILE , "\t V(%d) \t %20.16f \t V(%d) \t %20.16f \t L \t %20.16f \n" ,
1174                     n - 1 , Vn_1 , n , Vn_1 , L );
1175             fprintf ( MGCCSIM_OUT_FILE , "\t ΔT \t %20.16f \t ΔS \t %20.16f \n" ,
1176                     ΔT , Vn_1 * ΔT );
1177             fprintf ( MGCCSIM_OUT_FILE , "\t ΔTToGo \t %20.16f \t ΔSToGo \t %20.16f \n" ,
1178                     ΔSToGo / Vn , ΔSToGo );
1179             currEvent ->Print ();
1180         }
1181         // exit ( 1 );
1182 #endif
1183     }
1184     currEvent ->occurTime = now + ΔSToGo / Vn ;
1185 #if MGCCSIM_DEBUG
1186     fprintf ( MGCCSIM_OUT_FILE , " after \n" );
1187     currEvent ->Print ();

```

```

1187 #endif
1188     } // end if
1189 } // end for
1190 // sort event queue
1191 // myMgccEventQueue.ReSort();
1192 return 0;
1193 }
1194 int MgccSimul::AdvanceST(int queue, double now) {
1195 #if MGCCSIM_DEBUG
1196     fprintf(MGCCSIM_OUT_FILE, "MgccSimul::AdvanceST (queue, now):\n");
1197 #endif
1198     MgccEvent *currEvent;
1199     double Vn_1, Vn, L, ΔT, ΔSToGo;
1200     int n;
1201     // compute queue constants
1202     n = myMgccResource [queue].GetUsers();
1203     Vn_1 = myMgccResource [queue].service->GetV1()*
1204     myMgccResource [queue].service->Rate(n+1);
1205     if (n>0)
1206         Vn = myMgccResource [queue].service->GetV1()*
1207         myMgccResource [queue].service->Rate(n);
1208     else
1209         Vn = myMgccResource [queue].service->GetV1();
1210     L = myMgccResource [queue].service->GetEts1()*
1211     myMgccResource [queue].service->GetV1();
1212 #if MGCCSIM_DEBUG
1213     fprintf(MGCCSIM_OUT_FILE, "V(%d)\t%20.16f\tV(%d)\t%20.16f\tL\t%20.16f\n",
1214             n+1, Vn_1, n, Vn, L);
1215 #endif
1216     for (currEvent=myMgccEventQueue.ShowFirst(); currEvent!=NULL;
1217          currEvent=myMgccEventQueue.ShowNext()) {
1218         if ((currEvent->whichQueue==queue)&&
1219             (currEvent->type==MGCCSIM_DEPARTURE)&&
1220             (currEvent->myMgccEntity->blocked==MGCCSIM_NO)) {
1221 #if MGCCSIM_DEBUG
1222             fprintf(MGCCSIM_OUT_FILE, "before\n");
1223             currEvent->Print();
1224 #endif
1225             ΔT = now - currEvent->myMgccEntity->timeLastChange;
1226             // update time since last change
1227             currEvent->myMgccEntity->timeLastChange = now;
1228             // update position since last change & occurrence time
1229             currEvent->myMgccEntity->lastPosition += Vn_1*ΔT;
1230             if (currEvent->myMgccEntity->lastPosition > L) {
1231                 currEvent->myMgccEntity->lastPosition = L;
1232 #if MGCCSIM_DEBUG
1233                 fprintf(MGCCSIM_OUT_FILE, "warning: last position beyond L\n");
1234 #endif
1235             }
1236             ΔSToGo = L - currEvent->myMgccEntity->lastPosition;
1237 #if MGCCSIM_DEBUG
1238             if (currEvent->occurTime < now+ΔSToGo/Vn) {
1239                 fprintf(MGCCSIM_OUT_FILE, "warning: entity actually not advanced:\n");
1240                 fprintf(MGCCSIM_OUT_FILE, "\t\toccurTime\t%20.16f\t\toccurTime\t%20.16f\n",
1241                         currEvent->occurTime, now+ΔSToGo/Vn);
1242                 fprintf(MGCCSIM_OUT_FILE, "\t\tV(%d)\t%20.16f\t\tV(%d)\t%20.16f\t\tL\t%20.16f\n",
1243                         n+1, Vn_1, n, Vn, L);
1244                 fprintf(MGCCSIM_OUT_FILE, "\t\tΔT\t%20.16f\t\tΔS\t%20.16f\n",
1245                         ΔT, Vn_1*ΔT);
1246                 fprintf(MGCCSIM_OUT_FILE, "\t\tΔTToGo\t%20.16f\t\tΔSToGo\t%20.16f\n",
1247                         ΔSToGo/Vn, ΔSToGo);
1248                 currEvent->Print();
1249             }
1250 #endif
1251             currEvent->occurTime = now + ΔSToGo/Vn;
1252 #if MGCCSIM_DEBUG
1253             fprintf(MGCCSIM_OUT_FILE, "after\n");
1254             currEvent->Print();
1255 #endif
1256         } // end if
1257     } // end for
1258     // sort event queue
1259     // myMgccEventQueue.ReSort();
1260     return 0;
1261 }
1262 #endif

```

Código A.3: Cmusr.c

```

1 //
2 // Purpose:
3 //   to implement congestions models
4 //   FOR A SPECIFIC CLASS OF USERS
5 //
6 // Authors:
7 //   Paula de Campos Oliveira
8 //   Frederico R. B. Cruz
9 //   Departamento de Estatística
10 //   Universidade Federal de Minas Gerais
11 //   Brazil
12 //   E-mail: pcampol@yahoo.com.br, fcruz@est.ufmg.br
13 //
14 //
15 // Version:
16 //   5.0
17 //
18 // Date:
19 //   Jul/2010
20 //
21 #ifndef CMUSR_CPP
22 #define CMUSR_CPP
23 //
24 #include <stdlib.h>
25 #include <stdio.h>
26 #include <math.h>
27 #include "cm.cpp"
28 //
29 // values specially for pedestrian flows
30 //
31 //double CMUSR_maxDens = 5.0;
32 //double CMUSR_maxSpeed = 1.5;
33 //double CMUSR_aDens = 2.0;
34 //double CMUSR_aSpeed = 0.64;
35 //double CMUSR_bDens = 4.0;
36 //double CMUSR_bSpeed = 0.25;
37 //
38 // but there are other possibilities ...
39 //
40 //double CMUSR_maxDens = 5.0;
41 //double CMUSR_maxSpeed = 0.71;
42 //double CMUSR_aDens = 2.0;
43 //double CMUSR_aSpeed = 0.31;
44 //double CMUSR_bDens = 4.0;
45 //double CMUSR_bSpeed = 0.12;
46 //
47 // values specially for vehicular flows (Antonio Carlos)
48 //
49 //double CMUSR_maxDens = 118.0;
50 //double CMUSR_maxSpeed = 49.0;
51 //double CMUSR_aDens = 20.0;
52 //double CMUSR_aSpeed = 40.0;
53 //double CMUSR_bDens = 40.0;
54 //double CMUSR_bSpeed = 33.0;
55 //
56 // but there are other possibilities ...
57 //
58 //double CMUSR_maxDens = 118.0;
59 //double CMUSR_maxSpeed = 49.0;
60 //double CMUSR_aDens = 20.0;
61 //double CMUSR_aSpeed = 40.0;
62 //double CMUSR_bDens = 40.0;
63 //double CMUSR_bSpeed = 33.0;
64 //
65 double CMUSR_maxDens = 200.0;
66 double CMUSR_maxSpeed = 62.5;
67 double CMUSR_aDens = 20.0;
68 double CMUSR_aSpeed = 48.0;
69 double CMUSR_bDens = 140.0;
70 double CMUSR_bSpeed = 20.0;
71 //
72 // WARNING
73 //
74 // these variables must be eventually set up for each server:
75 //
76 // double length; // server length
77 // double width; // server width
78 //
79 // generic velocity congestion model for users
80 //
81 class CMGenUsr {
82 public:
83 // default constructor
84 CMGenUsr(void) {}
85 // destructor
86 virtual ~CMGenUsr(void) {}
87 virtual void SetCorridor(double length, double width) = 0;
88 };
89 //
90 // linear velocity congestion model for users
91 //
92 class CMLinUsr: public CMLin, public CMGenUsr {
93 public:
94 // default constructor
95 CMLinUsr(void): CMLin(), CMGenUsr() {}
96 // destructor
97 ~CMLinUsr(void) {}
98 void SetCorridor(double length, double width);

```

```

99 };
100 //
101 // exponential velocity congestion model for users
102 //
103 class CMExpUsr: public CMExp, public CMGenUsr {
104 public:
105 // default constructor
106 CMExpUsr(void): CMExp(), CMGenUsr() {}
107 // destructor
108 ~CMExpUsr(void) {}
109 void SetCorridor(double length, double width);
110 };
111 //
112 // implementation
113 //
114 void CMLinUsr::SetCorridor(double length, double width) {
115 #if CMUSR_DEBUG
116 fprintf(CM_OUT_FILE, "CMLinUsr::SetCorridor(double,double):\n");
117 #endif
118 int theCap = (int)floor(CMUSR_maxDens * length * width);
119 double theEts1 = length/CMUSR_maxSpeed;
120 CMGen::SetC(theCap);
121 SetEts1(theEts1);
122 SetV1(CMUSR_maxSpeed);
123 }
124 void CMExpUsr::SetCorridor(double length, double width) {
125 #if CMUSR_DEBUG
126 fprintf(CM_OUT_FILE, "CMExpUsr::SetCorridor(double,double):\n");
127 #endif
128 CMExpUsr::SetShapeForm(CMUSR_maxDens, CMUSR_aDens, CMUSR_aSpeed,
129 CMUSR_bDens, CMUSR_bSpeed);
130 int theCap = (int)floor(CMUSR_maxDens * length * width);
131 double theEts1 = length/CMUSR_maxSpeed;
132 SetC(theCap);
133 SetEts1(theEts1);
134 SetV1(CMUSR_maxSpeed);
135 }
136 #endif

```

Código A.4: Cm.c

```

1 //
2 // Purpose:
3 //   to implement linear and exponential congestion models
4 //
5 // Authors:
6 //   Paula de Campos Oliveira
7 //   Frederico R. B. Cruz
8 //   Departamento de Estatística
9 //   Universidade Federal de Minas Gerais
10 //   Brazil
11 //   E-mail: pcampol@yahoo.com.br, fcruz@est.ufmg.br
12 //
13 //
14 // Version:
15 //   5.0
16 //
17 // Date:
18 //   Jul/2010
19 //
20 #ifndef CM_CPP
21 #define CM_CPP
22 //
23 #include <stdlib.h>
24 #include <stdio.h>
25 #include <math.h>
26 //
27 // these are general settings
28 //
29 #define CM_IN_FILE stdin // input file
30 #define CM_OUT_FILE stdout // output file
31 #define CM_ERR_FILE stderr // error file
32 #define CM_EVALUATED 1 // flag
33 //
34 // WARNING
35 //
36 // these variables must be eventually set up for each server:
37 //
38 // int cap; // server capacity
39 // double expcST; // expected service time for lone occupant
40 // double maxSpeed; // lone occupant speed
41 //
42 // double maxDens; // maximum density per unit of area
43 // double aDens; // density A
44 // double aSpeed; // speed at density A
45 // double bDens; // density B
46 // double bSpeed; // speed at density B
47 //
48 // generic congestion model
49 //
50 class CMGen {
51 protected:
52 int cap; // server capacity
53 double Ets1; // expected service time for lone occupant
54 double maxSpeed; // lone occupant speed
55 int status;
56 public:
57 // default constructor
58 CMGen(void): cap(0), Ets1(0), maxSpeed(0), status(!CM_EVALUATED) {}
59 // destructor
60 virtual ~CMGen(void) {}
61 void SetC(int C) {cap=C; status=!CM_EVALUATED;}
62 void SetEts1(double theEts1) {Ets1=theEts1; status=!CM_EVALUATED;}
63 void SetV1(double V1) {maxSpeed=V1; status=!CM_EVALUATED;}
64 int GetC(void) {return cap;}
65 double GetEts1(void) {return Ets1;}
66 double GetV1(void) {return maxSpeed;}
67 virtual double Rate(int customers) = 0;
68 };
69 //
70 // linear velocity congestion model
71 //
72 class CMLin: public CMGen {
73 public:
74 // default constructor
75 CMLin(void): CMGen() {}
76 // destructor
77 ~CMLin(void) {}
78 double Rate(int customers);
79 };
80 //
81 // exponential velocity congestion model
82 //
83 class CMExp: public CMGen {
84 int statConsts; // status of constants
85 double maxDens; // maximum density
86 double aDens; // density A
87 double aSpeed; // speed at density A
88 double bDens; // density B
89 double bSpeed; // speed at density B
90 double beta; // shape and form parameters
91 double gamma; // shape and form parameters
92 public:
93 // default constructor
94 CMExp(void): CMGen(), statConsts(!CM_EVALUATED) {}
95 // destructor
96 ~CMExp(void) {}
97 void SetShapeForm(double maxDens, double aDens, double aSpeed,
98 double bDens, double bSpeed);

```

```

99     double Rate(int customers);
100 };
101 //
102 // implementation
103 //
104 double CMLin::Rate(int customers) {
105     if ((cap<=0)|| (customers<0)|| (customers>cap)) {
106         fprintf(CM_ERR_FILE, "CMLin::Rate(int): ERROR: parameter out of range\n");
107         exit(1);
108     }
109     #if CM_DEBUG
110     fprintf(CM_OUT_FILE, "CMLin::Rate(int):\t%20.18f\n",
111         ((double)(cap+1-customers)/cap));
112     #endif
113     return((double)(cap+1-customers)/cap);
114 }
115 void CMLin::SetShapeForm(double theMaxDens, double theADens, double theASpeed,
116     double theBDens, double theBSpeed) {
117     #if CM_DEBUG
118     fprintf(CM_OUT_FILE, "CMLin::SetShapeForm:\n");
119     #endif
120     maxDens = theMaxDens;
121     aDens = theADens;
122     aSpeed = theASpeed;
123     bDens = theBDens;
124     bSpeed = theBSpeed;
125     status = !CM_EVALUATED;
126 }
127 double CMLin::Rate(int customers) {
128     if (status != CM_EVALUATED) {
129         double a=aDens*cap/maxDens;
130         double b=bDens*cap/maxDens;
131         gamma=log( log(aSpeed/maxSpeed)/log(bSpeed/maxSpeed)) / log((a-1)/(b-1));
132         // if (errno) {
133         //     fprintf(CM_OUT_FILE, "CMLin::Rate(%d):\tgamma\tlog(log(%f/%f)/log(%f/%f))/log((%f-1)/(%f-1))\
134         //         \t%f\n",
135         //             customers, aSpeed, maxSpeed, bSpeed, maxSpeed, a, b, gamma);
136         //     exit(1);
137         // }
138         beta=(a-1)/pow(log(maxSpeed/aSpeed), (1/gamma));
139         // if (errno) {
140         //     fprintf(CM_OUT_FILE, "CMLin::Rate(%d):\tbeta\t(%f-1)/pow(log(%f/%f), (1/%f))\t%f\n",
141         //             customers, a, maxSpeed, aSpeed, gamma, beta);
142         //     exit(1);
143         // }
144         status = CM_EVALUATED;
145     }
146     #if CM_DEBUG
147     fprintf(CM_OUT_FILE, "CMLin::Rate(%d):\n\tgamma\t%20.18f\tbeta\t%20.18f\n",
148         customers, gamma, beta);
149     fprintf(CM_OUT_FILE, "CMLin::Rate(%d):\texp(-((%d-1)/%f)^%f\t%f\n",
150         customers, customers, beta, gamma, exp(-pow((customers-1)/beta, gamma)));
151     #endif
152     if ((cap<=0)|| (customers<0)|| (customers>cap)) {
153         fprintf(CM_ERR_FILE, "CMLin::Rate(%d):\tERROR: parameter out of range\n",
154             customers);
155         exit(1);
156     }
157     return(exp(-pow((customers-1)/beta, gamma)));
158 }
159 #endif

```

Código A.5: Randx.c

```

1  /*****
2  *
3  * Purpose:
4  *   randX is a library for random number generation.
5  *   The integer randXseed should be initialized to an arbitrary
6  *   integer prior to the first call to the desired function. The calling
7  *   program should not alter the value of randXseed between subsequent
8  *   calls.
9  *
10 * Author:
11 *   Frederico R. B. Cruz
12 *   Departamento de Estatística
13 *   Universidade Federal de Minas Gerais
14 *   Brazil
15 *   E-mail: fcruz@est.ufmg.br
16 *
17 * Version:
18 *   1.00
19 *
20 * Date:
21 *   March/2002
22 *
23 *****/
24 #ifndef RANDX_C
25 #define RANDX_C
26 #include <math.h>
27 #define RANDX_PI 3.14159265358979323846
28 #define RANDX_EE 2.71828182845904523536
29 /* uniform [0,1] */
30 float rUnif(int *randXseed);
31 float rUnif2(unsigned long *randXseed1, unsigned long *randXseed2);
32 /* normal(mu=0,sd=1) */
33 float rNorm(int *randXseed);
34 /* exponential(lambda) */
35 float rExpo(int *randXseed, float lambda);
36 /* gamma(alpha) */
37 double rGamma(int *randXseed, double alpha);
38 /* beta(alpha,beta) */
39 double rBeta(int *randXseed, double alpha, double beta);
40 /*****
41 *
42 *   The rUnif function is a uniform random number generator based
43 *   on theory and suggestions given in Forsythe, G.E., Malcolm, M.A., &
44 *   Moter, C.B. Computer Methods For Mathematical Computations,
45 *   Prentice-Hall, 1977.
46 *   The integer randXseed should be initialized to an arbitrary
47 *   integer prior to the first call to rUnif. The calling program should
48 *   not alter the value of randXseed between subsequent calls to rUnif.
49 *   Values of rUnif will be returned in the interval (0,1).
50 *
51 *****/
52 float rUnif(int *randXseed) {
53     /* initialized data */
54     static int m2 = 0;
55     static int two = 2;
56     /* local variables */
57     static int m;
58     static float s;
59     static float halfm;
60     static int a, c, mc;
61     /* if first entry then ... */
62     if (m2 == 0) {
63         /* compute machine integer word length */
64         m = 1;
65         do {
66             m2 = m;
67             m = two * m2;
68         } while( m > m2 );
69         halfm = (float) m2;
70         /* compute multiplier and increment for linear */
71         /* congruential method */
72         a = ( (int) ( halfm * atan(1.) / 8.) << 3 ) + 5;
73         c = ( (int) ( halfm * ( 0.5 - sqrt(3.) / 6.) << 1 ) + 1;
74         mc = m2 - c + m2;
75         /* s is the scale factor for converting to floating point */
76         s = 0.5 / halfm;
77     }
78     /* compute next random number */
79     *randXseed *= a;
80     /* the following statement is for computers which do not */
81     /* allow integer overflow on addition */
82     if (*randXseed > mc)
83         *randXseed = *randXseed - m2 - m2;
84     *randXseed += c;
85     /* the following statement is for computers where the word */
86     /* length for addition is greater than for multiplication */
87     if (*randXseed / 2 > m2)
88         *randXseed = *randXseed - m2 - m2;
89     /* the following statement is for computers where integer */
90     /* overflow affects the sign bit */
91     if (*randXseed < 0)
92         *randXseed = *randXseed + m2 + m2;
93     return ( (float) (*randXseed) * s );
94 }
95 /*****
96 *
97 *   George Marsaglia's uniform random number generator
98 *   The integers randXseed1 and randXseed2 should be initialized

```

```

99  * to an arbitrary integer prior to the first call to rUnif2. The      *
100 * calling program should not alter these values between subsequent  *
101 * calls to rUnif.                                                    *
102 *                                                                      *
103 *****/
104 float rUnif2(unsigned long *randXseed1, unsigned long *randXseed2) {
105     static unsigned long s1new, s2new;
106     s1new = ((*randXseed1=36969*(*randXseed1&65535)+(*randXseed1>>16))<<16);
107     s2new = ((*randXseed2=18000*(*randXseed2&65535)+(*randXseed2>>16))&65535);
108     return ((s1new+s2new)*2.32830643708E-10);
109 }
110 /*****
111 #include <stdio.h>
112 #include "uni.c"
113 int main() {
114     int replic = 1000;
115     int randXseed = 123456;
116     unsigned long randXseed1=362436069, randXseed2=521288629;
117     int i;
118     for (i=0; i<replic; i++){
119         fprintf(stdout, "%20.18f\t%20.18f\t%20.18f\n",
120             rUnif(&randXseed), rUnif2(&randXseed1,&randXseed2), UNI);
121     }
122     return 0;
123 }
124 *****/
125 /*****
126 *
127 *     The rNorm function is a normal random number generator.      *
128 *     The integer randXseed should be initialized to an arbitrary  *
129 * integer prior to the first call to rNorm. The calling program should *
130 * not alter the value of randXseed between subsequent calls to rNorm. *
131 * Values of rNorm will be returned following  $N(0,1)$ .            *
132 *
133 *****/
134 float rNorm(int *randXseed) {
135     static float y1, y2;
136     while(1) {
137         y1=-log(rUnif(randXseed));
138         y2=-log(rUnif(randXseed));
139         if (y2-(y1-1)*(y1-1)/2 >= 0) {
140             if (rUnif(randXseed) > 0.5)
141                 return -y1;
142             else
143                 return y1;
144         }
145     }
146 }
147 /*****
148 #include <stdio.h>
149 int main() {
150     int replic = 100000;
151     float mu = 0;
152     float sigma = 1;
153     int seed = 123456;
154     float numb;
155     float sum, sum2;
156     int i;
157     sum = 0.0;
158     sum2 = 0.0;
159     for (i=0; i<replic; i++){
160         numb = mu + rNorm(&seed)*sigma;
161         sum += numb;
162         sum2 += (numb*numb);
163     }
164     printf("X ~ N(%f,%f) had E(x)=%f and Var(x)=%f over %d replics.\n",
165         mu, sigma*sigma, sum/replic, (sum2-(sum*sum)/replic)/replic, replic);
166     return 0;
167 }
168 *****/
169 /*****
170 *
171 *     The rExpo function is an exponential random number generator. *
172 *     The integer randXseed should be initialized to an arbitrary  *
173 * integer prior to the first call to erand. The calling program should *
174 * not alter the value of randXseed between subsequent calls to erand. *
175 * Values of erand will be returned following  $E(\lambda)$ .          *
176 *
177 *****/
178 float rExpo(int *randXseed, float lambda) {
179     return (-log(rUnif(randXseed))/lambda);
180 }
181 /*****
182 #include <stdio.h>
183 int main() {
184     int replic = 10000;
185     float lambda = 2;
186     int seed = 123456;
187     float numb;
188     float sum = 0.0;
189     float sum2 = 0.0;
190     int i;
191     int cont;
192     for (i=0; i<replic; i++){
193         numb = rExpo(&seed, lambda);
194         sum += numb;
195         sum2 += (numb*numb);
196     }
197     printf("X ~ E(%f) had E(x)=%f^-1 and Var(x)=%f^-2 over %d replics.\n",

```



```

198         lambda, 1/(sum/replic), 1/sqrt((sum2-(sum*sum)/replic)/replic), replic);
199 sum = 0.0;
200 cont = 0;
201 while (sum ≤ replic){
202     numb = rExpo(ℰseed, lambda);
203     sum += numb;
204     cont++;
205 }
206 printf("There were %d events over %d time units.\n", cont, replic);
207 return 0;
208 }
209 *****/
210 /*****/
211 *
212 *     The rGamma function is a gamma random number generator.
213 *     The integer randXseed should be initialized to an arbitrary
214 * integer prior to the first call to erand. The calling program should
215 * not alter the value of randXseed between subsequent calls to erand.
216 * Values of erand will be returned following G(alpha).
217 *
218 *****/
219 double rGamma(int *randXseed, double alpha) {
220     static double r1, r2, aa, x, w, c1, c2, c3, c4, c5;
221     if (alpha ≤ 0.)
222         return 0.;
223     if (alpha == 1.)
224         return rExpo(randXseed, 1.);
225     if (alpha < 1) {
226         aa=(alpha+RANDX_EE)/RANDX_EE;
227         do {
228             r1=rUnif(randXseed);
229             r2=rUnif(randXseed);
230             if(r1 > 1./aa) {
231                 x = -log(aa*(1.-r1)/alpha);
232                 if (r2 < pow(x, (alpha-1.)))
233                     return x;
234             }
235             else {
236                 x = pow((aa*r1), (1./alpha));
237                 if (r2 < exp(-x))
238                     return x;
239             }
240         } while(1);
241     }
242     else {
243         c1=alpha-1;
244         c2=(alpha-1.)/(6.*alpha)/c1;
245         c3=2./c1;
246         c4=c3+2.;
247         c5=1./sqrt(alpha);
248         do {
249             do {
250                 r1=rUnif(randXseed);
251                 r2=rUnif(randXseed);
252                 if (alpha > 2.5)
253                     r1=r2+c5*(1.-1.86*r1);
254             } while(r1 ≤ 0 || r1 ≥ 1);
255             w=c2*r2/r1;
256             if (c3*r1+w+1/w ≤ c4)
257                 return c1*w;
258             if (c3*log(r1)-log(w)+w < 1)
259                 return c1*w;
260         } while (1);
261     }
262 }
263 *****/
264 #include <stdio.h>
265 int main() {
266     int replic = 10000;
267     int seed = 123456;
268     int i;
269     double alpha = 1.5;
270     for (i=0; i < replic; i++){
271         fprintf(stdout, "%f\n", rGamma(ℰseed, alpha));
272     }
273     return 0;
274 }
275 *****/
276 /*****/
277 *
278 *     The rBeta function is a beta random number generator.
279 *     The integer randXseed should be initialized to an arbitrary
280 * integer prior to the first call to erand. The calling program should
281 * not alter the value of randXseed between subsequent calls to erand.
282 * Values of erand will be returned following B(alpha,beta).
283 *
284 *****/
285 double rBeta(int *randXseed, double alpha, double beta) {
286     double r1;
287     if (alpha ≤ 0. || beta ≤ 0.)
288         return 0.;
289     r1=rGamma(randXseed, alpha);
290     return r1/(r1+rGamma(randXseed, beta));
291 }
292 *****/
293 #include <stdio.h>
294 int main() {
295     int replic = 10000;
296     int seed = 123456;

```

```
297  int i;
298  double alpha = 2.0;
299  double beta = 3.0;
300  for (i=0; i<replc; i++){
301      fprintf(stdout, "%f\n", rBeta(@seed, alpha, beta));
302  }
303  return 0;
304 }
305 *****/
306 #endif
```

APÊNDICE B

ARQUIVO DE ENTRADA

Arquivo de entrada B.1: Topologia Série

```
1 Nodes
2 3
3 Arc Orig Dest Prob
4 1 1 2 1.00
5 2 2 3 1.00
6 Node Serv Length Width Lambda
7 1 2 1.0 1.0 1000.0
8 2 2 1.0 1.0 0.000
9 3 2 1.0 1.0 0.000
10 Exit Nodes
11 1
12 2
13 3
14 Cel Node
15 1 1
16 2 2
17 3 3
```

APÊNDICE C

TESTES DE KOLMOGOROV-SMIRNOV

Testes de Kolmogorov-Smirnov realizados para a variável *tempo entre partidas* para a topologia série, divisão, fusão e as quatro configurações mistas apresentadas.

As Tabelas [C.1](#), [C.3](#), [C.5](#), [C.7](#), [C.9](#), [C.11](#) e [C.13](#), apresentam os valores-p para as topologias série, divisão, fusão, mista I, mista II, mista III e mista IV, respectivamente, relativos ao teste de Kolmogorov-Smirnov em relação à distribuição Exponencial, Exponencial com 2 parâmetros, Gamma, Gamma com 3 parâmetros, Gamma Generalizada e Gamma Generalizada com 4 parâmetros.

As Tabelas [C.2](#), [C.4](#), [C.6](#), [C.8](#), [C.10](#), [C.12](#) e [C.14](#), apresentam a conclusão para as topologias série, divisão, fusão, mista I, mista II, mista III e mista IV, respectivamente, relativos ao teste de Kolmogorov-Smirnov, utilizando um nível de significância de 1%, em relação à distribuição Exponencial, Exponencial com 2 parâmetros, Gamma, Gamma com 3 parâmetros, Gamma Generalizada e Gamma Generalizada com 4 parâmetros.

APÊNDICE D

COMPARAÇÃO DO NÚMERO DE PISTAS

Comparação da variável tempo de serviço nas células em relação ao número de pistas do trecho. As Figuras D.1 e D.2 apresentam os resultados para a topologia série. As Figuras D.3 e D.4 apresentam os resultados para a topologia divisão. Já as Figuras D.5 e D.6 apresentam os resultados para a topologia fusão. E, por fim, as Figuras D.7 e D.8 apresentam os resultados para a topologia mista I.

D.1 Topologia Série

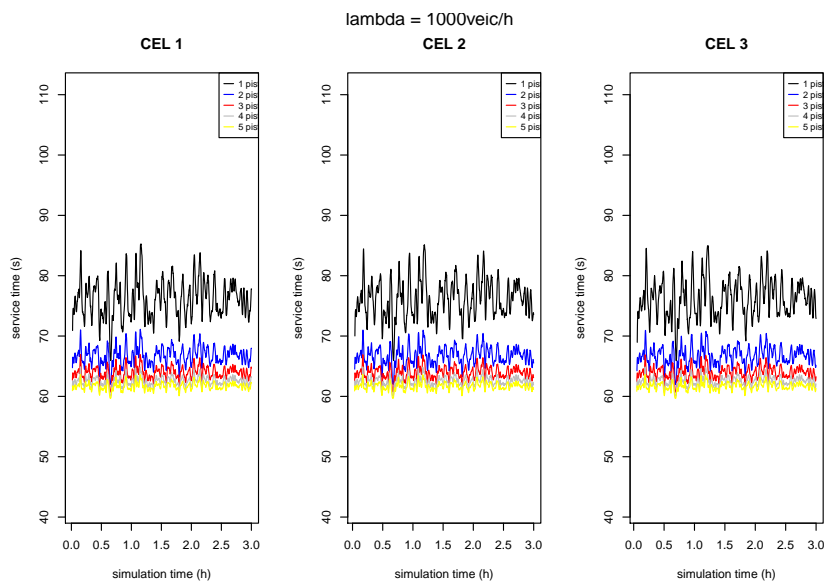


Figura D.1: Comparação do número de pistas para topologia série - $\lambda = 1000$

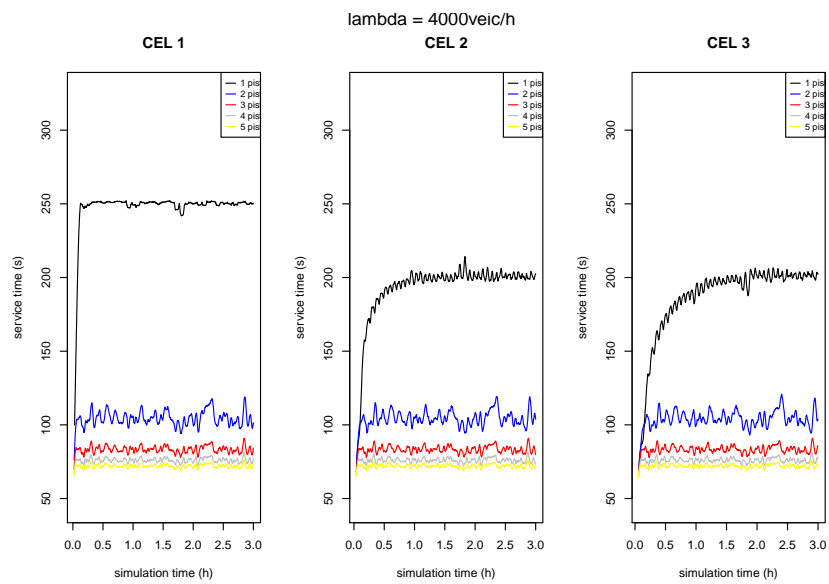


Figura D.2: Comparação do número de pistas para topologia série - $\lambda = 4000$

D.2 Topologia Divisão

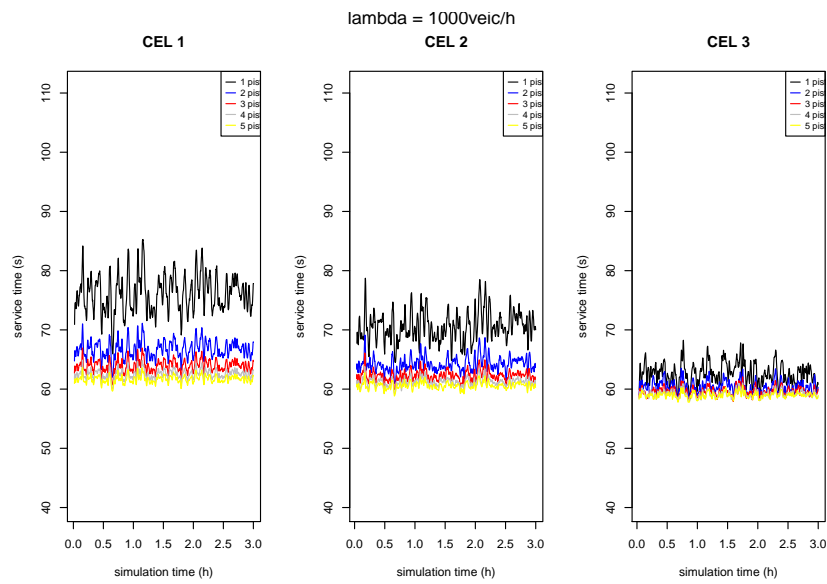


Figura D.3: Comparação do número de pistas para topologia divisão - $\lambda = 1000$

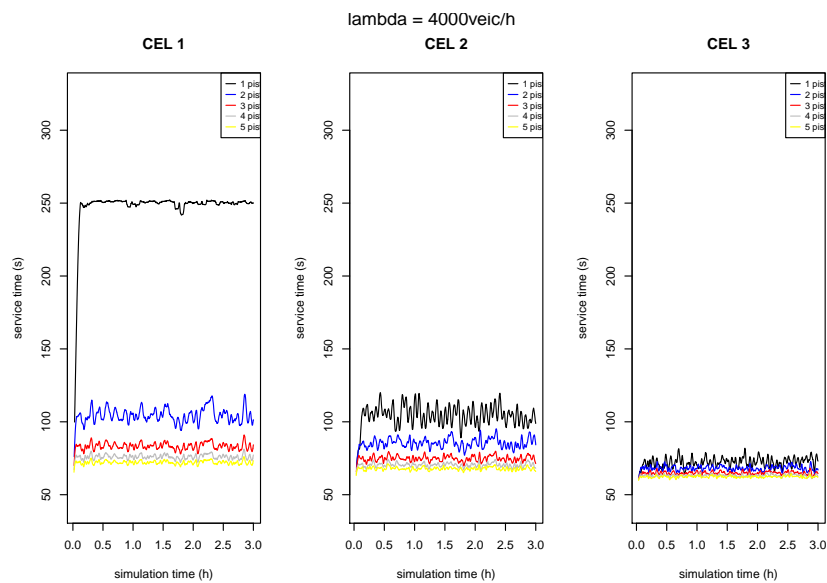


Figura D.4: Comparação do número de pistas para topologia divisão - $\lambda = 4000$

D.3 Topologia Fusão

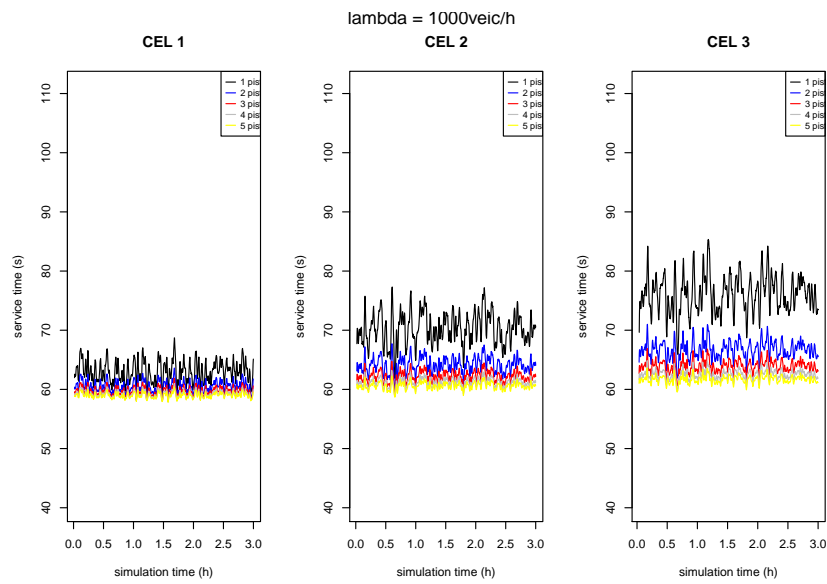


Figura D.5: Comparação do número de pistas para topologia fusão - $\lambda = 1000$

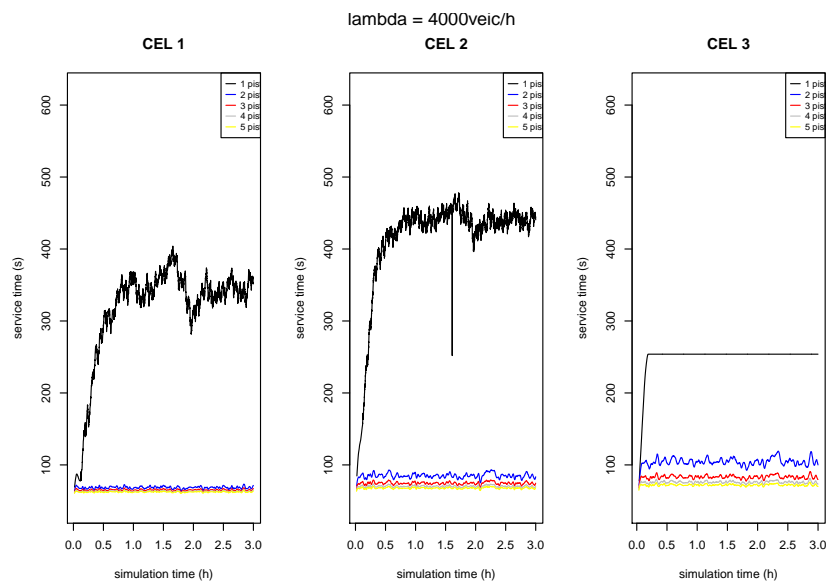


Figura D.6: Comparação do número de pistas para topologia fusão - $\lambda = 4000$

D.4 Topologia Mista I

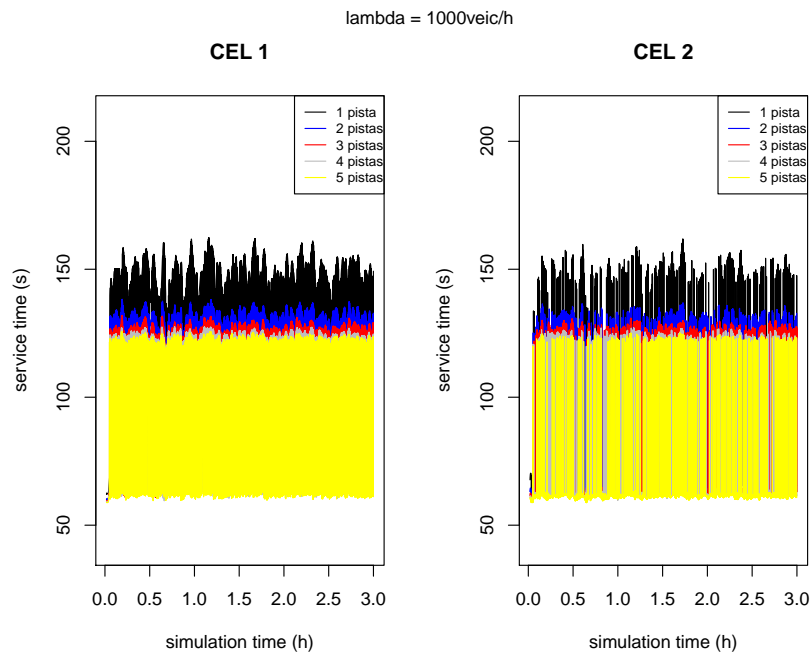


Figura D.7: Comparação do número de pistas para topologia mista I - $\lambda = 1000$

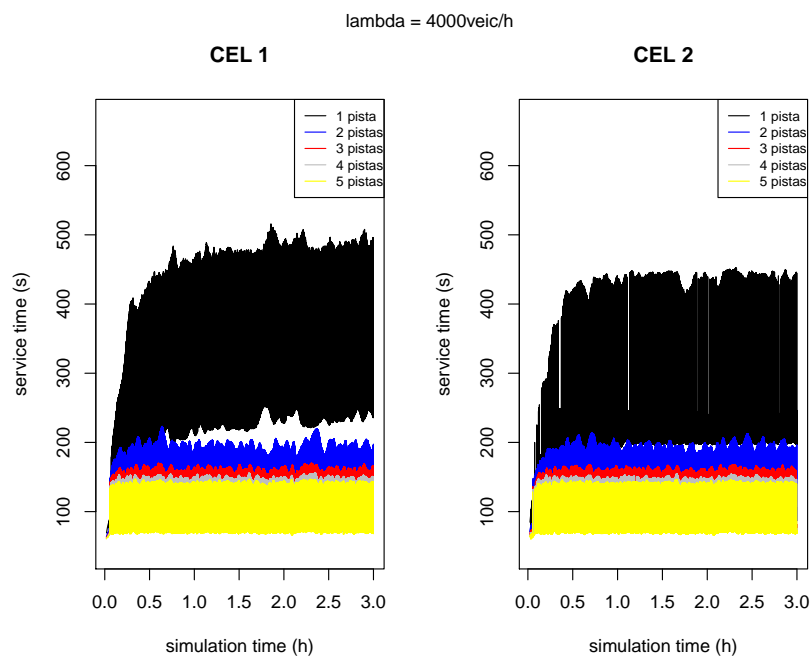


Figura D.8: Comparação do número de pistas para topologia mista I - $\lambda = 4000$